

Notatki z Analizy II L2019, FUW

Jakub Korsak

7 czerwca 2019

1 Wykład (26.02.2019)

Przykład 1 *funkcje wielu zmiennych:*

$\mathbb{R}^3 \rightarrow \mathbb{R}^1$ - Energia potencjalna $\mathcal{V}(x, y, z)$

$\mathbb{R}^4 \rightarrow \mathbb{R}^1$ - Potencjał pola niestacjonarnego $\mathcal{V}(x, y, z, t)$

$\mathbb{R}^3 \rightarrow \mathbb{R}^3$ - Natężenie pola $\mathcal{E}(x, y, z)$

$\mathbb{R}^4 \rightarrow \mathbb{R}^3$

$\mathbb{R}^1 \rightarrow \mathbb{R}^3$

$\mathbb{R}^1 \rightarrow \mathbb{R}^4$

$\mathbb{R}^1 \rightarrow \mathbb{R}^6$

$\mathbb{R}^6 \rightarrow \mathbb{R}^1$

$\mathbb{R}^8 \rightarrow \mathbb{R}^1$

Niech $X \subset \mathbb{R}^n, x_0 \in X, Y \subset \mathbb{R}^m$. Mówimy, że odwzorowanie $T : X \rightarrow Y$ jest ciągłe, jeżeli

$$\forall_{x_n \rightarrow x_0}, T(x_n) \rightarrow T(x_0)$$

UWAGA: $x_0 = (x_1, x_2, \dots, x_n)$.

Pytanie: Czy ciągłość w $\mathbb{R}^n \iff$ ciągłość w \mathbb{R}^1 ?

Przykład 2 *Niech funkcja*

$$f(x, y) = \begin{cases} 0 & x = y \\ \frac{xy^2}{x^2+y^4} & x \neq y \end{cases}$$

czy f - ciągła w $(0, 0)$? dla trajektorii I:

$$\lim_{y_n \rightarrow 0} (\lim_{x_n \rightarrow 0} f(x_n, y_n)) = \lim_{y_n \rightarrow 0} (0) = 0$$

dla trajektorii II:

$$\lim_{x_n \rightarrow 0} (\lim_{y_n \rightarrow 0} f(x_n, y_n)) = \lim_{x_n \rightarrow 0} (0) = 0$$

weźmy $(x_n, y_n) = (\frac{1}{n^2}, \frac{1}{n})$

$$f(x_n, y_n) = \frac{\frac{1}{n^2} \frac{1}{n^2}}{\frac{1}{n^4} + \frac{1}{n^4}} = \frac{1}{2} \neq \lim_{x_n \rightarrow 0, y_n \rightarrow 0} f(0, 0)$$

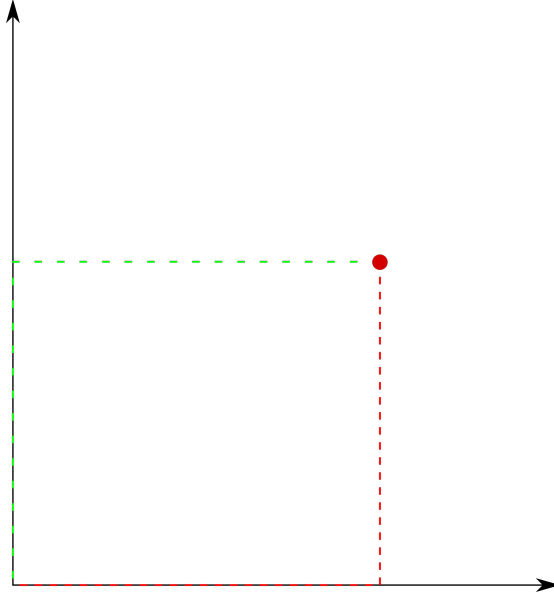
(X, d_X) - przestrzeń wektorowa z metryką d_X ,

(Y, d_Y) - p.w. z metryką d_Y

Niech $x_0 \in X$. Mówimy, że $T : X \rightarrow Y$ - ciągłe, jeżeli

$$\forall_{\epsilon > 0} \quad \exists_{\delta} \quad \forall_{x \in X}, \quad d_X(x, x_0) < \delta \implies d_Y(T(x_0), T(x)) < \epsilon$$

Dowód 1 *Heine \iff Cauchy*



Rysunek 1: trajektoria I i II

\implies (przez sprzeczność):

zakładamy, że

$$\forall_{x_n \rightarrow x_0} T(x_n) \rightarrow T(x_0) \quad \wedge \quad \exists_{\epsilon > 0}, \forall_{\delta > 0}, \exists_{x \in X} (*) : d_X(x, x_0) < \delta \implies d_Y(T(x_n), T(x_0)) \geq \epsilon$$

Skoro $T(x_n) \rightarrow T(x_0) \quad \forall_{x_n \rightarrow x_0}$, to w szczególności warunek spełniony dla ciągu, który jest taki:

skoro (*), to dla $\epsilon > 0$ weźmy $\delta = 1$,

$$\delta = 1 :$$

$$\exists_{x_1} d_X(x_1, x_0) < 1 \wedge d_Y(T(x_1), T(x_0)) \geq \epsilon$$

$$\delta = \frac{1}{2} :$$

$$\exists_{x_2} d_X(x_2, x_0) < \frac{1}{2} \wedge d_Y(T(x_2), T(x_0)) \geq \epsilon$$

$$\delta = \frac{1}{3} :$$

$$\exists_{x_3} d_X(x_3, x_0) < \frac{1}{3} \wedge d_Y(T(x_3), T(x_0)) \geq \epsilon$$

$$\vdots$$

$$\delta = \frac{1}{n} : \exists_{x_n} d_X(x_n, x_0) < \frac{1}{n} \wedge d_Y(T(x_n), T(x_0)) \geq \epsilon.$$

Zauważmy, że taki ciąg $x_n \rightarrow x_0 \wedge T(x_n) \not\rightarrow T(x_0)$ i sprzeczność \square

\Leftarrow Wiemy, że $\forall_{\epsilon > 0} \exists_x d_X(x, x_0) < \delta \implies d_Y(T(x), T(x_0)) < \epsilon$ (Δ), oraz, że $x_n \rightarrow x_0$, czyli:

$$\forall_{\delta_1} \exists_N \forall_{n > N} d_X(x_n, x_0) < \delta_1(\Delta_2)$$

Chcemy pokazać, że $T(x_n) \rightarrow T(x_0)$, czyli, że

$$\forall_{\epsilon_1 > 0} \exists_{N_1} \forall_{n > N_1} d_Y(T(x_n), T(x_0)) < \epsilon_1 \text{ (dla } x_n \rightarrow x_0)$$

Przyjmijmy $\epsilon = \epsilon_1$. Oznacza to, że \exists_{δ} spełniająca warunek (Δ) dla ϵ_1 . Połóżmy $\delta_1 = \delta$ we wzorze (Δ_2), czyli wiemy, że

$$\exists_{N > N} \forall_{n > N} d_X(x_n, x_0) < \delta_1,$$

ale na mocy (Δ), wiemy, że

$$d_Y(T(x_n), T(x_0)) < \epsilon_1 \square$$

1.1 Różniczkowalność:

Niech $\mathbb{O} \subset \mathbb{R}^n$, \mathbb{O} - otwarty, $f : \mathbb{O} \rightarrow \mathbb{R}^1$, $x \in \mathbb{O}$, $x_0 = (x_1^0, x_2^0, \dots, x_n^0)$

Mówimy, że f ma w punkcie x pochodną cząstkową w kierunku x^k , jeżeli istnieje granica $g = \lim_{h \rightarrow 0} \frac{f(x_1^0, x_2^0, \dots, x_k^0 + h, \dots, x_n^0) - f(x_1^0, \dots, x_n^0)}{h} \equiv \frac{\partial}{\partial x} f \Big|_{x=x_0}$

Przykład 3 różniczkowalność

$$\text{Niech } \mathbb{R}^2 \rightarrow \mathbb{R}^1. \frac{\partial}{\partial x} f = \lim_{h \rightarrow 0} \frac{f(x+h, y) - f(x, y)}{h}, \frac{\partial}{\partial y} f = \lim_{h \rightarrow 0} \frac{f(x, y+h) - f(x, y)}{h}.$$

UWAGA: do policzenia pochodnej cząstkowej potrzebujemy układu współrzędnych, tj. (rys) Niech

$\mathbb{O} \subset \mathbb{R}^n$, \mathbb{O} - otwarte, $x_0 \in \mathbb{O}$, $e \in \mathbb{O}$, $T : \mathbb{O} \rightarrow \mathbb{R}$.

Mówimy, że T ma w x_0 pochodną kierunkową (*spoiler*: pochodną słabą), jeżeli istnieje granica

$$g = \lim_{t \rightarrow 0} \frac{T(x_0 + te) - T(x_0)}{t} \equiv \nabla_e T(x_0)$$

1.2 Obserwacja:

Jeżeli np. $T : \mathbb{R}^2 \rightarrow \mathbb{R}$, $e_x = (1, 0)$ i $e_y = (0, 1)$, to

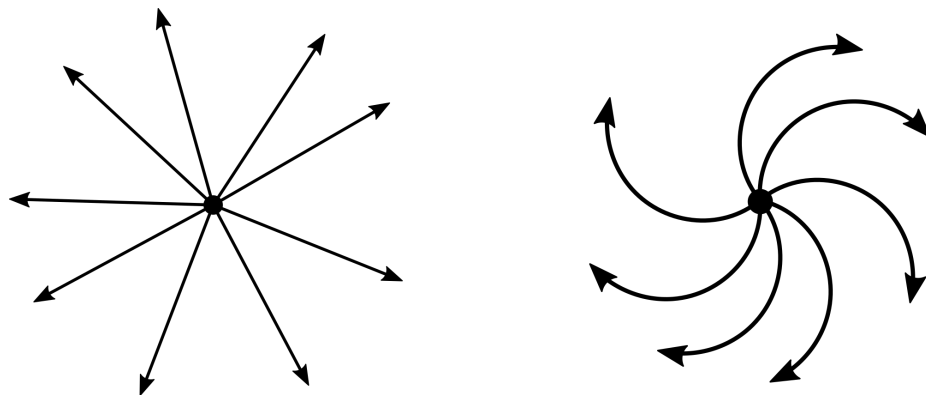
$$\nabla_{e_x} T = \frac{\partial}{\partial x} T \text{ i } \nabla_{e_y} T = \frac{\partial}{\partial y} T$$

Przykład 4

$f(x, y) = \sqrt{|xy|}$. Wówczas $x_0 + te = (0 + t1, 0)$, $x_0 = (0, 0)$, $e_x = \begin{pmatrix} 1 \\ 0 \end{pmatrix}$

$$\nabla_{e_x} f|_x = (0, 0) = \lim_{t \rightarrow 0} \frac{f(0 + t, 0) - f(0, 0)}{t} = \lim_{t \rightarrow 0} \frac{\sqrt{|t0|} - \sqrt{|00|}}{t} = \lim_{t \rightarrow 0} \frac{0}{t} = 0 = \frac{\partial}{\partial x} f \Big|_{(0,0)}$$

UWAGA: $f(x) = \sqrt{x}$, $\mathbb{R} \rightarrow \mathbb{R}$, $f'(0) = \lim_{h \rightarrow 0} \frac{\sqrt{h}}{h} = \pm \infty$



Rysunek 2: Problemy: Umiemy tak jak po lewej, ale nic nie potrafimy zrobić z tym po prawej

$$f(x, y) = \begin{cases} 0 & x = y \\ \frac{xy^2}{x^2+y^4} & x \neq y \end{cases}$$

$e = \begin{pmatrix} h_1 \\ h_2 \end{pmatrix}$. Pochodna: $\nabla_e f|_{x=(0,0)}, (x_0 + te = (th_1, th_2))$

$$\lim_{t \rightarrow 0} \frac{f(th_1, th_2) - f(0, 0)}{t} = \frac{h_1 h_2^2}{h_1^2} = \frac{h_2^2}{h_1}$$

2 Wykład (01.03.2019)

Definicja 1 Norma: niech X - przestrzeń wektorowa.
 Odwzorowanie $\|\cdot\| : X \rightarrow \mathbb{R}$ nazywamy normą, jeżeli:

$$\forall_{x \in X} \quad \|x\| \geq 0 \quad (1)$$

$$\forall_{\alpha \in \mathbb{R}}, \forall_{x \in X} \quad \|\alpha x\| = |\alpha| \|x\| \quad (2)$$

$$\forall_{x, y \in X} \quad \|x + y\| \leq \|x\| + \|y\| \quad (3)$$

$$\forall_{x \in X} \quad \|x\| = 0 \iff x = 0 \quad (4)$$

Przestrzeń X wraz z normą $\|\cdot\|$ nazywamy przestrzenią unormowaną (*spoiler*: przestrzenią Banacha).

Przykład 5

$\|v\| = \sqrt{(x)^2 + (y)^2}, X \rightarrow \mathbb{R}^n \quad (v \in X) \implies \|v\| = \sup(|x^1|, \dots), f \in C([a, b]),$ to $\|f\| = \sup_{x \in [a, b]}(f(x))$

UWAGA: mając normę możemy zdefiniować metrykę $\forall_{x, y \in X} d(x, y) = \|x - y\|$, natomiast niekażdą metryką da się utworzyć przy pomocy normy.

Przykład 6 metryka zdefiniowana przy pomocy normy ma np. taką własność:

$$d(a_x, a_y) = \|a_x - a_y\| = |a| \|x - y\| = ad(x, y),$$

czyli taka metryka się skaluje natomiast funkcja

$$d(x, y) = \begin{cases} 1 & x \neq y \\ 0 & x = y \end{cases}$$

jest metryką, ale tej własności nie posiada.

Definicja 2 Pochodna mocna (trzecie podejście)

$$\lim_{h \rightarrow 0} \frac{f(x+h) - f(x)}{h} = f'(x_0), \text{ dla } x \in V \subset \mathbb{R}^n.$$

- taka definicja jest niemożliwa (nie mamy dzielenia wektorów).

$$f(x+h) - f(x) = f'(x_0)h + r(x_0, h), \text{ gdzie } \frac{r(x_0, h)}{\|h\|} \rightarrow 0 \text{ przy } \|h\| \rightarrow 0$$

ale to może mieć już inną dziedzinę

Definicja 3 Niech $U \subset X, V \subset Y$

U, V - otwarte, $T : U \rightarrow V; x, h \in U$

Mówimy, że T - różniczkowalne w punkcie x_0 , jeżeli prawdziwy jest wzór

$$\forall_{h \in U} \quad T(x_0 + h) - T(x_0) = L_{x_0}(h) + r(x_0, h),$$

gdzie $\frac{r(x_0, h)}{\|h\|} \rightarrow 0$, a L_{x_0} - liniowe : $X \rightarrow Y$.

Odwzorowanie $L_{x_0}(h)$ nazywamy pochodną T w punkcie x_0 . Czasami $L_{x_0}(h)$ możemy przedstawić w postaci $L_{x_0}(h) = T'(x_0)h$, to $T'(x_0)$ nazywamy pochodną odwzorowania T.

UWAGI: Dlaczego $L_{x_0}(h)$, a nie $T'(x_0)h$?

Dlatego, że czasami pochodna może wyglądać tak:

$$\int_0^1 h(x) \sin x dx$$

, a tego nie da się przedstawić jako

$$\left(\int_0^1 \sin x dx \right) h(x)$$

Przykład 7

$$T(x+h) - T(x) = T'(x_0)h + r(x_0, h)$$

1. Niech $T : \mathbb{R} \rightarrow \mathbb{R}^3$, czyli $x_0 \in \mathbb{R}, h \in \mathbb{R}$. Wtedy $T(x)$ - wektor (3 el.), $T'(x)$ - wektor (3 el.)
2. $T : \mathbb{R}^3 \rightarrow \mathbb{R}$ x_0 - wektor (3 el.), h - wektor (3.el), $T'(x)$ - p.wektor (3 el.)
3. $T : \mathbb{R}^2 \rightarrow \mathbb{R}^3$ x_0 - wektor (2 el.), h - wektor (2 el.), $T(x)$ - wektor (3 el.), $T'(x)$ - macierz (3x2)
4. $f(x, y) = xy^2, h = \begin{pmatrix} h_x \\ h_y \end{pmatrix}$

$$f(x_0 + hx, y_0 + hy) - f(x_0, y_0) = (x_0 + hx)(y_0 + hy)^2 - x_0 y_0^2 = x_0 y_0^2 + 2y_0 x_0 h_y + x_0 h_y^2 + h_y y_0^2 + h_x h_y 2y_0 + h_x h_y = (y_0^2, 2x_0 y_0) \begin{pmatrix} h_x \\ h_y \end{pmatrix} + x_0 h_y^2 + h_x h_y^2 + 2y_0 h_x h_y.$$

$$\text{Czy } \frac{r(x_0, h)}{\|h\|} \rightarrow 0?$$

$$\text{Weźmy } \left\| \begin{pmatrix} h_x \\ h_y \end{pmatrix} \right\| = \sup\{|h_x|, |h_y|\}.$$

$$\text{Wówczas } x_0 h_y^2 + h_x h_y^2 + 2y_0 h_x h_y \leq x_0 \|h\|^2 + \|h\|^3 + 2y_0 \|h\|^2 = \|h\|^2 (x_0 + 2y_0 + \|h\|)$$

$$\text{Zatem } \frac{r(x_0, h)}{\|h\|} \leq \frac{\|h\|^2 (|x_0| + 2y_0 + \|h\|)}{\|h\|} \rightarrow 0.$$

$$f(x, y) = xy^2, T'(x) = [y^2, 2xy].$$

$$\text{zauważmy, że } y^2 = \frac{\partial}{\partial x} f, 2xy = \frac{\partial}{\partial y} f$$

UWAGA: skąd wiemy, że gdy $h \rightarrow 0$, to $\|h\| \rightarrow 0$?

Czyli: czy norma jest odwzorowaniem ciągłym w $h = 0$?

<odpowiedź za tydzień>

Twierdzenie 1 Jeżeli f - różniczkowalna w $x_0 \in U$, to dla dowolnego $e \in U$,

$$\nabla_e f(x_0) = f'(x_0)e$$

Dowód 2

Pytanie 1 Czy z faktu istnienia pochodnych cząstkowych wynika różniczkowalność funkcji?

Przykład 8

$$h = \begin{pmatrix} h_x \\ h_y \end{pmatrix}, x_0 = \begin{pmatrix} 0 \\ 0 \end{pmatrix}, f(x_0 + h) - f(x_0) = \sqrt{h_x h_y} - \sqrt{0} = \sqrt{h_x h_y} = (0, 0) \begin{pmatrix} h_x \\ h_y \end{pmatrix} + \sqrt{h_x h_y}, \text{ gdzie } r(x_0, h) = \sqrt{h_x h_y}.$$

Niech $\|h\| = \sup\{|h_x|, |h_y|\}$ i niech $|h_x| > |h_y|$. $\|h\| = |h_x|$.

Dalej mamy: $\frac{\sqrt{h_x h_y}}{|h_x|} \sqrt{\frac{h_y}{h_x}} \not\rightarrow 0$ przy $h_x \rightarrow 0$, $\sqrt{\frac{|h_y|}{|h_x|}} = \sqrt{\frac{1}{2}}$

Twierdzenie 2 Niech $O \subset \mathbb{R}^n$, O - otwarty. $f : O \rightarrow Y, x_0 \in O$.
Jeżeli istnieją pochodne cząstkowe $\frac{\partial}{\partial x_i} f, i = 1, \dots, n$ i są ciągle w x_0 , wtedy $\forall_{h \in \mathbb{R}^n} f(x_0 + h) - f(x_0) = \sum_{i=1}^n \frac{\partial f}{\partial x_i} h^i + r(x_0, h)$, gdzie $\frac{r(x_0, h)}{\|h\|} \rightarrow 0$

$$\text{Niech } x_0 = \begin{bmatrix} x_0^1 \\ x_0^2 \\ x_0^3 \end{bmatrix}, h = \begin{bmatrix} h^1 \\ h^2 \\ h^3 \end{bmatrix}$$

$$\begin{aligned} & f(x_0^1 + h^1, x_0^2 + h^2, x_0^3 + h^3) - f(x_0^1, x_0^2, x_0^3) = \\ & = f(x_0^1 + h^1, x_0^2 + h^2, x_0^3 + h^3) - f(x_0^1 + h^1, x_0^2 + h^2, x_0^3) + \\ & + f(x_0^1 + h^1, x_0^2 + h^2, x_0^3) - f(x_0^1 + h^1, x_0^2, x_0^3) + \\ & \quad \text{tw. o w. \u015bredniej} \\ & + f(x_0^1 + h^1, x_0^2, x_0^3) - f(x_0^1, x_0^2, x_0^3) \stackrel{=}{=} \\ & \frac{\partial f}{\partial x_1} f(c_1) h^1 + \frac{\partial f}{\partial x_2} f(x_0^1 + h^1, c_2, x_0^3) h^2 + \frac{\partial f}{\partial x_3} f(x_0^1 + h^1, x_0^2 + h^2, c_3) h^3 = \\ & (\frac{\partial f}{\partial x_1}(c_1, x_0^2, x_0^3) - \frac{\partial f}{\partial x_1}(x_0^1, x_0^2, x_0^3)) h^1 + \\ & + (\frac{\partial f}{\partial x_2}(x_0^1 + h^1, c_2, x_0^3) - \frac{\partial f}{\partial x_2}(x_0^1, x_0^2, x_0^3)) h^2 + \\ & + (\frac{\partial f}{\partial x_3}(x_0^1 + h^1, x_0^2 + h^2, c_3) - \frac{\partial f}{\partial x_3}(x_0^1, x_0^2, x_0^3)) h^3 \\ & \text{gdzie } c_1 \in [x_0^1, x_0^1 + h^1], \quad c_2 \in [x_0^2, x_0^2 + h^2], \quad c_3 \in [x_0^3, x_0^3 + h^3] \end{aligned}$$

Wystarczy pokazać, że $\frac{r(x_0, h)}{\|h\|} \rightarrow 0$, gdy $h \rightarrow 0$.

Zauważmy, że każde wyrażenie tworzące resztę jest postaci $\cos h^i$, a $\lim_{\|h\| \rightarrow 0} \frac{h^i}{\|h\|} = \{ \}$ dla normy

$$np. \{ \|h\| = \max |h^i| \} \neq 0. \quad (np. \frac{h^1}{h^1} \rightarrow 1)$$

Oznacza to, że jeżeli $\frac{r(x,h)}{\|h\|} \rightarrow 0$ - spełniony, to każde wyrażenie typu

$$\left(\frac{\partial f}{\partial x^1}(c_1, x_0^2, x_0^3) - \frac{\partial f}{\partial x^1}(x_0^1, x_0^2, x_0^3)\right)h^1 \rightarrow 0$$

Czyli np. $\lim_{||h|| \rightarrow 0} \frac{\partial f}{\partial x^1}(c_1, x_0^2, x_0^3) = \frac{\partial f}{\partial x^1}(x_0^1, x_0^2, x_0^3) \iff (\frac{\partial f}{\partial x^1} - \text{ciągła}) \square$

3 Wykład (05.03.2019)

Uwaga: Jeżeli np. $f : \mathbb{R}^2 \rightarrow \mathbb{R}^2$, to znaczy, że

$$f(x, y) = \begin{bmatrix} f_1(x, y) \\ f_2(x, y) \end{bmatrix}, f_1 : \mathbb{R}^2 \rightarrow \mathbb{R}^1, f_2 : \mathbb{R}^2 \rightarrow \mathbb{R}^1, \text{ wówczas}$$

$$\frac{\partial f}{\partial x} = \begin{bmatrix} \frac{\partial}{\partial x} f_1 \\ \frac{\partial}{\partial x} f_2 \end{bmatrix}$$

$$\frac{\partial}{\partial y} f = \begin{bmatrix} \frac{\partial}{\partial y} f_1 \\ \frac{\partial}{\partial y} f_2 \end{bmatrix}$$

Przykład 9

$$f(x, y) = \begin{bmatrix} 2xy^2 \\ x^3y \end{bmatrix}$$

Wtedy pochodne czątkowe: $\frac{\partial f}{\partial x} = \begin{bmatrix} 2y^2 \\ 3x^2y \end{bmatrix}, \frac{\partial f}{\partial y} = \begin{bmatrix} 4xy \\ x^3 \end{bmatrix}$

$$f(x+h) - f(x) = \frac{\partial f}{\partial x} h^x + \frac{\partial f}{\partial y} h^y + r((x, y), h) = \begin{bmatrix} 2y^2 \\ 3x^2y \end{bmatrix} h^x + \begin{bmatrix} 4xy \\ x^3 \end{bmatrix} h^y + r((x, y), h) = \begin{bmatrix} 2y^2 & 4xy \\ 3x^2y & x^3 \end{bmatrix} \begin{bmatrix} h^x \\ h^y \end{bmatrix} + r((x, y), h)$$

$$\text{Czyli } f' = \begin{bmatrix} \frac{\partial f_1}{\partial x} & \frac{\partial f_1}{\partial y} \\ \frac{\partial f_2}{\partial x} & \frac{\partial f_2}{\partial y} \end{bmatrix}$$

i ogólniej: jeżeli $f : \mathbb{R}^n \rightarrow \mathbb{R}^k$, to

$$f' = \begin{bmatrix} \frac{\partial f_1}{\partial x^1} & \cdots & \frac{\partial f_1}{\partial x^n} \\ \vdots & \ddots & \vdots \\ \frac{\partial f_k}{\partial x^1} & \cdots & \frac{\partial f_k}{\partial x^n} \end{bmatrix}$$

3.1 Uzupełnienie:

Niech V - przestrzeń wektorowa z normą $\|\cdot\|$ i $x_0 \in V$,
wówczas $f(x) = \|x\|, f : V \rightarrow \mathbb{R}^1$ - ciągła w x_0 .

Dowód 4

Chcemy pokazać, że $\forall \epsilon > 0 \exists \delta > 0 \forall x \quad d_x(x, x_0) < \delta \implies d_{\mathbb{R}}(f(x), f(x_0)) < \epsilon$
ale $d_x(x, y) = \|x - y\|, d_{\mathbb{R}^1}(x, y) = |x - y|$.

Chcemy pokazać, że $\forall \epsilon > 0 \exists \delta > 0 \forall x \quad \|x - x_0\| < \delta \implies \left| \|x\| - \|x_0\| \right| < \epsilon$
ale $\|x\| = \|x - y + y\| \leq \|x - y\| + \|y\|, \|x\| - \|y\| \leq \|x - y\|,$
 $\|y\| = \|y - x + x\| \leq \|y - x\| + \|x\|,$
 $\|y\| - \|x\| \leq \|x - y\|$, czyli $\left| \|x\| - \|y\| \right| \leq \|x - y\|$. Niech $\delta = \frac{\epsilon}{2}$, otrzymujemy $\epsilon > \frac{\epsilon}{2} > \|x - y\| \leq \left| \|x\| - \|y\| \right| \geq 0 \square$

Pytanie 2 Niech $f(x, y) = 7x + 6y^2$ i $g(t) = \begin{bmatrix} \cos(t) \\ \sin(t) \end{bmatrix}$. Wówczas $h(t) = (f \circ g)(t) : \mathbb{R} \rightarrow \mathbb{R}$. Ile wynosi pochodna?

$$f' = [7, 12y], g' = \begin{bmatrix} -\sin(t) \\ \cos(t) \end{bmatrix}$$

Twierdzenie 3 Niech $G : U \rightarrow Y, U \subset X, U$ - otwarte, X - przestrzeń wektorowa unormowana, $F : G(U) \rightarrow Z, G(U) \subset V$
 G - różniczkowalna w $x_0 \in U$, F - różniczkowalna w $G(x_0) \in U$.

$$G(x_0 + h_1) - G(x_0) = G'(x_0)h_1 + r_1(x_0, h_1), \text{ gdy } \frac{r(x_0, h_1)}{\|h_1\|_x} \rightarrow 0$$

$$F(y_0 + h_2) - F(y_0) = F'(y_0)h_2 + r_2(y_0, h_2), \text{ gdy } \frac{r(y_0, h_2)}{\|h_2\|_y} \rightarrow 0$$

Wówczas: $(F \circ G)$ - różniczkowalna w x_0

$$\text{oraz } (F \circ G)'(x_0) = F'(x)|_{x=G(x_0)} G'(x_0)$$

Dowód 5

$$\begin{aligned} F(G(x_0 + h)) - F(G(x_0)) &= \\ F(G(x_0) + G'(x_0)h_1 + r_1(x_0, h_1)) - F(G(x_0)) &= \\ F(G(x_0)) + F'(G(x_0))(G'(x_0)h_1 + r_1(x_0, h_1)) + r_2(G(x_0)) &= \\ G'(x_0)h_1 + r_1(x_0, h_1)) - F(G(x_0)) &= \end{aligned}$$

zatem:

$$F(G(x_0)) + F(G(x_0 + h)) = F'(G(x_0))G'(x_0)h_1 + F'(G(x_0))r_1(x_0, h_1) + r_2(G(x_0), G'(x_0)h_1 + r_1(x_0, h_1))$$

$$\text{Wystarczy pokazać, że } \frac{r_3}{\|h_1\|} \rightarrow 0, \text{ ale } \frac{r_3}{\|h_1\|} = F'(G(x_0)) \frac{r_1(x_0, h_1)}{\|h_1\|} + \underbrace{\frac{r_2(G(x_0), G'(x_0)h_1 + r_1(x_0, h_1))}{\|G'(x_0)h_1 + r_1(x_0, h_1)\|}}_{\rightarrow 0 \text{ kiedy } h_1 \rightarrow 0}$$

$$\underbrace{\frac{\|G'(x_0)h_1 + r_1(x_0, h_1)\|}{\|h_1\|}}_{\text{jest ograniczony}}, \text{ ale jeżeli } h_1 \rightarrow 0, \text{ to } h_2 = G'(x_0)h_1 + r_1(x_0, h_1), \text{ zatem } F(G(x)) - \text{różniczkowalna w } x_0 \quad \square$$

Przykład 10

$$f(x, y) = \begin{bmatrix} 2xy^2 \\ x^3y \end{bmatrix}, \varphi(t) = \begin{bmatrix} 2t^2 \\ t^3 \end{bmatrix}, h(t) = (f \circ \varphi)(t), h : \mathbb{R} \rightarrow \mathbb{R}^2.$$

$$\begin{aligned} \text{Policzmy } h'. \quad f' &= \begin{bmatrix} 2y^2 & 4xy \\ 3x^2y & x^3 \end{bmatrix}, \varphi'(t) = \begin{bmatrix} 4t \\ 3t^2 \end{bmatrix}, \text{ tzn. } H' = \begin{bmatrix} 2y^2 & 4xy \\ 3x^2y & x^3 \end{bmatrix} \Big|_{x=2t^2, y=t^3} \begin{bmatrix} 4t \\ 3t^2 \end{bmatrix} = \\ &= \begin{bmatrix} 2(2t^2)^2 4t + 4(2t^2)(t^3) 3t^2 \\ 3(2t^2)^2 t^3 4 + (2t^3)^3 3t^2 \end{bmatrix} \end{aligned}$$

$$\text{Weźmy przykład: Niech } f : \mathbb{R}^2 \rightarrow \mathbb{R}, \Psi : \mathbb{R}^2 \rightarrow \mathbb{R}^2, \Psi(r, \varphi) = \begin{bmatrix} \Psi_1(r, \varphi) \\ \Psi_2(r, \varphi) \end{bmatrix}$$

$$\Psi_1 : \mathbb{R}^2 \rightarrow \mathbb{R}$$

$$\Psi_2 : \mathbb{R}^2 \rightarrow \mathbb{R}$$

$$\text{Niech } H(r, \varphi) = (f \circ \Psi)(r, \varphi), \text{ czyli } H : \mathbb{R}^2 \rightarrow \mathbb{R}.$$

Szukamy pochodnej H , ale $f' = [\frac{\partial f}{\partial x}, \frac{\partial f}{\partial y}]$, $\Psi' = \begin{bmatrix} \frac{\partial \Psi_1}{\partial r} & \frac{\partial \Psi_1}{\partial \varphi} \\ \frac{\partial \Psi_2}{\partial r} & \frac{\partial \Psi_2}{\partial \varphi} \end{bmatrix}$

$$\text{Czyli } H' = \left[\frac{\partial f}{\partial x}, \frac{\partial f}{\partial y} \right] \Big|_{x=\Psi_1(r,\varphi), y=\Psi_2(r,\varphi)} \begin{bmatrix} \frac{\partial \Psi_1}{\partial r} & \frac{\partial \Psi_1}{\partial \varphi} \\ \frac{\partial \Psi_2}{\partial r} & \frac{\partial \Psi_2}{\partial \varphi} \end{bmatrix}$$

$$\text{Co daje: } \left[\frac{\partial H}{\partial r}, \frac{\partial H}{\partial \varphi} \right] = \left[\frac{\partial f}{\partial x} \frac{\partial \Psi_1}{\partial r} + \frac{\partial f}{\partial y} \frac{\partial \Psi_2}{\partial r}, \frac{\partial f}{\partial x} \frac{\partial \Psi_1}{\partial \varphi} + \frac{\partial f}{\partial y} \frac{\partial \Psi_2}{\partial \varphi} \right] \Big|_{x=\Psi_1(r,\varphi), y=\Psi_2(r,\varphi)}$$

4 Wykład (08.03.2019)

$$\frac{\partial H}{\partial r} = \frac{\partial f}{\partial x} \Big|_{\substack{x=\Psi_1(r,\varphi), \\ y=\Psi_2(r,\varphi)}} \frac{\partial \Psi_1}{\partial r} + \frac{\partial f}{\partial y} \frac{\partial \Psi_2}{\partial r}$$

$$\frac{\partial H}{\partial \varphi} = \frac{\partial f}{\partial x} \frac{\partial \Psi_1}{\partial \varphi} + \frac{\partial f}{\partial y} \frac{\partial \Psi_2}{\partial \varphi}$$

Konwencja z ćwiczeń z fizyki:

$$H(r, \varphi) = (f \circ \Psi)(r, \varphi)$$

$$H(r, \varphi) = f(r, \varphi)$$

$$\Psi_1(r, \varphi) = x(r, \varphi)$$

$$\Psi_2(r, \varphi) = y(r, \varphi)$$

$$\frac{\partial f}{\partial r} = \frac{\partial f}{\partial x} \frac{\partial x}{\partial r} + \frac{\partial f}{\partial y} \frac{\partial y}{\partial r}$$

$$\frac{\partial f}{\partial \varphi} = \frac{\partial f}{\partial x} \frac{\partial x}{\partial \varphi} + \frac{\partial f}{\partial y} \frac{\partial y}{\partial \varphi}$$

Przykład 11

$$f(x, y) : \mathbb{R}^2 \rightarrow \mathbb{R}, \quad \begin{cases} x = r \cos \varphi \\ y = r \sin \varphi \end{cases}$$

$$\frac{\partial f}{\partial r} = \cos \varphi \frac{\partial f}{\partial x} + \sin \varphi \frac{\partial f}{\partial y}, \quad \frac{\partial f}{\partial \varphi} = -r \sin \varphi \frac{\partial f}{\partial x} + r \cos \varphi \frac{\partial f}{\partial y}$$

$$f(x, y) : \mathbb{R}^2 \rightarrow \mathbb{R}, \quad f' = \left[\frac{\partial f}{\partial x}, \frac{\partial f}{\partial y} \right]$$

Interpretacja geometryczna Rozważmy zbiór

$$P_c = \{(x, y) \in \mathbb{R}^2 : f(x, y) = c\} \text{ np. } f(x, y) = x^2 + y^2 : P_c = \{(x, y) \in \mathbb{R}^2 : x^2 + y^2 = c\}$$

Założmy, że $f(x, y)$ - taka, że P_c - można sparametryzować jako

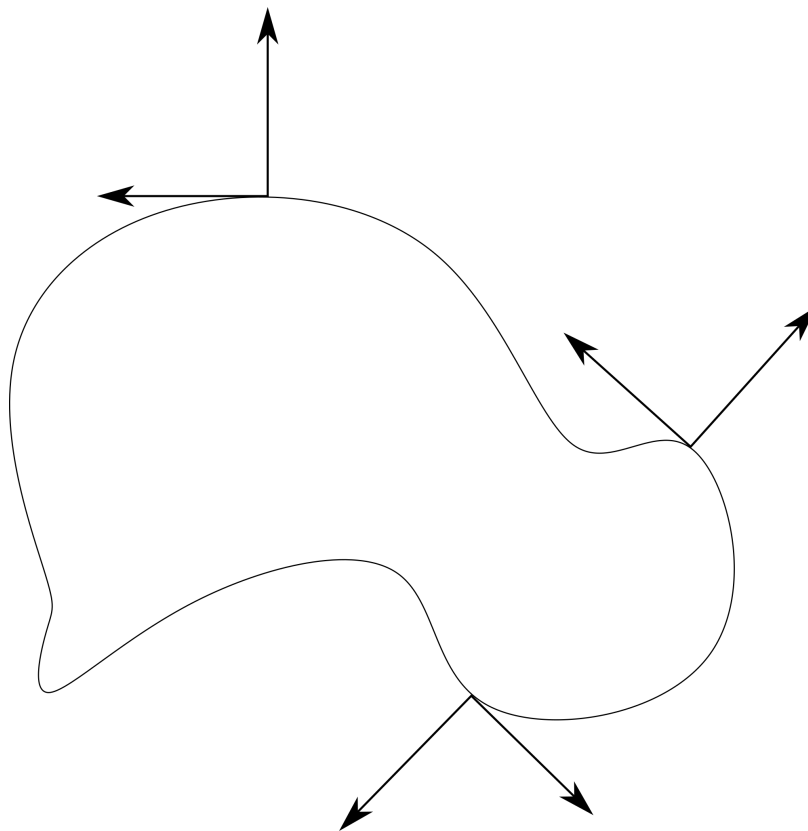
$$\varphi(t) = \begin{bmatrix} x(t) \\ y(t) \end{bmatrix}, t \in D, \text{ to znaczy, że } P_c = \{(x(t), y(t)), t \in D\}$$

Przykład 12

Niech $\varphi(t) = \begin{bmatrix} \cos t \\ \sin t \end{bmatrix}$. Wtedy $P_c = \{(c \cos t, c \sin t); t \in [0, 2\pi]\}$

$f(x(t), y(t)) = c \quad \forall_{t \in D}$ - powierzchnie ekwipotencjalne

$$\left[\frac{\partial f}{\partial x}, \frac{\partial f}{\partial y} \right] \begin{bmatrix} x'(t) \\ y'(t) \end{bmatrix} = 0, \quad \begin{bmatrix} 2x, 2y \end{bmatrix} \begin{bmatrix} -c \sin t \\ c \cos t \end{bmatrix} = 0$$



Rysunek 3: Trajektoria kluki

Definicja 4 *Pochodna mieszana*

$$f(x, y) = x^2 y^3, \quad \frac{\partial f}{\partial x} = 2xy^3, \quad \frac{\partial f}{\partial y} = 3x^2 y^2, \quad \frac{\partial}{\partial x} \left(\frac{\partial f}{\partial x} \right) = 2y^3, \quad \frac{\partial}{\partial y} \left(\frac{\partial f}{\partial y} \right) = 6x^2 y$$

$$\frac{\partial^2 f}{\partial x \partial y} = 6xy^2 \quad \frac{\partial^2 f}{\partial y \partial x} = 6xy^2$$

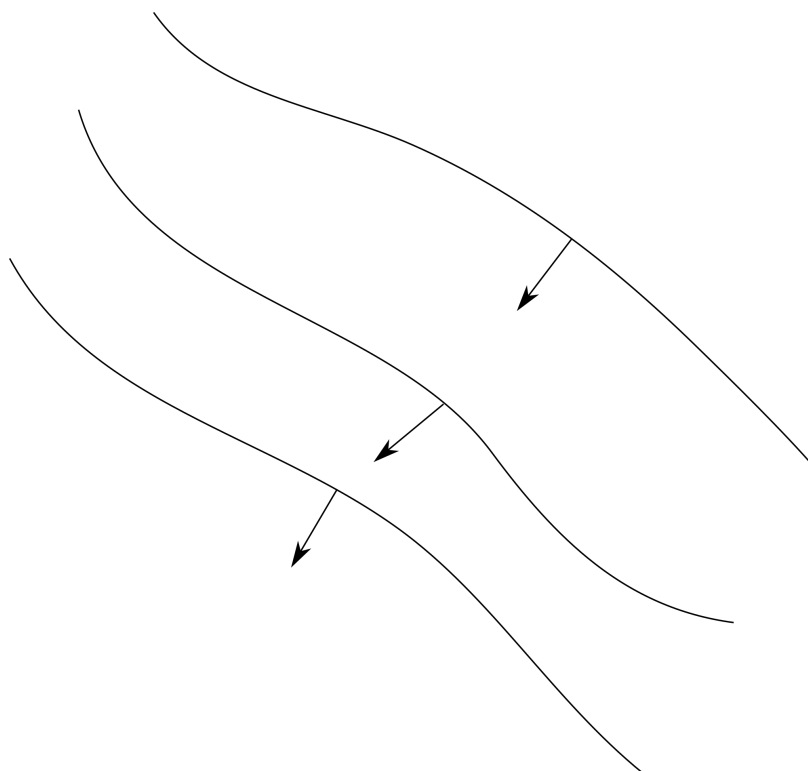
Przypadek???

Twierdzenie 4 *Niech $f : \mathcal{O} \rightarrow \mathbb{R}$, $\mathcal{O} \subset \mathbb{R}^n$, otwarty i $f \in \mathcal{C}^2(\mathcal{O})$, wówczas*

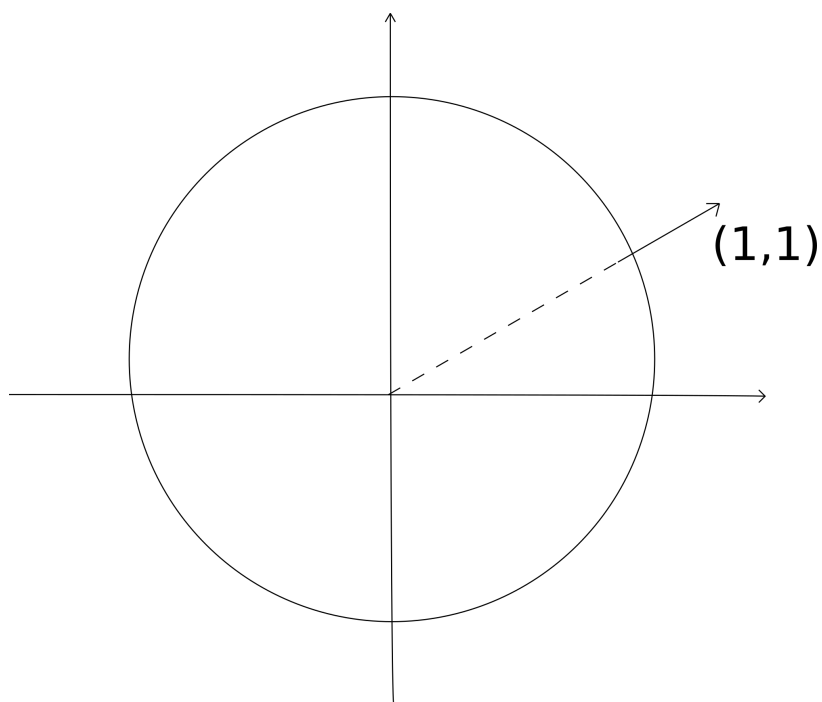
$$\frac{\partial^2 f}{\partial x^i \partial x^j} = \frac{\partial^2 f}{\partial x^j \partial x^i}; i, j = 1, \dots, n$$

Dowód 6 *Dowód dla $n = 2$*

Niech $w(x, y) = f(x + h, y + k) - f(x + h, y) - f(x, y + k) + f(x, y)$
 $\varphi(x) = f(x, y + k) - f(x, y)$



Rysunek 4: Powierzchnia ekwipotencjalna I



Rysunek 5: Powierzchnia ekwipotencjalna II

wówczas

$$\begin{aligned} w &= \varphi(x+h) - \varphi(x) = \frac{\partial \varphi}{\partial x}(\xi)h = \\ &= \left[\frac{\partial f}{\partial x}(\xi, y+k) - \frac{\partial f}{\partial x}(\xi, y) \right] h = \frac{\partial}{\partial y} \left(\frac{\partial f}{\partial x}(\xi, \eta) \right) hk, \\ &\text{gdzie } x < \xi < x+h, \quad y < \eta < y+k \end{aligned}$$

Niech $\Psi(y) = f(x+h, y) - f(x, y)$

$$w(x, y) = \Psi(y+k) - \Psi(y) = \frac{\partial \Psi}{\partial y}(\eta_1)k = \left[\frac{\partial f}{\partial y}(x+h, \eta_1) - \frac{\partial f}{\partial y}(x, \eta_1) \right] k = \frac{\partial}{\partial x} \left(\frac{\partial f}{\partial y}(\xi, \eta) \right) kh, \text{ czyli}$$

$$\exists \xi \in]x, x+h[, \quad \xi_1 \in]x, x+h[, \quad \eta \in]y, y+k[, \quad \eta_1 \in]y, y+k[\quad (y < \eta_1 < y+k)$$

Jeżeli $h \rightarrow 0$

$$\left(\frac{\partial^2 f}{\partial y \partial x}(\xi, \eta) = \frac{\partial^2 f}{\partial x \partial y}(\xi_1, \eta_1) \right)$$

to $\xi \rightarrow x, \xi_1 \rightarrow x, \eta \rightarrow y, \eta_1 \rightarrow y$, czyli:

$$\frac{\partial^2 f}{\partial y \partial x}(x, y) = \frac{\partial^2 f}{\partial x \partial y}(x, y)$$

Jeżeli każda z tych wielkości jest ciągła \square

Wzór Taylora Niech $f: \mathcal{O} \rightarrow \mathbb{R}, \mathcal{O} \subset \mathbb{R}^n$ - otwarty

$\varphi(t) = f(x_0 + th), h \in \mathbb{R}^n, t \in [0, 1]$

Dla $h = \begin{bmatrix} h^1 \\ \vdots \\ h^n \end{bmatrix}, x_0 = \begin{bmatrix} x_0^1 \\ \vdots \\ x_0^n \end{bmatrix}, \varphi(t) = f(x_0^1 + th^1, x_0^2 + th^2, \dots, x_0^n + th^n)$

$$\frac{\partial \varphi}{\partial t} = \frac{\partial f}{\partial x^1} \Big|_{x=x_0+th} h_1 + \frac{\partial f}{\partial x^2} \Big|_{x=x_0+th} h_2 + \dots + \frac{\partial f}{\partial x^n} \Big|_{x=x_0+th} h_n = \sum_{i=1}^n \frac{\partial f}{\partial x^i} \Big|_{x_0+th} h_i$$

$$\frac{\partial^2 \varphi}{\partial t^2} = \sum_{j=1}^n \sum_{i=1}^n \frac{\partial^2 f}{\partial x^i \partial x^j} \Big|_{x_0+th} h_j h_i$$

\vdots

$$\frac{\partial^k \varphi}{\partial t^k} = \sum_{i^1, \dots, i^k} \frac{\partial^{(k)} f}{\partial x^{i^1} \dots \partial x^{i^k}} h_{i^1} \dots h_{i^k}$$

$$\varphi(t) = \varphi(0) = \varphi'(0)(t-0) + \frac{\varphi''(0)}{2!}(t-0)^2 + \dots + \frac{\varphi^{(k)}(0)}{k!}(t-0)^k + r(\dots)$$

Czyli:

$$\varphi(1) - \varphi(0) = \varphi'(0) + \frac{\varphi''(0)}{2!} + \frac{\varphi'''(0)}{3!} + \dots + \frac{\varphi^{(k)}(0)}{k!} + r(\dots)$$

$$f(x_0 + h) - f(x_0) = \sum_{i=1}^n \frac{\partial f}{\partial x^i}(x_0) h_i + \frac{1}{2!} \sum_{i,j=1}^n \frac{\partial^2 f}{\partial x^i \partial x^j}(x_0) h_i h_j + \dots \square$$

5 Wykład (12.03.2019)

$$f(x_0 + h) = f(x_0) + \sum_{i=1}^n \frac{\partial f}{\partial x^i}(x_0) h^i + \frac{1}{2!} \sum_{\substack{i=1 \\ j=1}}^n \frac{\partial^2 f}{\partial x^i \partial x^j}(x_0) h^i h^j + \dots + \frac{1}{p!} \sum_{\substack{i_1=1 \\ \vdots \\ i_p=1}}^n \frac{\partial^p f}{\partial x^{i_1} \dots \partial x^{i_p}}(x_0) h^{i_1} \dots h^{i_p} + R_{p+1}(x_0, h)$$

$$\text{gdzie } R_{p+1}(h) = \frac{1}{(p+1)!} \sum_{\substack{i_1=1 \\ \vdots \\ i_{p+1}=1}}^n \frac{\partial^{p+1} f}{\partial x^{i_1} \dots \partial x^{i_{p+1}}}(x_0 + \theta h) h^{i_1} \dots h^{i_{p+1}}$$

$0 < \theta < 1$
wersja \mathbb{R}^n dla
" $x_0 < c < x_0 + h$ "

Obserwacja 1 $\lim_{h \rightarrow 0} \frac{R_{p+1}(x_0, h)}{\|h\|^p} \rightarrow 0$

Przykład 13

$$f: \mathbb{R}^2 \rightarrow \mathbb{R}, \quad f(x, y) = x^2 y^3, f'(x, y) = [2xy^3, 3x^2 y^2].$$

Jeżeli $h = \begin{bmatrix} h_1 \\ h_2 \end{bmatrix}$, to wtedy

$$\begin{aligned} \sum_{\substack{i=1 \\ j=1}}^2 \frac{\partial^2 f}{\partial x^i \partial x^j} h^i h^j &= \frac{\partial^2 f}{\partial x^1 \partial x^1} h^1 h^1 + \frac{\partial^2 f}{\partial x^1 \partial x^2} h^1 h^2 + \frac{\partial^2 f}{\partial x^2 \partial x^1} h^2 h^1 + \frac{\partial^2 f}{\partial x^2 \partial x^2} h^2 h^2 = \\ &= \begin{bmatrix} h_1 & h_2 \end{bmatrix} \begin{bmatrix} \frac{\partial^2 f}{\partial x_1^2} & \frac{\partial^2 f}{\partial x_1 \partial x_2} \\ \frac{\partial^2 f}{\partial x_2 \partial x_1} & \frac{\partial^2 f}{\partial x_2^2} \end{bmatrix} \begin{bmatrix} h_1 \\ h_2 \end{bmatrix} \end{aligned}$$

To czy ta macierz jest uśmiechnięta etc. (dodatnio/ujemnie określona) na algebrze.

Minima i maksima

Przypomnienie Niech $f: \mathcal{O} \rightarrow \mathbb{R}, \mathcal{O} \subset \mathbb{R}^n, \mathcal{O}$ - otwarty, $x_0 \in \mathcal{O}$

Mówimy, że f ma w x_0 minimum lokalne, jeżeli:

$$\exists_{\eta > 0} \quad \forall_{\substack{x \in K(x_0, \eta) \\ K(x_0, \eta) \subset \mathcal{O} \\ x \neq x_0}} \quad f(x) > f(x_0), \{f(x) < f(x_0)\} \leftarrow \text{maksimum}$$

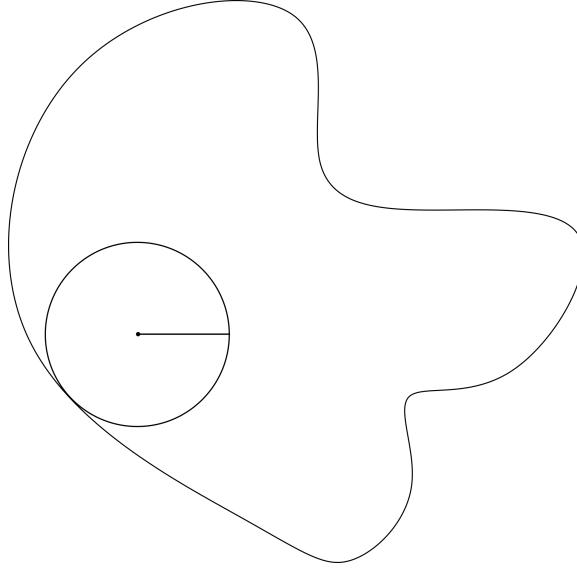
Albo inaczej:

$$\exists_{\eta > 0} \quad \forall_h \quad \|h\| < \eta, \quad x_0 + h \in \mathcal{O}, h \neq 0, \text{ to wtedy } f(x_0 + h) > f(x_0)$$

Stwierdzenie 1 jeżeli $f: \mathcal{O} \rightarrow \mathbb{R}, \mathcal{O}$ - otwarty, $x_0 \in \mathcal{O}, f$ - posiada w x_0 minimum lub maksimum lokalne, to

$$\frac{\partial f}{\partial x^i}(x_0) = 0, i = 1, \dots, n$$

(działa tylko w prawo, bo możliwe punkty przegięcia ((siodła)))



Rysunek 6: istnieje otoczenie, dla którego $f(x) > f(x_0)$ (nie musi być styczne!)

Dowód 7

Niech $g_h(t) = f(x_0 + th)$ i $g : [0, \epsilon[\rightarrow \mathbb{R}$.

Zauważmy, że jeżeli f ma minimum lub maksimum w x_0 , to znaczy, że $g_h(t)$ ma minimum lub maksimum w $t = 0$, czyli $\frac{\partial}{\partial t} g_h(t) \Big|_{t=0}$

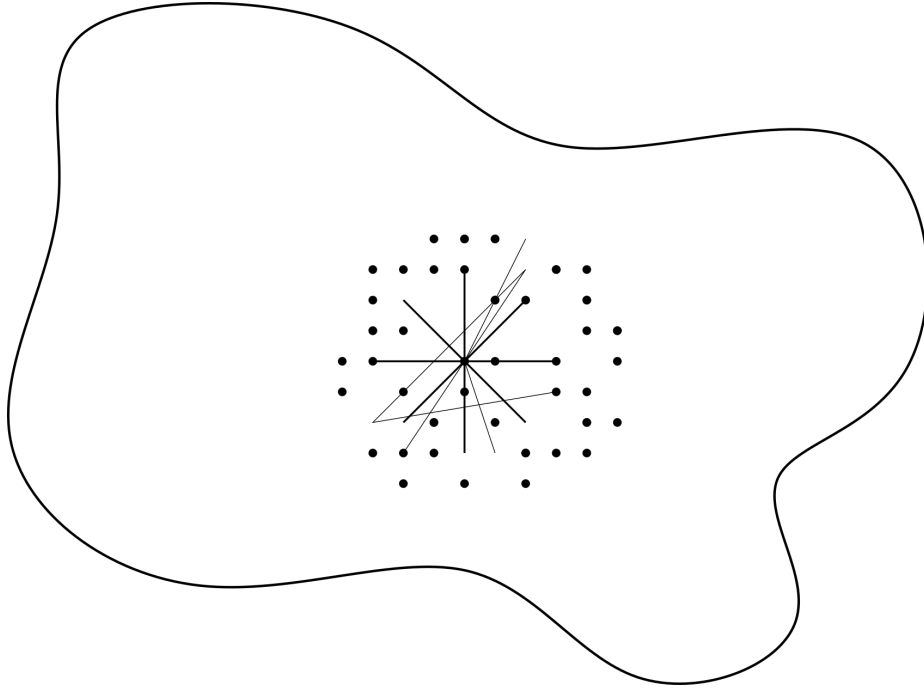
Czyli:

$$\begin{aligned} x_0 &= (x_0^1, x_0^2, \dots, x_0^n) \\ h &= (h^1, h^2, \dots, h^n) \end{aligned}$$

$$\begin{aligned} \frac{d}{dt} g_h(t) \Big|_{t=0} &= \frac{d}{dt} f(x_0^1 + th^1, \dots, x_0^n + th^n) \Big|_{t=0} = \\ &= \frac{\partial f}{\partial x^1}(x_0 + th^1)h^1 + \frac{\partial f}{\partial x^2}(x_0 + th^2)h^2 + \dots + \frac{\partial f}{\partial x^n}(x_0 + th^n) \Big|_{t=0} = \\ &= \sum_{i=1}^n \frac{\partial f}{\partial x^i}(x_0)h^i = 0 \quad \forall h : \|h\| < \eta, \text{ to znaczy: } \frac{\partial f}{\partial x^i}(x_0) = 0_{i=1, \dots, n} \square \end{aligned}$$

Twierdzenie 5 Niech $f : \mathcal{O} \rightarrow \mathbb{R}$, $\mathcal{O} \subset \mathbb{R}^n$, $x_0 \in \mathcal{O}$, \mathcal{O} - otwarty, a f - klasy $C^{2p}(\mathcal{O})$ oraz $f'(x_0) = 0, f''(x_0) = 0, \dots, f^{(2p-1)}(x_0) = 0$ i

$$\begin{aligned} \exists_{c>0} \quad \exists_{\eta>0} \quad \forall_{h \in K(x_0, \eta)} : \quad & \sum_{i_1=1}^n \frac{\partial^{(2p)} f}{\partial x^{i_1} \dots \partial x^{i_{2p}}}(x_0) h^{i_1} \dots h^{i_{2p}} \geq c \|h\|^{2p} (\leq c \|h\|^{2p}) \\ & \vdots \\ & i_{2p}=1 \end{aligned}$$



Rysunek 7

to f ma w x_0 minimum (maksimum) lokalne.

Dowód 8 (dla minimum)
(wersja uproszczona dla f klasy $C^{2p+1}(\mathcal{O})$)

Jeżeli f spełnia założenie z twierdzenia, to wtedy

$$f(x_0 + h) - f(x_0) = \frac{1}{(2p)!} (\Delta) \sum_{\substack{i_1=1 \\ \vdots \\ i_{2p}=1}}^{2p} \frac{\partial^{(2p)} f(x_0)}{\partial x^{i_1} \dots \partial x^{i_{2p}}} h^{i_1} \dots h^{i_{2p}} + r_{2p+1}(x_0 + h)$$

Wiemy też, że $\exists_{c>0} \exists_{\eta>0} (\Delta) \geq c||h||^{2p}$
Chodzi o to, żeby reszta nie mogła tego przekroczyć

Chcemy pokazać, że $\exists_{\eta} \forall_{||h||<\eta} |r_{2p+1}(x, h)| \leq \frac{c}{2} ||h||^{2p}$
albo 7, albo 2019

Czyli chcemy zbadać wielkość:

$$\frac{1}{(2p+1)!} \sum_{\substack{i_1=1 \\ \vdots \\ i_{2p+1}=1}}^n \frac{\partial^{(2p+1)} f(x_0 + \theta h)}{\partial x^{i_1} \dots \partial x^{i_{2p+1}}} h^{i_1} \dots h^{i_{2p+1}} = \text{/*tu potrzebne założenie, że } f \text{ - klasy } C^{2p+1}(\mathcal{O})\text{*/} = r_{2p+1}(x, h)$$

Zauważmy, że $\lim_{h \rightarrow 0} \frac{r_{2p+1}(x_0+h)}{\|h\|^{2p}} \rightarrow 0$, ale zatem

$$\forall_{M>0} \quad \underbrace{\exists_N, \forall_{n>N}}_{\substack{\text{bez sensu!} \\ \exists, \forall_{\eta \|h\|<\eta}}} \frac{r_{2p+1}(x_0+h)}{\|h\|^{2p}} < M$$

$$\text{czyli: } \left| \frac{r_{2p+1}(x_0, h)}{\|h\|^{2p}} \right| < M$$

$$\forall_M \quad \exists_{\eta} \forall_{\|h\|<\eta} \quad \left| r_{2p+1}(x_0, h) \right| < M \|h\|^{2p}$$

Kładziemy $M = \frac{c}{2}$ i mamy

$$\exists_{\eta} \forall_{\|h\|<\eta} \quad f(x_0+h) - f(x_0) \geq \frac{c}{2} \|h\|^{2p} \quad \square$$

Uwaga: Dlaczego warunek $(\|h\|) > c\|h\|^{2p}$, a nie po prostu $() > 0$?

Przykład 14

$$f(x, y) = x^2 + y^4, \quad \frac{\partial f}{\partial x} = 2x, \quad \frac{\partial f}{\partial y} = 4y^3.$$

$$f'(0) = 0 \iff (x, y) = (0, 0)$$

$$\text{Badamy: } f(0+h) - f(0) = [h_1, h_2] \begin{bmatrix} 2 & 0 \\ 0 & 2y^2 \end{bmatrix} \begin{bmatrix} h_1 \\ h_2 \end{bmatrix} = [h_1, h_2] \begin{bmatrix} 2 & 0 \\ 0 & 0 \end{bmatrix} \begin{bmatrix} h_1 \\ h_2 \end{bmatrix} = 2h_1^2$$

Czyli $f(0+h) - f(0) = 2h_1^2$ - minimum? maksimum? - zależy w którą stronę.

$$h = \begin{bmatrix} h_1 \\ 0 \end{bmatrix} - \text{minimum}$$

$$h = \begin{bmatrix} 0 \\ h_2 \end{bmatrix} - \text{równowaga}$$

Coś takiego - siodło.

Widzimy zatem, że nie jest spełniony warunek $\exists_c [h_1, h_2] \begin{bmatrix} 2 & 0 \\ 0 & 0 \end{bmatrix} \begin{bmatrix} h_1 \\ h_2 \end{bmatrix} \geq c \|h\|^2$, bo dla $h =$

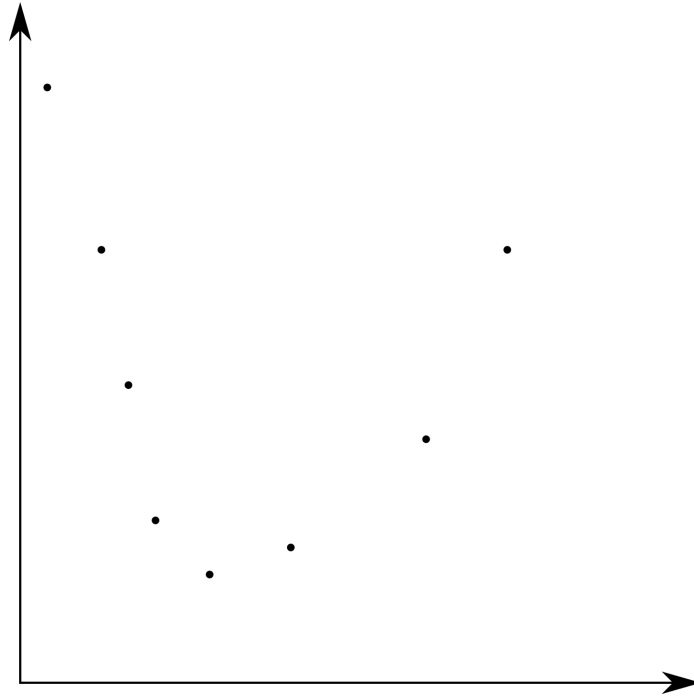
$$\begin{bmatrix} 0 \\ h_2 \end{bmatrix} \quad 0 \not\geq c \left\| \begin{bmatrix} 0 \\ h_2 \end{bmatrix} \right\|^2$$

Kilka fajnych zastosowań

$$\frac{mv^2}{2} = \begin{bmatrix} & v & \end{bmatrix} \begin{bmatrix} \frac{m}{2} & & \\ & \frac{m}{2} & \\ & & \ddots \end{bmatrix} \begin{bmatrix} \\ \\ v \end{bmatrix}$$

$$\frac{I\omega^2}{2} = \begin{bmatrix} & \omega & \end{bmatrix} \begin{bmatrix} - & - & - \\ - & - & - \\ - & - & - \end{bmatrix} \begin{bmatrix} \\ \omega \\ \end{bmatrix}$$

6 Wykład (15.03.2019)



Rysunek 8: Inne podejście: iterujemy funkcję na jej wyniku

Definicja 5 Niech $L : V \rightarrow W, L$ - liniowe, $(V, \|\cdot\|_v), (W, \|\cdot\|_w)$ - unormowane. Mówimy, że L jest ograniczone, jeżeli

$$\exists_{A>0}, \forall_{x \in V} \|L(x)\|_w \leq A\|x\|_v$$

Przykład 15

dla $\begin{bmatrix} x \\ y \end{bmatrix} \in \mathbb{R}^2, f(x, y) : \mathbb{R}^2 \rightarrow \mathbb{R}^2$

$$\exists_A, \forall \begin{bmatrix} x \\ y \end{bmatrix} \in \mathbb{R}^2, \left\| \begin{bmatrix} \frac{1}{2} & 0 \\ 0 & \frac{1}{2} \end{bmatrix} \begin{bmatrix} x \\ y \end{bmatrix} \right\| \leq A \left\| \begin{bmatrix} x \\ y \end{bmatrix} \right\|$$

$$Ale : \forall \begin{bmatrix} x \\ y \end{bmatrix} \in \mathbb{R}^2, \left\| \begin{bmatrix} \frac{1}{2} & 0 \\ 0 & \frac{1}{2} \end{bmatrix} \begin{bmatrix} x \\ y \end{bmatrix} \right\| < \frac{1}{2} \left\| \begin{bmatrix} x \\ y \end{bmatrix} \right\|$$

Twierdzenie 6 Twierdzenie (L - ograniczone) \iff (L - ciągłe)

Dowód 9 \Leftarrow

Wiemy, że $\forall_{\varepsilon>0}, \exists_{\delta}, \forall_{x, x' \in V}, \|x - x'\|_v < \delta \implies \|L(x) - L(x')\|_w < \varepsilon$

Chcemy pokazać, że:

$$\exists_{A>0} \cdot \forall_{x,x' \in V} \quad \|L(x-x')\| \leq A\|x-x'\|$$

zatem wiemy, że para (ε, δ) spełniająca warunek $(*)$ istnieje.

$$\text{Ale } \|L(x-x')\| = \underbrace{\left\| L\left(\frac{x-x'}{\|x-x'\|}\right) \frac{\delta}{2} \right\|}_{\text{własność liniowości i normy}} \leq \varepsilon \frac{\|x-x'\|2}{\delta}$$

Co wiemy o $\left\| \frac{x-x'}{\|x-x'\|} \frac{\delta}{2} \right\|_v < \delta$?

$$\forall_{x,x' \in V} \|L(x-x')\|_w \leq \frac{2\varepsilon}{\delta} \|x-x'\|_v$$

Szukane $A = \frac{2\varepsilon}{\delta}$ istnieje! \square

\implies

$$\text{Wiemy, że } \exists_A \cdot \forall_{x,x' \in V} \cdot \|L(x-x')\| \leq A\|x-x'\| \quad (5)$$

Chcemy pokazać, że jeżeli $x_n \rightarrow x_0$, to $L(x_n) \rightarrow L(x_0)$, ale $0 \leq \|L(x_n) - L(x_0)\|_w = \|L(x_n - x_0)\|_w \leq A\|x_n - x_0\|$ (bo (5))

$$0 \leq \|L(x_n) - L(x_0)\|_w \leq A\|x_n - x_0\| \text{ (wszystko dąży do 0) } \quad \square$$

Definicja 6 Wielkość $\inf_A \{ \forall_{x \in V} \|L(x)\|_w \leq A\|x\|_v \}$ nazywamy normą odwzorowania L i oznaczamy $A \stackrel{\text{ozn}}{=} \|L\|$.

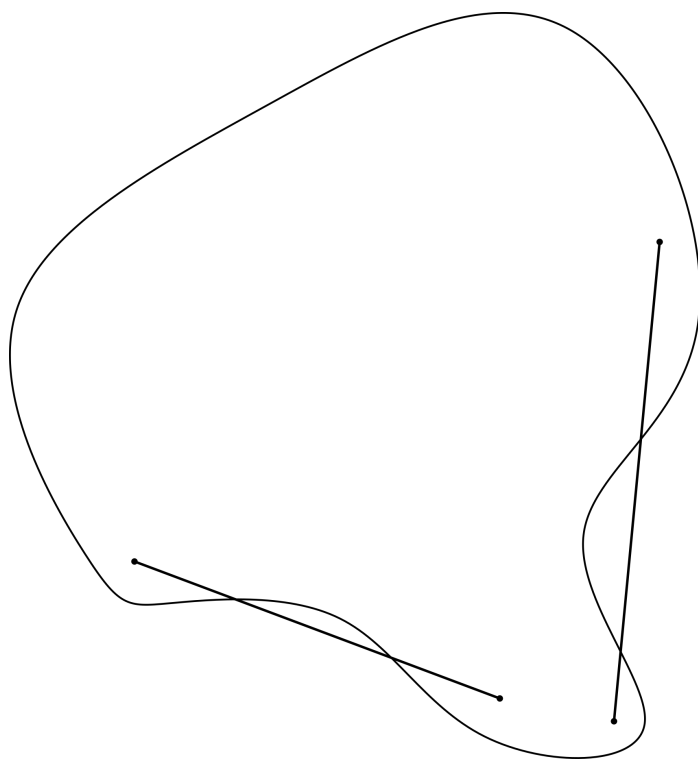
Definicja 7 Niech $U \subset \mathbb{R}^m$ - jest zbiorem wypukłym, jeżeli $\forall_{a,b \in U} \cdot [a,b] \stackrel{\text{def}}{=} \{a(1-t) + bt, t \in [0,1]\} \subset U$

Stwierdzenie 2 Niech $f : U \subset \mathbb{R}^m \rightarrow \mathbb{R}^n, U$ - otwarte, wypukły $\exists_M \cdot \forall_{x \in U} \|f'(x)\| \leq M$, to $\forall_{a,b \in U} \|f(b) - f(a)\|_n \leq M\|b-a\|_m$ (jakiegokolwiek skojarzenia z Twierdzeniem Lagrange zupełnie przypadkowe *wink* *wink*)

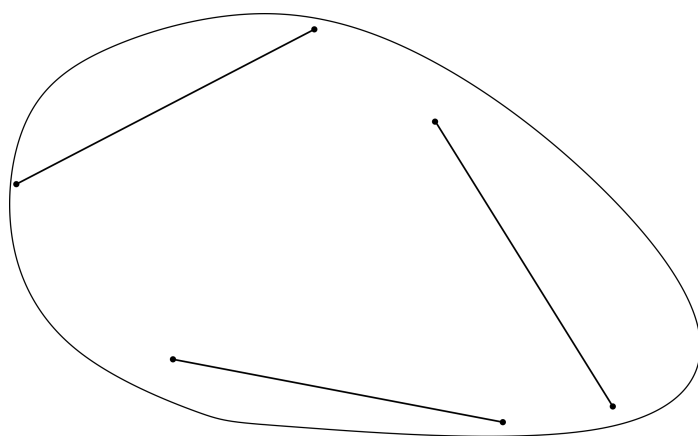
Dowód 10

niech $\gamma(t) = a(1-t) + bt, t \in [0,1], \quad g(t) = f(\gamma(t)), g : \mathbb{R}^1 \rightarrow \mathbb{R}^n$

$$\begin{aligned} \text{Czyli } g(t) &= \begin{bmatrix} g_1(t) \\ g_2(t) \\ \vdots \\ g_n(t) \end{bmatrix}, \text{ zatem } \|g(1) - g(0)\| = \left\| \begin{bmatrix} g_1(1) - g_1(0) \\ g_2(1) - g_2(0) \\ \vdots \\ g_n(1) - g_n(0) \end{bmatrix} \right\| \quad \text{Tw. Lagrange!} \\ &= \left\| \begin{bmatrix} g'_1(c_1)(1-0) \\ g'_2(c_2)(1-0) \\ \vdots \\ g'_n(c_n)(1-0) \end{bmatrix} \right\| \leq \left\| \begin{bmatrix} g'_1(c_1) \\ g'_2(c_2) \\ \vdots \\ g'_n(c_n) \end{bmatrix} \right\| \|1-0\| \\ &\quad \quad \quad 0 < c_i < 1 \end{aligned}$$



Rysunek 9: zbiór wklęsły



Rysunek 10: zbiór wypukły

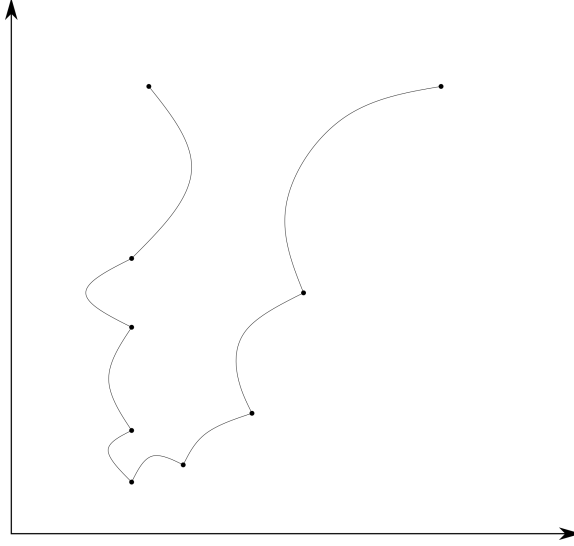
Ale $g'(t) = f'(\gamma(t))\gamma'(t) \rightarrow \|g'(t)\| = \|f'(\gamma(t))(b-a)\| \leq \|f'(\gamma(t))\| \|b-a\| \underset{\text{z zał. stw.}}{\leq} M$

Czyli $\forall_{t \in [0,1]} \|g'(t)\| \leq M \|b-a\| \implies \|f(b) - f(a)\| \leq M \|b-a\| \quad \square$

Niech X - unormowana: $P : X \rightarrow X, P$ - ciągła na X .

Interesuje nas zbieżność ciągów typu $\{x_0, P(x_0), P(P(x_0)), \dots\}, x_0 \in X$

Definicja 8 $\tilde{x} \in X$ nazywamy punktem stałym, jeżeli $P(\tilde{x}) = \tilde{x}$



Twierdzenie 7 Jeżeli ciąg $\{x_0, P(x_0), \dots\}$ - zbieżny i P - ciągłe, to jest on zbieżny do punktu stałego.

Dowód 11

Niech $x_n = P^{(n)}(x_0)$. Wiemy, że x_n - zbieżny, oznaczmy granicę tego ciągu przez \tilde{x} . Mamy:

$$\forall_{\varepsilon_1 > 0} \exists_{N_1} \forall_{n > N_1} d(x_n, \tilde{x}) < \varepsilon_1 \quad (6)$$

$$\forall_{\varepsilon_2 > 0} \exists_{N_2} \forall_{n > N_2} d(x_{n-1}, \tilde{x}) < \varepsilon_2 \quad (7)$$

P - ciągłe, czyli

$$\forall_{\varepsilon > 0} \exists_{\delta} \forall_{x'} : d(x, x') < \delta \implies d(P(x), P(x')) < \varepsilon, \text{ bo (6)}$$

Chcemy pokazać, że

$$\forall_{\varepsilon > 0} d(\tilde{x}, P(\tilde{x})) < \varepsilon \quad (8)$$

Ale

$$d(\tilde{x}, P(\tilde{x})) \leq d(\tilde{x}, x_n) + d(x_n, P(\tilde{x})) = d(\tilde{x}, x_n) + d(P(x_{n-1}), P(\tilde{x})) < \varepsilon + \varepsilon = 2\varepsilon \quad \square \quad (9)$$

$$\text{Ale z (6) wynika, że } \forall_{\varepsilon > 0} \exists_{\delta} d(x_{n-1}, \tilde{x}) < \delta \implies d(P(x_{n-1}), P(\tilde{x})) < \varepsilon \quad (10)$$

Zatem znając ε z (8) przyjmujemy $\varepsilon_1 = \varepsilon$, oprócz tego znajdujemy δ przyjmując $\varepsilon_1 = \varepsilon$, a potem położymy $\varepsilon_2 = \delta$ z (7) i dzięki temu mamy (9)

Niech X - przestrzeń metryczna, odwzorowanie $P : X \rightarrow X$ nazywamy zwężającym, jeżeli:

$$\exists_{q \in [0,1[} \forall_{x,y \in X} d(P(x), P(y)) \leq qd(x,y) \quad (11)$$

Twierdzenie 8 (Zasada Banacha o lustrach)

Jeżeli $P : X \rightarrow X, P$ - zwężające, to

$$1. \forall_{x_0 \in X} \{x_0, P(x_0), P(P(x_0)), \dots\} - \text{Zbieżny do punktu stałego } \tilde{x} \quad (12)$$

$$2. \text{Istnieje tylko jedno } \tilde{x} \quad (13)$$

$$3. \forall_m d(x_m, \tilde{x}) < \frac{q^m}{1-q} d(x_1, x_0) \quad (14)$$

Przykład 16 (uwaga)

(P - nie musi być ciągle) - potem się okaże, że ciągłość gdzieś tutaj siedzi *implicite*
- lustra w łazience koło sali 1.01 \rightarrow można stanąć tak, że jedno jest przed tobą a drugie za tobą i wtedy te odbicia się ciągną w nieskończoność i zbiegają do punktu
- telewizor + kamera która go nagrywa a on wyświetla ten obraz
- mapa położona na podłodze zawiera dokładnie jeden punkt, który się pokrywa z miejscem na którym leży

Dowód 12 ad. 2

Założmy, że $\exists_{\tilde{x}_1, \tilde{x}} P(\tilde{x}_1) = \tilde{x}_1, P(\tilde{x}_2) = \tilde{x}_2, \tilde{x}_1 \neq \tilde{x}_2$

Wtedy $d(\tilde{x}_1, \tilde{x}_2) = d(P(\tilde{x}_1), P(\tilde{x}_2)) < qd(\tilde{x}_1, \tilde{x}_2)$

Dalej:

$$d(\tilde{x}_1, \tilde{x}_2) \leq qd(\tilde{x}_1, \tilde{x}_2), \text{ ale } 0 \leq q \leq 1, \tilde{x}_1 \neq \tilde{x}_2 \implies \text{sprzeczność!} \quad \square$$

Obserwacja 2

$$d(x_{n+1}, x_n) = d(P(x_n), P(x_{n-1})) \leq qd(x_n, x_{n-1}) = qd(P(x_{n-1}), P(x_{n-2})) \leq q^2 d(x_{n-1}, x_{n-2}) \leq \dots \leq q^n d(x_1, x_0)$$

$$\begin{aligned} \text{Co, jeżeli zamiast } n+1 \text{ weźmiemy } n+m? \quad d(x_{n+m}, x_n) &\leq d(x_{n+m}, x_{n+m+1}) + d(x_{n+m-1}, x_n) \leq \\ d(x_{n+m}, x_{n+m-1}) + d(x_{n+m-1}, x_{n+m-2}) + d(x_{n+m-2}, x_n) &\leq \dots \leq d(x_{n+m}, x_{n+m-1}) + \dots + d(x_{n+1}, x_n) \leq \\ (q^{n+m-1} + \dots + q^{n+2} + q^{n+1} + q^n) d(x_1, x_0) &\leq q^n \left(\frac{1-q^n}{1-q} \right) d(x_1, x_0) \leq_{0 \leq q < 1} \frac{q^n}{1-q} d(x_1, x_0) \end{aligned}$$

$$\text{Czyli } d(x_{n+m}, x_n) \leq \frac{q^n}{1-q} d(x_1, x_0)$$

Skoro X - zupełna, to jeżeli x_n - Cauchy, to znaczy, że jest zbieżny w X . Czyli czy

$$\forall_{\varepsilon > 0} \exists_{N} \forall_{n, m > N} d(x_n, x_m) < \varepsilon?$$

Założmy, że $m > n$ i $m = n + k$. Wtedy

$$\forall_{\varepsilon > 0} \exists_{N} \forall_{n > N} d(x_n, x_{n+k}) < \varepsilon? \text{ TAK!}$$

Dla N takiego, że $\frac{q^N}{1-q} d(x_1, x_0) < \varepsilon$. Stąd wiadomo, że x_n - Cauchy, czyli jest zbieżny. $x_n \rightarrow \tilde{x}$, zatem jeżeli $d(x_{n+m}, x_n) \leq \frac{q^n}{1-q} d(x_1, x_0) \rightarrow d(\tilde{x}, x_n) \leq \frac{q^n}{1-q} d(x_1, x_0) \rightarrow 0$ \square

7 Wykład (19.03.2019)

Twierdzenie 9 (o lokalnej odwracalności)

Niech $f : E \rightarrow E, E$ - otwarty, $E \subset \mathbb{R}^N, f$ - różniczkowalna w sposób ciągły na E .
(f - klasy $C^1(E)$), $\exists_{a,b \in E} : f(a) = b \wedge f'(a)$ - odwracalna ($\det(f'(a)) \neq 0$), to:

1. $\exists_{U,V \subset E, a \in U, b \in V, U, V}$ - otwarte, f - bijekcja między U, V
2. $\exists_{g: V \rightarrow U} \cdot \forall_{x \in V}, f(g(x)) = x, g$ - ciągła i różniczkowalna na V

Uwaga: Dowód składa się z trzech części:

1. Pokażemy, że $\exists_{U,V} : f$ - bijekcja na U, V
2. Pokażemy, że U, V - otwarte
3. Pokażemy, że $\exists_{g: V \rightarrow U}, g$ - różniczkowalna na V i ciągła.

Przykład 17

$$f(x, y) = \begin{bmatrix} e^x \cos y \\ e^x \sin y \end{bmatrix}, f'(x, y) = \begin{bmatrix} e^x \cos y & -e^x \sin y \\ e^x \sin y & e^x \cos y \end{bmatrix}$$

$$\det(f'(x, y)) = e^{2x} \neq 0, \text{ ale } f(x, y) = f(x, y + 2\pi) \quad (\text{czyli funkcja jest okresowa})$$

Dowód 13

Część I:

Szukamy $U, V : f$ - bijekcja między U i V Skoro $f'(a)$ - odwracalne, to znaczy, że $\exists_{(f'(a))^{-1}}$, zatem

$$\exists_{\lambda} : 2\lambda \|(f'(a))^{-1}\| = 1$$

Wiemy, że $f'(x)$ - ciągła w $x = a$, czyli

$$\forall_{\varepsilon > 0} \cdot \exists_{\delta} \cdot \forall_x, d(x, a) < \delta \implies \|f'(x) - f'(a)\| < \varepsilon \quad (15)$$

Położmy $\varepsilon = \lambda$.

Oznacza to, że

$$\exists_{\delta_\lambda} \cdot \forall_x \in K(a, \delta_\lambda) \implies \|f'(x) - f'(a)\| < \lambda \quad (16)$$

Więc $U = K(a, \delta_\lambda)$, niech $V = f(U)$. Chcemy pokazać, że f - bijekcja między U i V .

Wprowadźmy funkcję pomocniczą:

$$\varphi_y(x) = x + [f'(a)]^{-1}(y - f(x)), x, y \in E \quad (17)$$

Pytanie 3 Co by było gdyby $\varphi_y(x)$ posiadała punkt stały? (jakie własności x by z tego faktu wynikały)

dla $x \in U, y \in V, (y \in f(a))$?

Z zasady Banacha wiemy, że odwzorowanie zwężające ma dokładnie jeden punkt stały, czyli

$$\forall_{y \in V} \cdot \exists_{x \in U} : f(x) = y$$

O f - z taką własnością mówimy, że jest 1-1 na U . (iksa nie obchodzi sąsiedzi, f musi być ciągle to będzie bijekcja)

Policzmy $\varphi'_y(x) = \mathbb{I} + (f'(a))^{-1}(-f'(x)) = (f'(a))^{-1}(f'(a) - f'(x))$, więc $\|\varphi'_y(x)\| = \|f'(a)^{-1}(f'(a) - f'(x))\| \leq \|(f'(a)^{-1})\| \|f'(a) - f'(x)\| \leq \forall_{x \in U} \frac{1}{2\lambda} \lambda = \frac{1}{2}$

Pamiętamy, że jeżeli $\exists_M \|\varphi'_y(x)\| \leq M$, to $\forall_{x,y} \|\varphi(x) - \varphi(y)\| < M\|x - y\|$

Zatem skoro $\|\varphi'_y(x)\| \leq \frac{1}{2}$, to

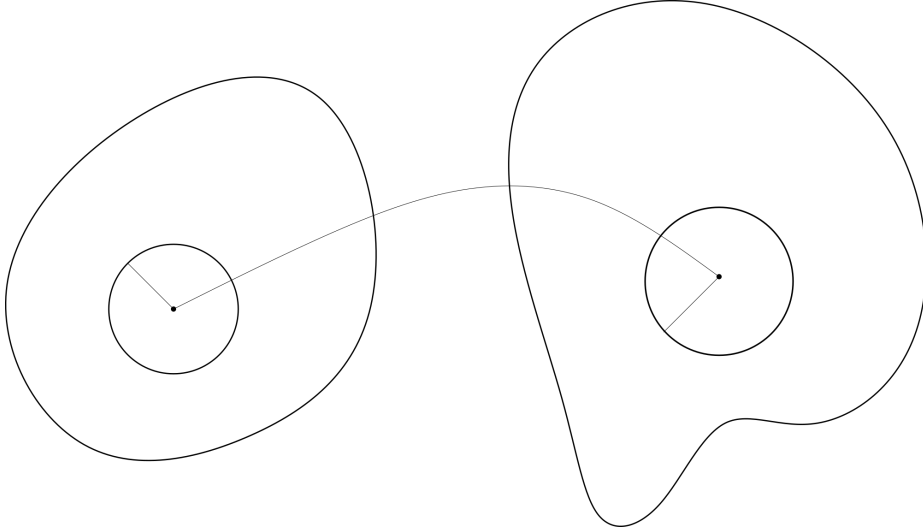
$$\forall_{x_1, x_2 \in U} \|\varphi_y(x_1) - \varphi_y(x_2)\| \leq \frac{1}{2} \|x_1 - x_2\|,$$

więc φ - zwężający na U , więc posiada dokładnie jeden punkt stały $\forall_{y \in V}$. Zatem f - bijekcja między U i V .

Część II - otwartość U i V

1. Zbiór U - otwarty (bo tak go zdefiniowaliśmy) ($U = K(a, \delta_1)$), więc $\exists_{x_0 \in U} \exists_r K(x_0, r) \subset U$, lub równoważnie $\|x - x_0\| \leq r \wedge x \in U$.

Chcemy pokazać, że dla $y_0 = f(x_0) \exists_{K(y_0, \lambda r) \subset V}$, czyli że V - otwarty.



Rysunek 11: Trochę jak listy do św. Mikołaja (??)

Weźmy $y \in K(y_0, \lambda r)$. Zauważmy, że $\varphi_{y_1}(x_1)$ - zwężające, jeżeli $y_1 \in V, x_1 \in U$. Jeżeli pokażemy, że dla $\|y - y_0\| < \lambda r$, $\varphi_y(x)$ - zwężająca na $K(x_0, r) \subset U$, to będziemy wiedzieli, że $\|y - y_0\| < \lambda r$ oraz $y \in V \iff K(y_0, \lambda r) \subset V$.

Żeby pokazać, że $\varphi_y(x)$ - zwężająca na $K(x_0, r)$, zbadamy tę wielkość dla $x \in K(x_0, r)$. $\|\varphi_y(x) - x_0\|$, chcielibyśmy, aby $\|\varphi_y(x) - x_0\| \leq r$ i $\|y - y_0\| < \lambda r$, ale z drugiej strony

$$\|\varphi_y(x) - x_0\| = \|\varphi_y(x) - \varphi_y(x_0) + \varphi_y(x_0) - x_0\| \leq \|\varphi_y(x) - \varphi_y(x_0)\| + \|\varphi_y(x_0) - x_0\|$$

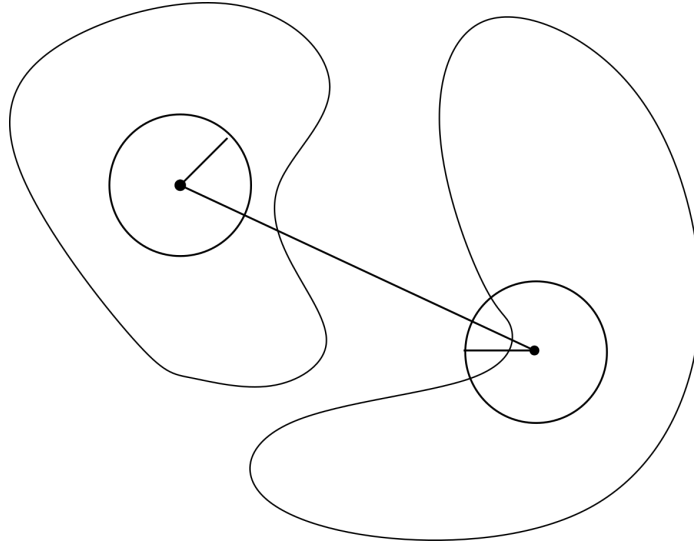
Ale $\|\varphi_y(x_0) - x_0\| \leq \|(f'(a))^{-1}\| \|y - y_0\| \leq \frac{1}{2\lambda} \lambda r = \frac{r}{2}$, więc $\|\varphi_y(x) - x_0\| \leq r$, jeżeli $\|y - y_0\| < \lambda r$, $\|x - x_0\| \leq r$.

Stąd wiemy, że punkt stały dla $\varphi_y(x) : x \in K(x_0, r)$ należy do $K(x_0, r)$ i $\|y - y_0\| < \lambda r$, zatem $y = f(x)$, czyli V - otwarty.

Część III:

Szukamy $g : V \rightarrow U$

Skoro f - bijekcja między U i V , to znaczy, że $\exists_{g: V \rightarrow U} f(g(x)) = x \forall_{x \in V}$.



Rysunek 12: Nie ok.

Chcemy pokazać, że $g(x)$ - różniczkowalne. Wiemy, że f - różniczkowalna w $x \in U$, czyli

$$\frac{f(x+h) - f(x) - f'(x)h}{\|h\|} \xrightarrow{h \rightarrow 0} 0, x, x+h \in V$$

Jeżeli pokażemy, że

$$\frac{g(y+k) - g(y) - [f'(x)]^{-1}k}{\|k\|} \xrightarrow{k \rightarrow 0} 0 \quad (18)$$

to będziemy wiedzieli, że:

1. g - różniczkowalne dla $y \in V$

2. $g'(y) = [f'(x)]^{-1}$.

W tym celu pokażemy, że:

1. $(\|k\| \rightarrow 0) \implies (\|h\| \rightarrow 0)$

2. $[f'(x)]^{-1}$ istnieje dla $x \in U$. (na razie wiemy, że $(f'(a))^{-1}$ istnieje)

Ad 1. Zauważmy, że

$$\begin{aligned} \varphi_y(x+h) - \varphi_y(x) &= x+h + [f'(a)]^{-1}(y - f(x+h)) - x - [f'(a)]^{-1}(y - f(x)) = \\ &= h + [f'(a)]^{-1}(y - f(x+h) - y + f(x)) = h - (f'(a))^{-1}(f(x+h) - f(x)), \end{aligned}$$

$$\text{czyli } \|\varphi_y(x+h) - \varphi_y(x)\| = \|h - (f'(a))^{-1}(k)\| \leq \frac{1}{2}\|h\|,$$

zatem $\|h - (f'(a))^{-1}k\| \leq \frac{1}{2}\|h\| \implies \|k\| \geq \|h\|, k = f(x+h) - f(x)$

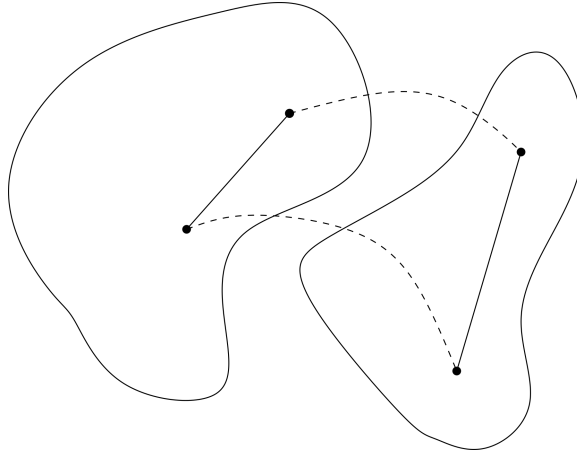
Stąd ostatecznie mamy: $\frac{g(y+k) - g(y) - [f'(x)]^{-1}k}{\|k\|} = [f'(x)]^{-1} \frac{hf'(x) - f(x+h) + f(x)}{\|k\|} \leq \frac{[f'(x)]^{-1}}{\lambda} \frac{hf'(x) - f(x+h) + f(x)}{\|h\|} \rightarrow 0$, o ile $\exists [f'(x)]^{-1}$

Pytanie 4 skąd wiadomo, że $(f'(x))^{-1}$?

Wiemy, że $f'(a)$ jest odwracalna, więc $(f'(a))^{-1}$ istnieje, $a \in U$.

Chcemy pokazać, że $f'(x)$ jest odwracalna dla $x \in U$. Oznacza to, że

$$0 < \|f'(x)y\| \text{ dla } y \neq 0, x \in U.$$



Rysunek 13

Pamiętamy, że $2\lambda\|(f'(a))^{-1}\| = 1$ oraz U - taka, że

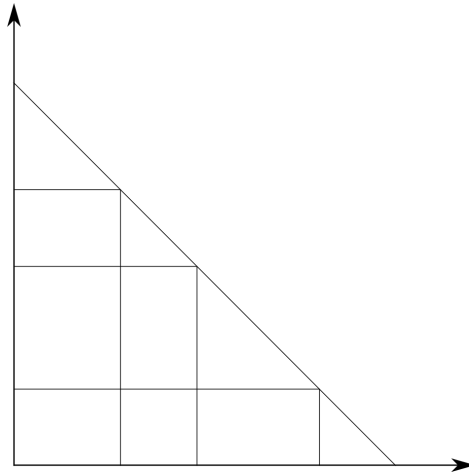
$$\forall_{x \in U} \|f'(x) - f'(a)\| < \lambda.$$

Zatem

$$0 \leq \frac{1}{\|(f'(a))^{-1}\|} \|y\| = \|(f'(x) + f'(a) - f'(x))y\| \leq \|f'(a) - f'(x)\| \|y\| + \|f'(x)\| \|y\|.$$

Dalej $2\lambda\|y\| \leq \lambda\|y\| + \|f'(x)y\|$ dla $x \in U$
 $0 \leq \lambda\|y\| \leq \|f'(x)y\|$ dla $y = 0$
 Czyli

$$\forall_{x \in U} \|f'(x)y\| > 0 \quad \square.$$



Rysunek 14: (a)

8 Wykład (22.03.2019)

Zabawki działające dzięki wnioskowi z Tw. wyżej

Definicja 9 *Funkcje uwikłane*

$$x + y = 1 \quad (\text{a}).$$

$$x^2 + y^2 = 1 \quad (\text{b}).$$

$$H(x, y) = \sin x e^{xy} + \operatorname{tg} y - x = 0.$$

Przykład 18 *Równanie gazowe*

$$H(p, V, T) = 0, H : \mathbb{R}^3 \rightarrow \mathbb{R}^1.$$

$$p(V, T) = 0, \mathbb{R}^2 \rightarrow \mathbb{R}^1.$$

$$V(p, T) = 0, \mathbb{R}^2 \rightarrow \mathbb{R}^1.$$

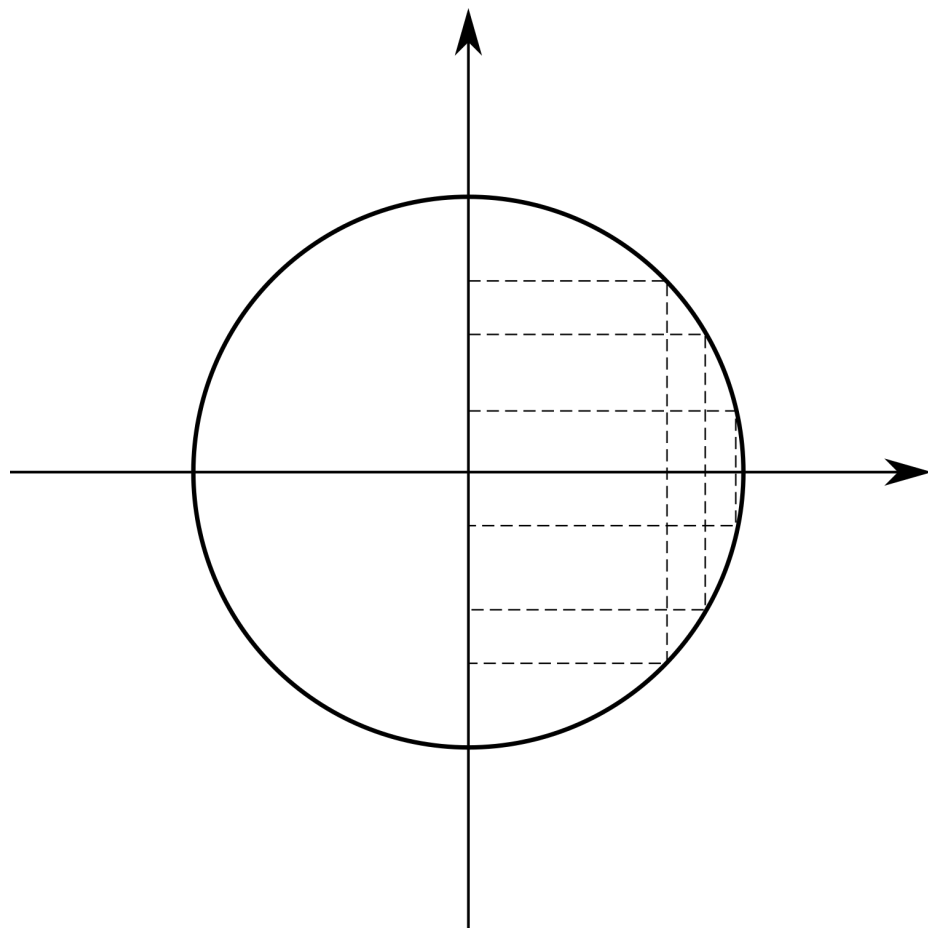
$$T(p, V) = 0, \mathbb{R}^2 \rightarrow \mathbb{R}^1.$$

istnienie przedziałów, w których funkcja uwikłana zadaje inne funkcje

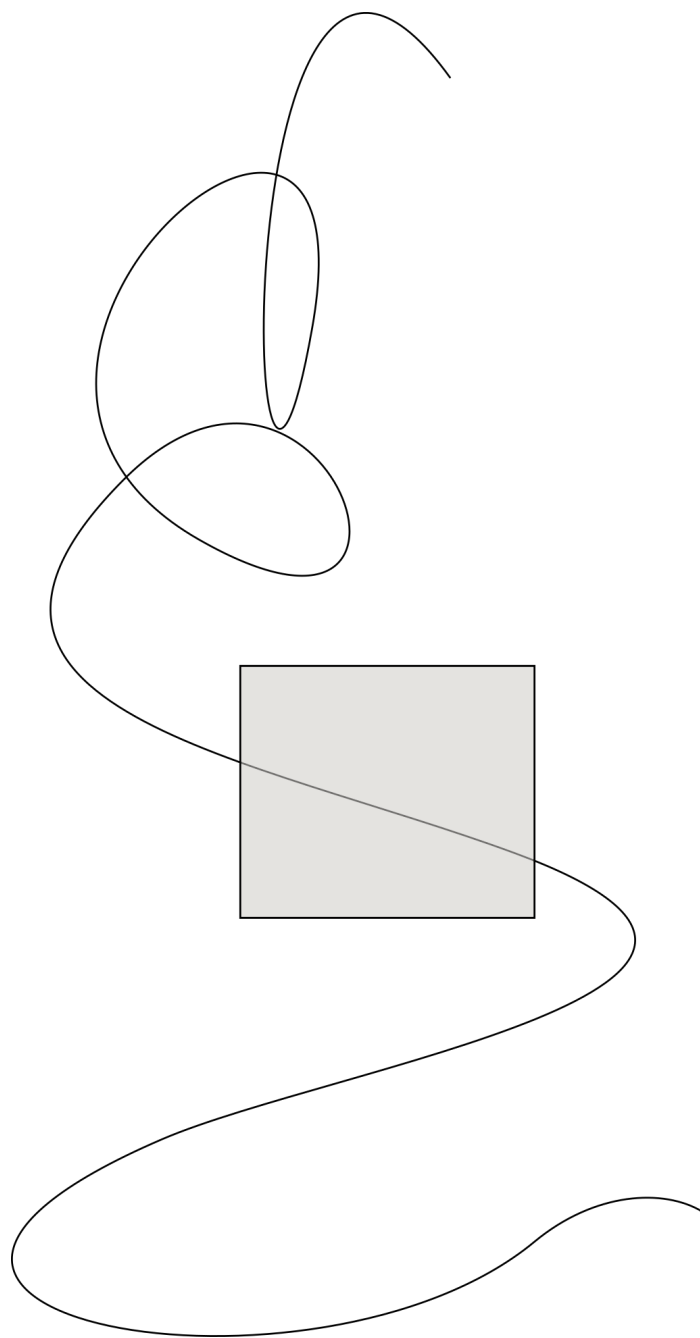
Przykład 19

$$H(x, y) : U \subset \mathbb{R}^2 \rightarrow \mathbb{R}^1.$$

Pytanie 5 *Czy istnieje $y(x) : H(x, y(x)) = 0$, dla $x \in V$?*



Rysunek 15: (b)



Rysunek 16: (c)

$$\frac{dH}{dx}(x, y(x)) = \frac{d}{dx}(H(x, y) \circ g(x)).$$

$$H' = \left[\frac{\partial H}{\partial x}, \frac{\partial H}{\partial y} \right].$$

$$g(x) : \mathbb{R}^1 \rightarrow \mathbb{R}^2, g(x) = \begin{bmatrix} x \\ y(x) \end{bmatrix}, g'(x) = \begin{bmatrix} 1 \\ y'(x) \end{bmatrix}.$$

$$H'(x, y)g'(x) = 0 \implies \frac{\partial H}{\partial x} + \frac{\partial H}{\partial y} \frac{\partial y}{\partial x} = 0 \implies \frac{\partial y}{\partial x} = -\frac{\frac{\partial H}{\partial x}}{\frac{\partial H}{\partial y}}.$$

Więc

$$\frac{\partial y}{\partial x} = \frac{-\cos y + ye^{xy} - 1}{xe^y + \frac{1}{\cos^2 y}}.$$

Przykład 20

$$H(x_1, x_2, x_3, x_4, x_5) = \begin{bmatrix} 2e^{x_1} + x_2x_3 - 4x_3 + 3 \\ x^2 \cos x_1 - 6x_1 + 2x_3 - x_5, H : \mathbb{R}^5 \rightarrow \mathbb{R}^3 \end{bmatrix}.$$

$$H(x_1, \dots, x_5) = 0 \text{ może zadać funkcję } g : \mathbb{R}^3 \rightarrow \mathbb{R}^2.$$

$$x_4(x_1, x_2, x_3), x_5(x_1, x_2, x_3).$$

$$g(x_1, g_2, g_3) = \begin{bmatrix} g_1(x_1, x_2, x_3) \\ g_2(x_1, x_2, x_3) \end{bmatrix}.$$

Obserwacja 3 $H(0, 1, 3, 2, 7) = 0$

$$H : \mathbb{R}^5 \rightarrow \mathbb{R}^2, H(x_1, x_2, y_1, y_2, y_3) = 0.$$

$$H(x_1, x_2, y_1, y_2, y_3) = \begin{bmatrix} H_1(x_1, x_2, y_1, y_2, y_3) \\ H_2(x_1, x_2, y_1, y_2, y_3) \end{bmatrix}.$$

Pytanie 6 Czy $H(x_1, x_2, y_1, y_2, y_3) = 0$ zadaje nam

$$g_1(y_1, y_2, y_3).$$

$$g_2(y_1, y_2, y_3)?$$

$$\text{czyli } g(y_1, y_2, y_3) = \begin{bmatrix} g_1(y_1, y_2, y_3) \\ g_2(y_1, y_2, y_3) \end{bmatrix}, g : \mathbb{R}^3 \rightarrow \mathbb{R}^2$$

$$H_1(g_1(y_1, y_2, y_3), g_2(y_1, y_2, y_3), y_1, y_2, y_3) = 0.$$

$$H_2(g_1(y_1, y_2, y_3), g_2(y_1, y_2, y_3), y_1, y_2, y_3) = 0.$$

Szukamy g' .

$$g' = \begin{bmatrix} \frac{\partial g_1}{\partial y_1} & \frac{\partial g_1}{\partial y_2} & \frac{\partial g_1}{\partial y_3} \\ \frac{\partial g_2}{\partial y_1} & \frac{\partial g_2}{\partial y_2} & \frac{\partial g_2}{\partial y_3} \end{bmatrix}.$$

$$\frac{\partial H_1}{\partial x_1} \frac{\partial g_1}{\partial y_2} + \frac{\partial H_1}{\partial x_2} \frac{\partial g_2}{\partial y_1} + \frac{\partial H_1}{\partial y_1} = 0.$$

$$\frac{\partial H_1}{\partial x_1} \frac{\partial g_1}{\partial y_3} + \frac{\partial H_1}{\partial x_2} \frac{\partial g_2}{\partial y_1} + \frac{\partial H_1}{\partial y_1} = 0.$$

$$\frac{\partial H_1}{\partial x_1} \frac{\partial g_1}{\partial y_3} + \frac{\partial H_1}{\partial x_2} \frac{\partial g_2}{\partial y_3} + \frac{\partial H_1}{\partial y_3} = 0.$$

$$\frac{\partial H_2}{\partial x_1} \frac{\partial g_1}{\partial y_1} + \frac{\partial H_2}{\partial x_2} \frac{\partial g_2}{\partial y_1} + \frac{\partial H_2}{\partial y_1} = 0.$$

$$\frac{\partial H_2}{\partial x_1} \frac{\partial g_1}{\partial y_2} + \frac{\partial H_2}{\partial x_2} \frac{\partial g_2}{\partial y_2} + \frac{\partial H_2}{\partial y_2} = 0.$$

$$\frac{\partial H_2}{\partial x_1} \frac{\partial g_1}{\partial y_3} + \frac{\partial H_2}{\partial x_2} \frac{\partial g_2}{\partial y_3} + \frac{\partial H_2}{\partial y_3} = 0.$$

napięcie rośnie (6 równań oho)

$$\begin{matrix} \begin{bmatrix} \frac{\partial H_1}{\partial x_1} & \frac{\partial H_1}{\partial x_2} \\ \frac{\partial H_2}{\partial x_1} & \frac{\partial H_2}{\partial x_2} \end{bmatrix} & \begin{bmatrix} \frac{\partial g_1}{\partial y_1} & \frac{\partial g_1}{\partial y_2} & \frac{\partial g_1}{\partial y_3} \\ \frac{\partial g_2}{\partial y_1} & \frac{\partial g_2}{\partial y_2} & \frac{\partial g_2}{\partial y_3} \end{bmatrix} & = - \begin{bmatrix} \frac{\partial H_1}{\partial y_1} & \frac{\partial H_1}{\partial y_2} & \frac{\partial H_1}{\partial y_3} \\ \frac{\partial H_2}{\partial y_1} & \frac{\partial H_2}{\partial y_2} & \frac{\partial H_2}{\partial y_3} \end{bmatrix} \\ H'_x & g' & H'_y \end{matrix}$$

$$H'_x g' = -H'_y \implies g' = -(H'_x)^{-1} H'_y.$$

Twierdzenie 10 (o funkcji uwikłanej)

Niech $H : E \subset \mathbb{R}^{n+m} \rightarrow \mathbb{R}^m$, $H \in \mathcal{C}^1$ na E . $(x_0, y_0) \in E$, $H(x_0, y_0) = 0$, $(x_0, y_0) = (x_0^1, \dots, x_0^n, y_0^1, \dots, y_0^m)$, H - odwracalna.

Wówczas istnieje $U \subset E$ takie, że $(x_0, y_0) \in U$, $\exists_{W \subset \mathbb{R}^n}$, że $x_0 \in W$, $\forall_{x \in W} \exists! y$ $H(x, y) = 0$, $(x, y) \in U$.

Jeżeli $y = \varphi(x)$, to $\varphi : \mathbb{R}^n \rightarrow \mathbb{R}^m$ i $\varphi \in \mathcal{C}^1$ na W . $\varphi'(x) = -(H'_y)^{-1} H'_x$

Dowód 14 Oznaczenia:

$$H(x^1, \dots, x^n, y^1, \dots, y^m) = \begin{bmatrix} H^1(x^1, \dots, x^n, y^1, \dots, y^m) \\ \vdots \\ H^m(x^1, \dots, x^n, y^1, \dots, y^m) \end{bmatrix}.$$

$$H'_y = \begin{bmatrix} \frac{\partial H^1}{\partial y^1} & \dots & \frac{\partial H^1}{\partial y^m} \\ \vdots & \ddots & \vdots \\ \frac{\partial H^m}{\partial y^1} & \dots & \frac{\partial H^m}{\partial y^m} \end{bmatrix}, H'_x = \begin{bmatrix} \frac{\partial H^1}{\partial x^1} & \dots & \frac{\partial H^1}{\partial x^n} \\ \vdots & \ddots & \vdots \\ \frac{\partial H^m}{\partial x^1} & \dots & \frac{\partial H^m}{\partial x^n} \end{bmatrix}.$$

Wprowadźmy funkcję $F : \mathbb{R}^{n+m} \rightarrow \mathbb{R}^{n+m}$

$$F(x^1, \dots, x^n, y^1, \dots, y^m) = \begin{bmatrix} x^1 \\ x^2 \\ \vdots \\ x^n \\ H^1(x^1, \dots, x^n, y^1, \dots, y^m) \\ \vdots \\ H^m(x^1, \dots, x^n, y^1, \dots, y^m) \end{bmatrix}.$$

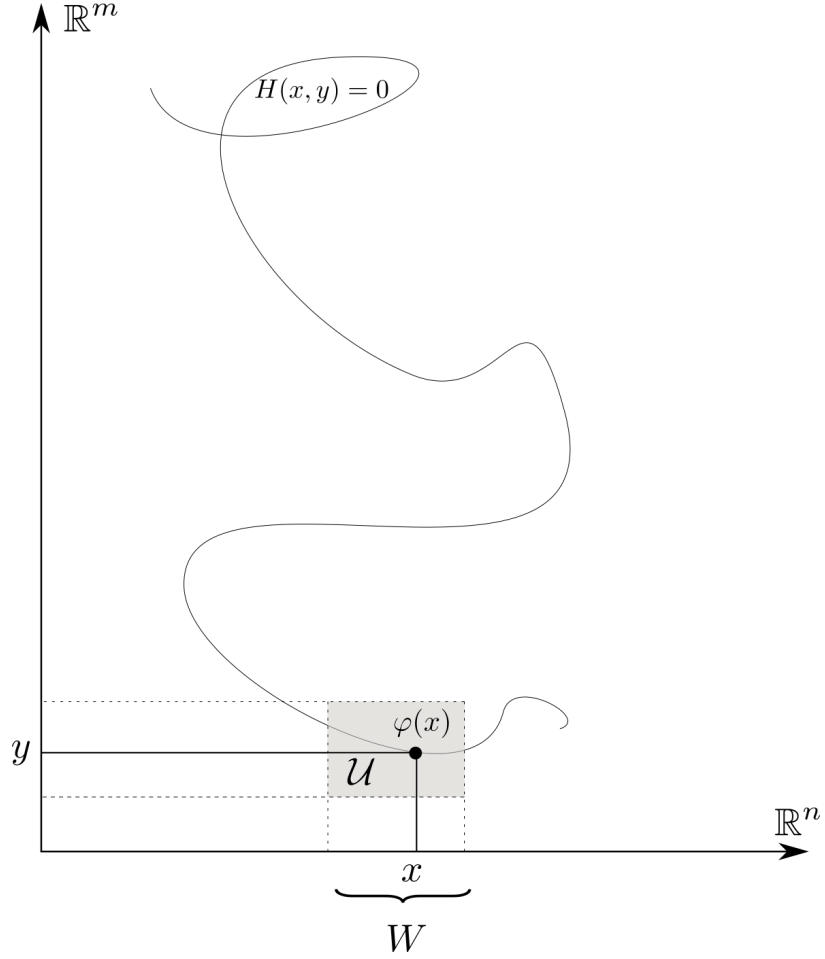
Jakie własności ma F ?

$$F(x_0, y_0) = \begin{bmatrix} x_0 \\ y_0 \end{bmatrix} = \begin{bmatrix} x_0 \\ 0 \end{bmatrix}.$$

Ale

$$F' = \begin{bmatrix} 1 & & & 0 \\ & \ddots & & \\ & & 1 & \\ H'_x & & & H'_y \end{bmatrix}, \det F' = \det H'_y.$$

Jeżeli $H'_y(x_0, y_0)$ - odwracalna, to $F'(x_0, y_0)$ - też. Oznacza to (na podstawie tw. o lokalnej odwra-



Rysunek 17

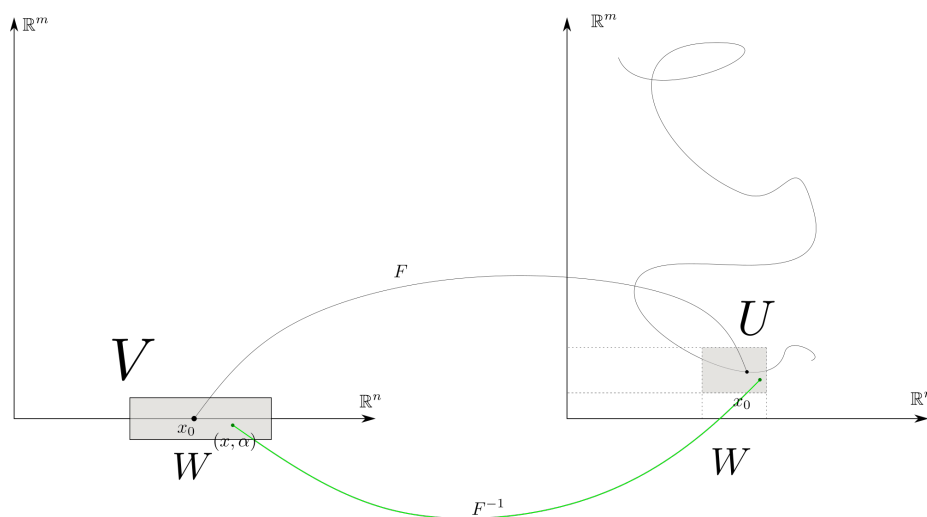
calności), że

$$\exists_{U \subset \mathbb{R}^{n+m}}, (x_0, y_0) \in U, \exists_{V \subset \mathbb{R}^{n+m}}, (x_0, 0) \in V.,$$

że F jest bijekcją między U i V oraz $\exists F^{-1} : V \rightarrow U, F^{-1}$ - różniczkowalna taka, że

$$F^{-1}(x, \alpha) = (a(x, \alpha), b(x, \alpha)), x, \alpha \in V.,$$

gdzie $a(x, \alpha) : \mathbb{R}^{m+n} \rightarrow \mathbb{R}^n$, $b(x, \alpha) : \mathbb{R}^{m+n} \rightarrow \mathbb{R}^m$



Rysunek 18

9 Wykład (26.03.2019)

końcówka dowodu:

Dla $(x', y') \in \mathcal{V}$,

$$F^{-1}(x', y') = (a(x', y'), b(x', y')).$$

Wiemy, że $a : \mathbb{R}^{n+m} \rightarrow \mathbb{R}^n$ i $b : \mathbb{R}^{n+m} \rightarrow \mathbb{R}^m$ istnieją i są różniczkowalne, bo F^{-1} istnieje. Co jeszcze wiemy o funkcjach a i b ?

Wiemy że

$$(x', y') = F(F^{-1}(x', y')) = F(\underbrace{a(x', y')}_n, \underbrace{b(x', y')}_m).$$

Oznacza to, że

$$a(x', y') = x'.$$

Czyli $a(x', y')$ jest identycznością, czyli:

$$(x', y') = F(x', b(x', y')) \implies x' = x \implies (x, y') = F(x, b(x, y')).$$

Czyli jeżeli $y = b(x, 0)$, to wtedy

$$F(x, y) = (x, 0), \text{ czyli } (x, H(x, y)) = (x, 0).$$

Czyli dla $y = (x, 0)$ otrzymujemy, że

$$H(x, y) = 0.$$

Jeżeli oznaczymy $b(x, 0) \stackrel{\text{ozn}}{=} \varphi(x)$, to znaczy, że znaleźliśmy funkcję $\varphi(x)$, $\varphi : \mathbb{R}^n \rightarrow \mathbb{R}^m$ taką, że

$$H(x, \varphi(x)) = 0 \quad \square.$$

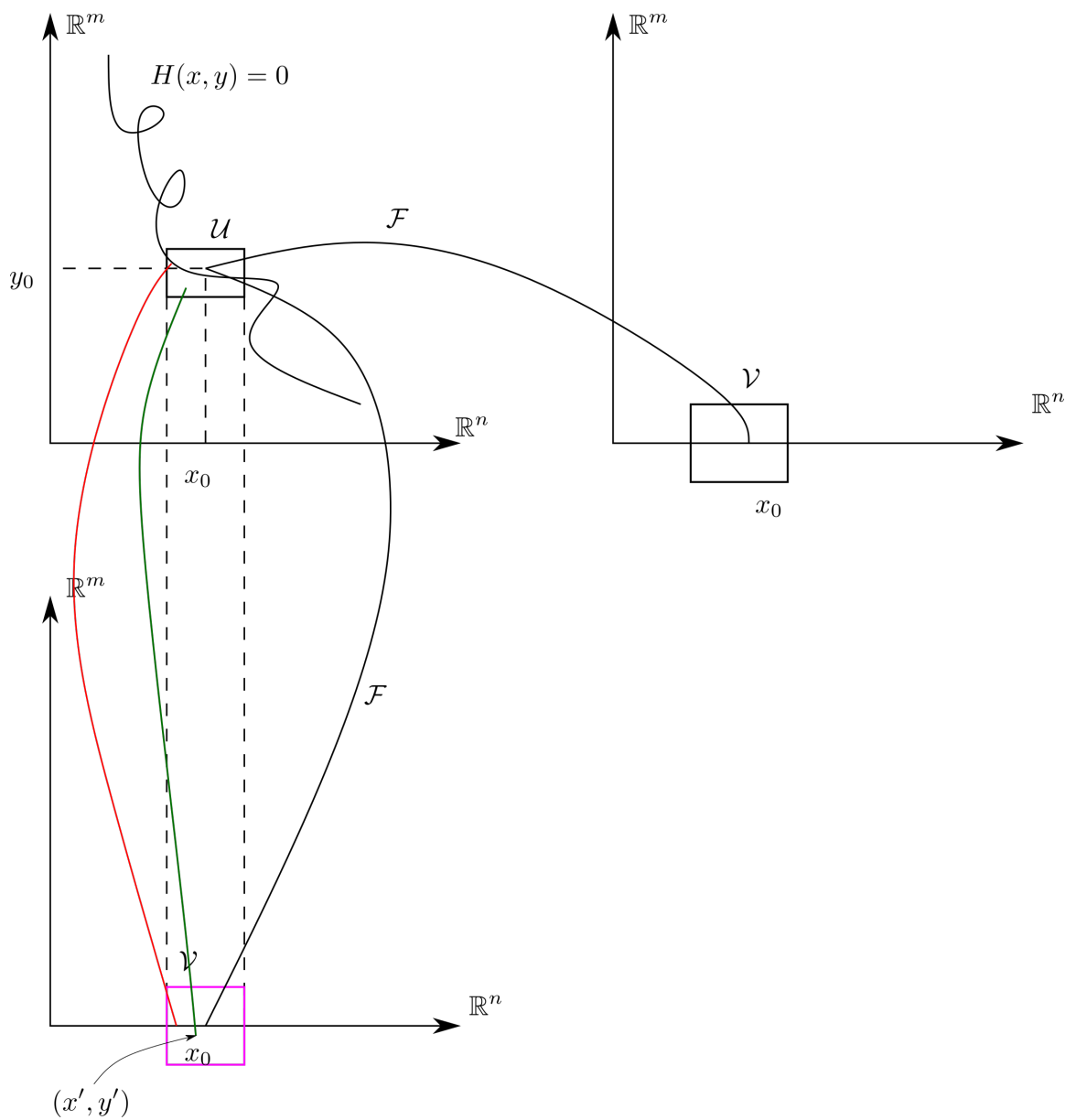
Definicja 10 *Ekstrema związane*

przykład:

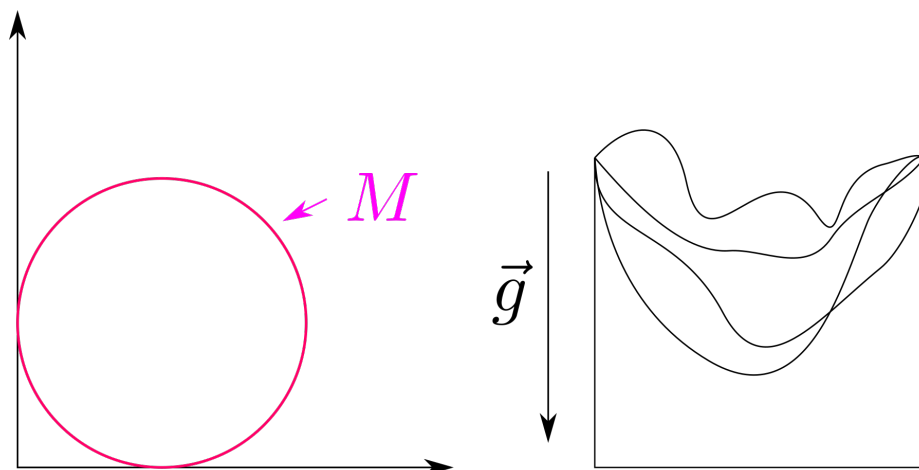
$$f(x, y) = x + y, \quad G(x, y) = (x - 1)^1 + (y - 1)^2 - 1, \quad M = \{(x, y) \in \mathbb{R}^2, G(x, y) = 0\}.$$

Szukamy minimum lub maksimum f na M

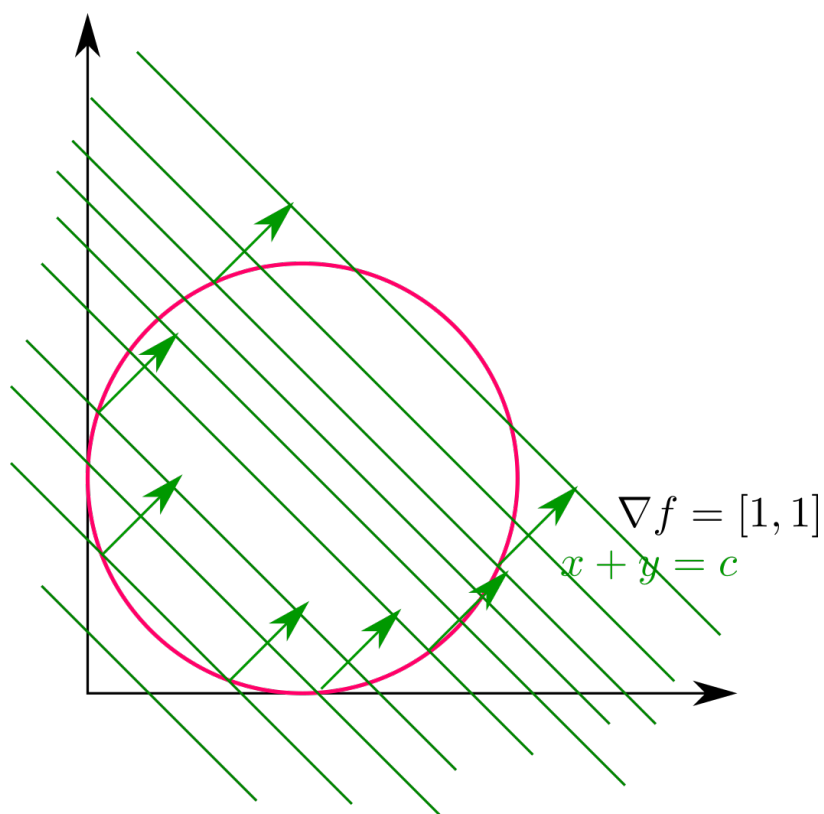
Rozważmy linię o stałej wartości $x + y$



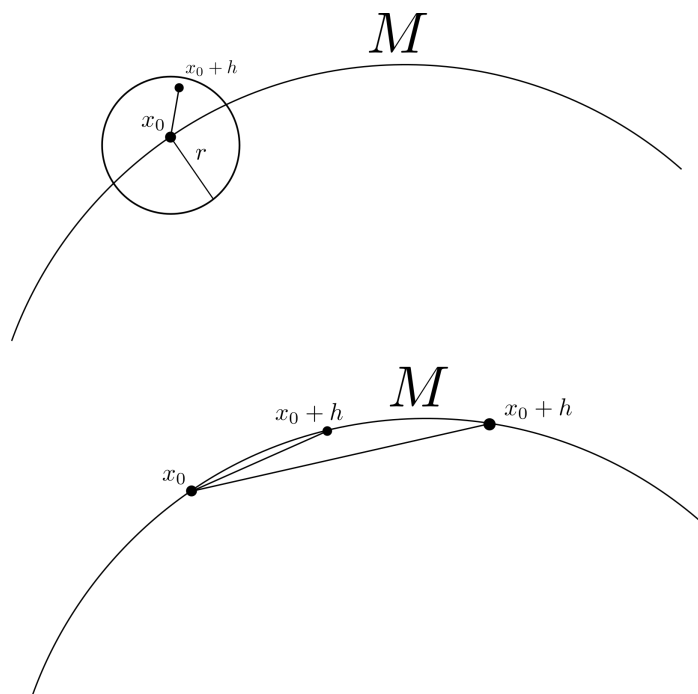
Rysunek 19



Rysunek 20: $G(x, y)$ i sznurek o stałej długości w polu grawitacyjnym



Rysunek 21: Biedronka łazi po obręczy rowerowej z włączonym wentylatorem, gdzie wyląduje???



Rysunek 22

Definicja 11 Niech $f : \mathbb{R}^n \rightarrow \mathbb{R}^1$ i $M \subset \mathbb{R}^n$ - zbiór.

Mówimy, że f ma minimum/maksimum związane na zbiorze M , w punkcie $x_0 \in M$, jeżeli

$$\exists_r \quad \forall_{\substack{h \\ \|h\| < r \\ (x_0+h) \in M}} \quad f(x_0+h) \leq f(x_0).$$

Ekstrema związane podejście I

Niech $f(x, y) : \mathbb{R}^2 \rightarrow \mathbb{R}^1$
 $G(x, y) : \mathbb{R}^2 \rightarrow \mathbb{R}^1$

$M = \{(x, y), G(x, y) = 0\}$ Szukamy minimum/maksimum f . Można wyliczyć $y(x)$ z więzów, wstawić do f i zbadać ekstrema funkcji jednej zmiennej $g(x) = f(x, y(x))$. Kiedy nie umiemy wyliczyć $y(x)$ z więzów, możemy założyć, że $y(x)$ jednak istnieje i $G(x, y(x)) = 0$. Wtedy:

$$\frac{\partial G}{\partial x} + \frac{\partial G}{\partial y} \frac{\partial y}{\partial x} = 0.$$

$$\frac{\partial y}{\partial x} = -\frac{\frac{\partial G}{\partial x}}{\frac{\partial G}{\partial y}}.$$

$$\text{czyli: } g'(x) = \frac{\partial f}{\partial x} + \frac{\partial f}{\partial y} \frac{\partial y}{\partial x} = 0.$$

$$\frac{\partial f}{\partial x} + \frac{\partial f}{\partial y} \frac{\frac{\partial G}{\partial x}}{\frac{\partial G}{\partial y}} = 0 \implies \underline{\frac{\partial G}{\partial y} \frac{\partial f}{\partial x} = \frac{\partial f}{\partial y} \frac{\partial G}{\partial x}}.$$

A co by było, gdyby $G(x, y) = 0$ zadawał funkcję $x(y)$?

$$G(x(y), y) = 0.$$

Czyli badalibyśmy wtedy funkcję

$$P(y) = f(x(y), y) \quad P'(y) = 0 \implies \frac{\partial f}{\partial x} \frac{\partial x}{\partial y} + \frac{\partial f}{\partial y} = 0.$$

ale

$$\frac{\partial x}{\partial y} = -\frac{\frac{\partial G}{\partial y}}{\frac{\partial G}{\partial x}} \implies \frac{\partial f}{\partial x} \frac{\frac{\partial G}{\partial y}}{\frac{\partial G}{\partial x}} + \frac{\partial f}{\partial y} = 0 \implies \frac{\partial f}{\partial x} \frac{\partial G}{\partial y} = \frac{\partial f}{\partial y} \frac{\partial G}{\partial x} \quad (19)$$

Co oznacza warunek 19?

Wiemy, że

$$f' = \left[\frac{\partial f}{\partial x}, \frac{\partial f}{\partial y} \right] G' = \left[\frac{\partial G}{\partial x}, \frac{\partial G}{\partial y} \right], \text{ czyli.}$$

$$V = [A, B] \quad W = [C, D] \text{ i } AD = BC.$$

$$\frac{A}{B} = \frac{C}{D} = \lambda \in \mathbb{R}.$$

Stąd wiadomo, że

$$A = B\lambda, \quad C = D\lambda.$$

$$V = [B\lambda, B], \quad B = [\lambda, 1], \quad W = [D\lambda, D], \quad D = [\lambda, 1].$$

Czyli warunek na to, aby $G'(x) = 0$, albo $P'(y) = 0$ oznacza, że

$$\exists_{\substack{\lambda \in \mathbb{R} \\ \lambda \neq 0}} f' = \lambda G', \quad G(x, y) = C.$$

$$\frac{\partial f}{\partial x} - \lambda \frac{\partial G}{\partial x} = 0, \quad \frac{\partial f}{\partial y} - \lambda \frac{\partial G}{\partial y} = 0 \quad (20)$$

Wielkość λ często nazywa się *mnożnikiem Lagrange*

Obserwacja 4 Do warunku (20) można dojść na skróty przez funkcję $H(x, y) = f(x, y) - \lambda G(x, y)$ i badanie $H(x, y)$ tak, jakby była to funkcja $\mathbb{R}^2 \rightarrow \mathbb{R}^1$ bez żadnych więzów.

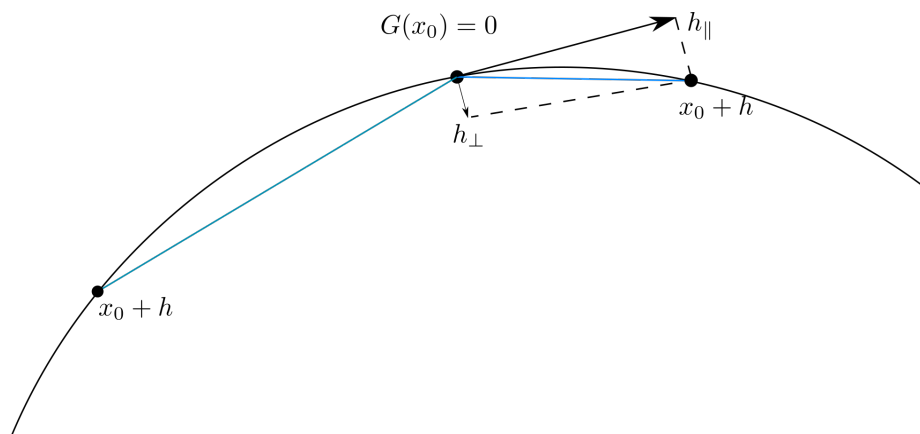
$$\frac{\partial H}{\partial x} = 0, \quad \frac{\partial H}{\partial y} = 0 \quad (+ \text{ warunek } G(x, y) = 0).$$

Pytanie 7 Co ze zbadaniem $G''(x)$ lub $P''(y)$?

Odpowiedź: lepiej inaczej... (XD), to znaczy, potrzebujemy nowego języka.

Przy liczeniu ekstremów funkcji jednej zmiennej badaliśmy

$$f(x_0 + h) - f(x_0) \approx f''(x_0)(h, h).$$



Rysunek 23

10 Wykład (29.03.2019)

$$f : \mathbb{R}^n \rightarrow \mathbb{R}^1, \quad G : \mathbb{R}^n \rightarrow \mathbb{R}^m, \quad M = \{x : G(x) = 0\}.$$

Badamy różnicę $f(x_0 + h) - f(x_0)$ (jest fajna bo możemy ją rozwinąć ze wzoru Taylora)
Próbujemy ożenić te języki. Zbadajmy $G'(x)$.

- $G'(x)$ - jest macierzą $[G']_{m,n}$

$$G(x_1, \dots, x_n) = \begin{bmatrix} G^1(x_1, \dots, x_n) \\ G^2(x_1, \dots, x_n) \\ \vdots \\ G^m(x_1, \dots, x_n) \end{bmatrix}.$$

$$[G'(x)] = \begin{bmatrix} \frac{\partial G^1}{\partial x^1} & \cdots & \frac{\partial G^1}{\partial x^n} \\ \vdots & & \vdots \\ \frac{\partial G^m}{\partial x^1} & \cdots & \frac{\partial G^m}{\partial x^n} \end{bmatrix}.$$

$$[G'(x)] : \mathbb{R}^n \rightarrow \mathbb{R}^m.$$

Pytanie 8 Jaki jest "wymiar" zbioru M ?

Albo, jeżeli $\mathbb{R}^n \rightarrow \mathbb{R}^m$, to wiąż $G(x) = 0$ zadaje funkcję

$$\varphi(x) : \mathbb{R}^{n-m} \rightarrow \mathbb{R}^m.$$

Taką, że $G(x^1, \dots, x^{n-m}, \varphi^1(x^1, \dots, x^{n-m}), \dots, \varphi^m(x^1, \dots, x^{n-m}))$, (jeżeli $\det G_y(x) \neq 0$)

Jeżeli $\det G'_y(x) \neq 0$, to znaczy, że w macierzy

$$G' = \begin{bmatrix} \frac{\partial G_1}{\partial x^1} & \cdots & \frac{\partial G_1}{\partial x^{n-m}} & \frac{\partial G_1}{\partial y^1} & \cdots & \frac{\partial G_1}{\partial y^m} \\ \vdots & & \vdots & & & \vdots \\ \frac{\partial G_m}{\partial x^1} & \cdots & \frac{\partial G_m}{\partial x^{n-m}} & \frac{\partial G_m}{\partial y^1} & \cdots & \frac{\partial G_m}{\partial y^m} \end{bmatrix}.$$

Gdzie $x \stackrel{\text{ozn}}{=} (x^1, \dots, x^{n-m}, y^1, \dots, y^m)$. Żeby podkreślić to, że niektóre współrzędne (y^1, \dots, y^m) można uzyskać z innych (x^1, \dots, x^{n-m}) poprzez funkcję $\varphi : x = \varphi(y)$

Gdy założymy, że $\det G'_y \neq 0$, to znaczy, że
m-liniowo niezależnych kolumn, bo

$$\dim \operatorname{im} G'(x) = m = \dim \mathbb{R}^m \text{ i } G'(x) : \mathbb{R}^n \rightarrow \mathbb{R}^m.$$

Oznacza to, że

$$\dim \ker G'(x) = n - m.$$

(tw. o rzędzie (paweł odpalił kiedyś))

Oznaczmy $X_1 = \ker G'(x)$ i $X_2 = \operatorname{im} G'(x)$ ($\dim X_1 = n - m, \dim X_2 = m$) Oznacza to, że każdy wektor $h \in \mathbb{R}^n$ da się przedstawić jako $h = h_1 + h_2, h_1 \in X_1, h_2 \in X_2$ czyli $\mathbb{R}^n = X_1 \oplus X_2$

Oznacza to, że możemy tak wybrać bazę, że

$$X_1 = \left\{ \begin{bmatrix} x^1 \\ \vdots \\ x^{n-m} \\ 0 \\ \vdots \\ 0 \end{bmatrix} \right\}, X_2 = \left\{ \begin{bmatrix} 0 \\ \vdots \\ 0 \\ y^1 \\ \vdots \\ y^m \end{bmatrix} \right\}, \quad x^1, \dots, x^{n-m}, y_1, \dots, y_m \in \mathbb{R}.$$

Co więcej,

$$X_2 = \left\{ \begin{bmatrix} 0 \\ \vdots \\ 0 \\ \varphi^1(x^1, \dots, x^{n-m}) \\ \vdots \\ \varphi^m(x^1, \dots, x^{n-m}) \end{bmatrix} \right\}, \quad x^i \in \mathcal{O} : \det(G'_y) \neq 0.$$

A co możemy powiedzieć o wierszach $G'(x)$? - jest ich m i są liniowo niezależne

Jeżeli $h = h_1 + h_2, \quad h_1 \in X_1, h_2 \in X_2$, to możemy powiedzieć, że

$$h_2 = \varphi(h_1).$$

Zatem dalej piszemy

$$h_2 = \varphi(0 + h_1) = \varphi(0) + \varphi'(0)h_1 + r(0, h_1).$$

gdzie $(r \frac{0, h_1}{\|h_1\|} \rightarrow 0)$ (bo z tw. o funkcji uwikłanej wiemy, że φ - różniczkowalna, co więcej $\varphi' =$

$-(G'_y)^{-1}G'_x$ a $\varphi'(0) = -(G'_y(0))^{-1}G'_x(0)$ czyli $\varphi'(0)h_1 = -(G'_y(0))^{-1}G'_x(0)h_1 = 0$

Zatem

$$h_2 = \varphi(h_1) = r(0, h_1).$$

gdzie

$$\frac{r(0, h_1)}{\|h_1\|} \xrightarrow{h_1 \rightarrow 0} 0.$$

czyli h_2 maleje szybciej niż $\|h_1\|$

Chcemy zbadać różnicę

$$f(x_0 + h) - f(x_0).$$

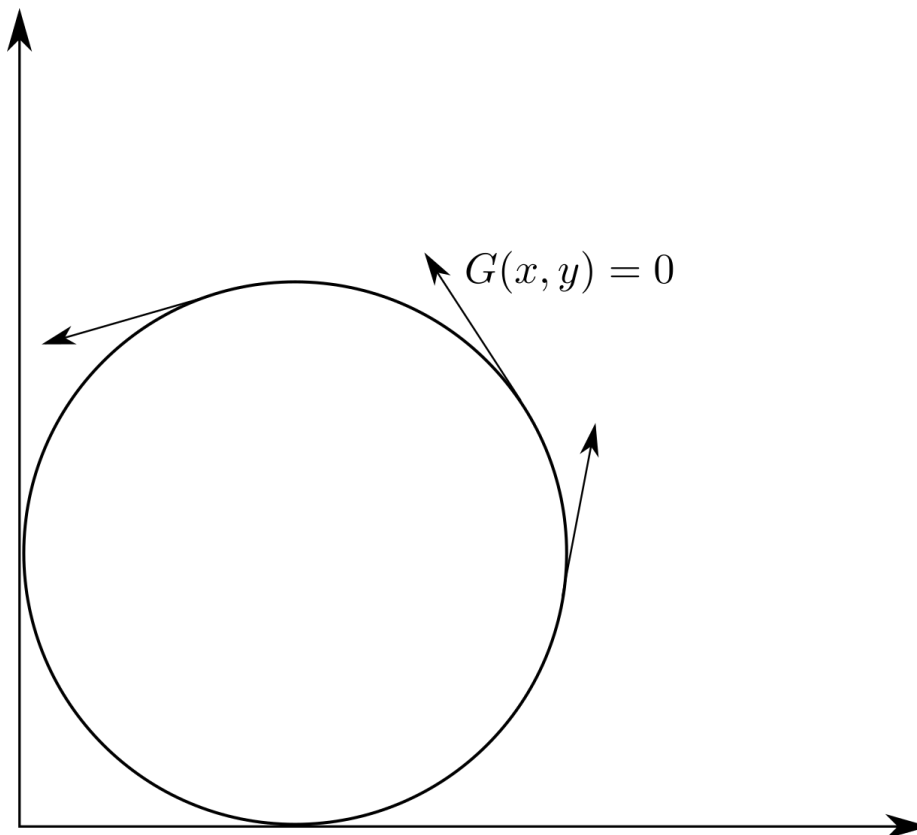
Skoro $h \in \mathbb{R}^n$, to możemy przedstawić h jako

$$h = h_{\parallel} + h_{\perp}, \quad h_{\parallel} \in X_1, h_{\perp} \in X_2.$$

czyli

$$G'(x_0)h_{\parallel} = 0?.$$

Przykład 21 niech $G(x, y) = (x - 1)^2 + (y - 1)^2 - 1$, $G' = (2(x - 1), 2(y - 1))$



Rysunek 24: biedronka i szprycha

$$f(x_0 + h) - f(x_0) = f(x_0 + h_{\perp} + h_{\parallel}) - f(x_0).$$

W małym otoczeniu h będzie bardziej decydował h_{\parallel} , bo zawsze mogę zmniejszyć h i w efekcie h_{\perp} się zmniejszy

Wiemy, że

$$f(x_0 + h) - f(x_0) = f'(x_0)h + \frac{1}{2!}f''(x_0)(h, h) + r_1(x_0, h).$$

bo f - różniczkowalna

$$G(x_0 + h) - G(x_0) = G'(x_0)h + \frac{1}{2!}G''(x_0)(h, h) + r_2(x_0, h).$$

bo G - różniczkowalna

niech

$$\Lambda = [\lambda_1, \dots, \lambda_m], \lambda_i \in \mathbb{R}.$$

Wtedy

$$f(x_0 + h) - f(x_0) = f(x_0 + h) - f(x_0) - \Lambda(G(x_0 + h) - G(x_0)) = (f'(x_0) - \Lambda G'(x_0))h.$$

Dalej dostajemy

$$(f'(x_0) - \Lambda G'(x_0))h + \frac{1}{2!}(f''(x_0) - \Lambda G''(x_0))(h, h) + r_1(x_0, h) + r_2(x_0, h).$$

Ale dla minimum lub maksimum chcemy, aby

$$f'(x_0) = \Lambda G'(x_0).$$

więc dla minimum / maksimum $f(x_0 + h) - f(x_0) = \frac{1}{2}(f''(x_0) - \Lambda G''(x_0))(h, h) + r_1(x_0, h) + r_2(x_0, h)$

Zatem jako, że $\frac{r_1(0, h)}{\|h\|^2} \xrightarrow{\|h\|^2} 0$, $\frac{r_2(0, h)}{\|h\|^2} \xrightarrow{\|h\|^2} 0$, to o znaku $f(x_0 + h) - f(x_0)$ decyduje znak

$$(f''(x_0) - \Lambda G''(x_0))(h, h).$$

Wiemy, że $h \in \mathbb{R}^n \text{ i } \mathbb{R}^n = X_1 \oplus X_2$, czyli $h = h_\perp + h_\parallel$

$$\begin{aligned} f''(x_0) - \Lambda G''(x_0))(h, h) &= \underbrace{f''(x_0) - \Lambda G''(x_0)}_{\square}(h_\parallel + h_\perp, h_\perp + h_\parallel). \\ &= (\square)(h_\perp, h_\perp) + (\square)(h_\perp, h_\parallel) + (\square)(h_\parallel, h_\perp) + (\square)(h_\parallel, h_\parallel). \end{aligned}$$

Pytanie 9 Króre z powyższych wyrażeń jest najmniejsze (które z powyższych wyrażeń są o rząd mniejsze od pozostałych dla $\|h\| \rightarrow 0$)

Wiemy, że

$$\|h_\perp\| \quad \|h_\parallel\|.$$

Oznacza to, że dla małych $\|h_\parallel\|$ o znaku decyduje

$$(f''(x_0) - \Lambda G''(x_0))(h_\parallel, h_\parallel).$$

Twierdzenie 11 Niech $f : U \subset \mathbb{R}^n \rightarrow \mathbb{R}^1$, $f \in \mathcal{C}^2(U)$, $G : U_2 \subset \mathbb{R}^n \rightarrow \mathbb{R}^m$, $G \in \mathcal{C}^2(U_2)$, $\exists_{x_0} G(x_0) = 0$, $G'(x_0)$ - ma rząd maksymalny (m) oraz

$$\exists_{\Lambda} \Lambda = [\lambda_1, \dots, \lambda_m], \lambda_i \in \mathbb{R}, f'(x_0) - \Lambda G'(x_0) = 0.$$

to jeżeli

$$(f''(x_0) - \Lambda G''(x_0))(h_\parallel, h_\parallel) > 0, h_\parallel \stackrel{\text{def}}{=} \{G'(x_0)h_\parallel = 0\}.$$

to f posiada w x_0 minimum lokalne (< 0 , to maksimum lokalne) na zbiorze $M = \{x \in \mathbb{R}^n, G(x) = 0\}$

11 Wykład (02.04.2019)

11.1 Równania różniczkowe

Interesuje nas następująca sytuacja: $\frac{dx}{dt} = f(t, x)$

$$x(t_0) = x_0$$

$$x(1) : [a, b] \rightarrow \mathbb{R}$$

$$f : [a, b] \times \mathbb{R}^n \rightarrow \mathbb{R}^n$$

Przykład 22

$$\begin{aligned}\frac{dx}{dt} &= -kx(t) \\ x(t) &= ce^{-kt}.\end{aligned}$$

Pytanie: czy to, że równanie jest pierwszego rzędu bardzo nam przeszkadza?

Przykład 23 $\ddot{x} + \omega^2 x = 0$

$$\dot{x} = p$$

$$\dot{p} = \ddot{x} = -\omega^2 x$$

$$\underbrace{\frac{d}{dt} \begin{bmatrix} x \\ p \end{bmatrix}}_{\frac{d}{dt} x} = \underbrace{\begin{bmatrix} 0 & 1 \\ -\omega^2 & 0 \end{bmatrix} \begin{bmatrix} x \\ p \end{bmatrix}}_{f(x, t)}$$

Definicja 12 Niech $I \subset \mathbb{R}, \mathcal{O} \subset \mathbb{R}^n$

$f : I \times \mathbb{R}^n \rightarrow \mathcal{O}$ taka, że $t \in I, x \in \mathbb{R}^n, f(t, x) \rightarrow f(t, x)$

Mówimy, że f spełnia warunek Lipschitza, jeżeli

$$\exists_{L>0} \cdot \forall_{t \in I} \cdot \forall_{x, x' \in \mathcal{O}} \cdot \|f(t, x) - f(t, x')\| \leq L \|x - x'\|.$$

Uwaga 1 Znane t, x nie występują w warunku Lipschitza na równych prawach

Pytanie 10 Czy jeżeli

$$f : \mathcal{O} \rightarrow \mathcal{O} \text{ takie, że } \exists_{L>0} \cdot$$

że

$$\forall_{x, x'} \|f(x) - f(x')\| \leq L \|x - x'\|.$$

to czy f jest ciągła?

Twierdzenie 12 Niech $[a, b] \subset \mathbb{R}, \mathcal{O} \subset \mathbb{R}^n, \mathcal{O}$ - domknięty i $f : [a, b] \times \mathcal{O} \rightarrow \mathcal{O}$ takie, że f - ciągła na $[a, b] \times \mathcal{O}$ oraz f spełnia warunek Lipschitza na \mathcal{O} , to znaczy:

$$\exists_{L>0} \cdot \forall_{t \in [a, b]} \cdot \forall_{x, x' \in \mathcal{O}} \|f(t, x) - f(t, x')\| \leq L \|x - x'\|.$$

Wówczas

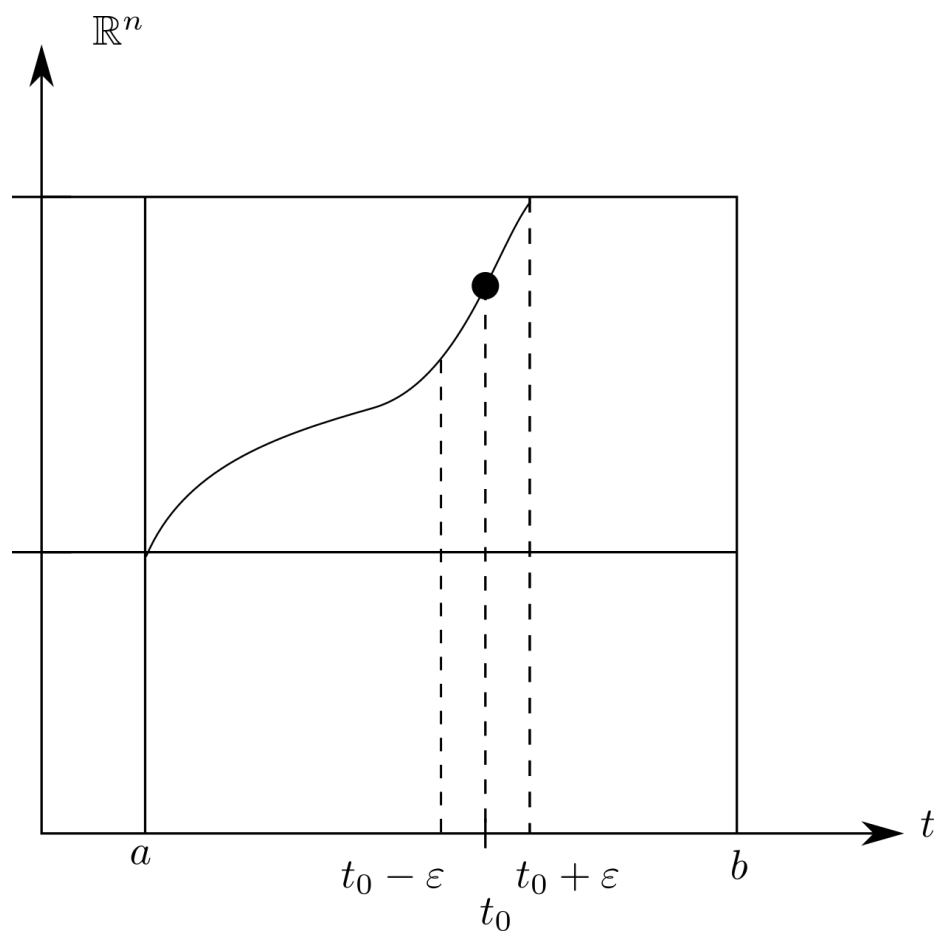
$$\forall_{t_0 \in [a, b]} \cdot \forall_{x_0 \in \mathcal{O}} \cdot \exists_{\varepsilon>0} \cdot \text{ że dla } t \in]t_0 - \varepsilon, t_0 + \varepsilon[$$

równanie ma jednoznaczne rozwiązania, które są ciągłe ze względu na x_0

$$\begin{cases} \frac{dx}{dt} = f(t, x) \\ x(t_0) = x_0 \end{cases} \quad (21)$$

Uwaga 2 Problem 21 nazywamy problemem Cauchy.

Ciągłość f na $[a, b] \times \mathcal{O}$ jest mocniejszym warunkiem niż Lipschytzowalność na \mathcal{O}



Rysunek 25

Dowód 15 Skoro f - ciągła na $[a, b] \times \mathcal{O}$, to znaczy, że f jest ograniczona, czyli

$$\exists_{M>0} \cdot \exists_{y_1>0} \cdot \exists_{y_2>0}, \quad \|f(t, x)\| \leq M.$$

$t \in K(t_0, y_1), x \in K(x_0, y_2)$.

Zauważmy, że problem 21 możemy zapisać jako

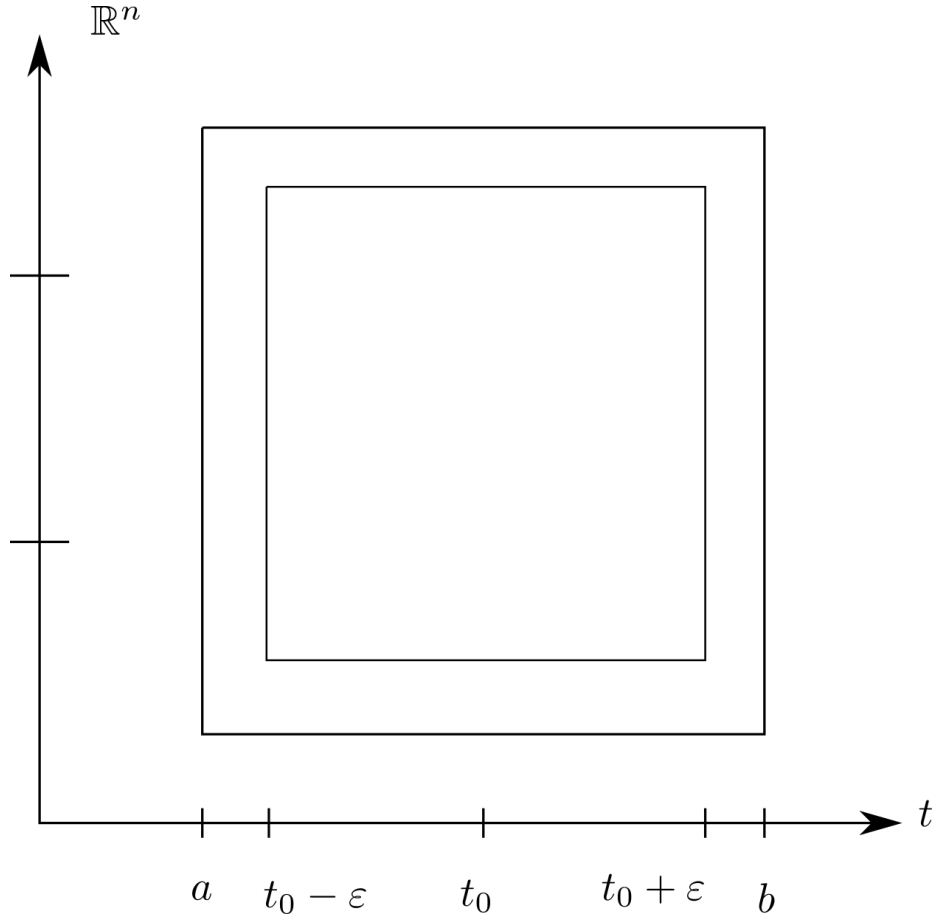
$$x(t) = x_0 + \int_{t_0}^t f(s, x(s)) ds \quad (22)$$

Czyli, jeżeli znajdziemy $x(t)$ takie, co spełnia 22, to rozwiąż problem 21.
Rozważmy odwzorowanie

$$P(g)(t) = x_0 + \int_{t_0}^t f(s, g(s)) ds.$$

$A = \{C : [t - r_1, t_0 + r_1] \rightarrow \mathbb{R}^n\}$ funkcja ciągła na kuli o wartościach w \mathbb{R}^n .

Co by było, gdyby P miało punkt stały? Czyli $\exists_{x(t) \in A}$ takie, że $P(x(t)) = x(t)$



Rysunek 26

Oznaczałoby to, że

$$x(t) = -x_0 + \int_{t_0}^t f(s, x(s)) ds.$$

Co więcej, gdyby P było zwężające, to z zasady Banacha wiemy, że punkt stały jest tylko jeden. Zatem, jeżeli znajdziemy podzbiór A taki, że P - zwężające, to udowodnimy jednoznaczność. Problem 22

Niech $E = \left\{ g \in \mathcal{C}([t_0 - \varepsilon, t_0 + \varepsilon], \mathbb{R}^n, \|g(t) - \overset{\text{ważne!}}{x_0^{(t)}}\| \leq r_2 \right\}$, czyli

$$g \in E \iff \sup_{t_0 - \varepsilon \leq t \leq t_0 + \varepsilon} \|g(t) - x_0\| \leq r_2.$$

i

$$g : [t_0 - \varepsilon, t_0 + \varepsilon] \rightarrow \mathbb{R}^n.$$

i g - ciągła.

(domkniętość ze względu na zasadę Banacha ($x_0 \overset{\text{ozn}}{=} g_0(t)$))

Szukamy takiego ε , żeby:

$$P(g) \in E \quad g \in E \quad (23)$$

$$P - \text{zwężająca na } E. \quad (24)$$

bo jeżeli 24 jest spełniona, to wiemy, że istnieje punkt stały.

Jeżeli 23 jest spełniona, to wiemy, że punkt stały należy do E

Warunek 23: $P(g) \in E$, czyli

$$\sup_{t_0 - \varepsilon \leq t \leq t_0 + \varepsilon} \|P(g(t)) - x_0\| \leq r_2.$$

czyli

$$\begin{aligned} \sup_{t_0 - \varepsilon \leq t \leq t_0 + \varepsilon} \|x_0 + \int_{t_0}^t f(s, g(s)) ds - x_0\| &\leq \sup_{t_0 - \varepsilon \leq t \leq t_0 + \varepsilon} \int_{t_0}^t \|f(s, g(s))\| ds \leq . \\ \sup_{t_0 - \varepsilon \leq t \leq t_0 + \varepsilon} |t - t_0| M &= \varepsilon M. \end{aligned}$$

Jeżeli chcemy aby $\varepsilon M \leq r_2$

to znaczy, że $\varepsilon \leq \frac{r_2}{M}$

i jednocześnie $\varepsilon \leq r_1$

czyli aby warunek 23 był spełniony

$$\varepsilon < \min \left\{ \frac{r_2}{M}, r_1 \right\}.$$

Warunek 24. Chcemy aby P było zwężające, czyli:

$$\forall_{g_1, g_2 \in E} P(g_1) - P(g_2) \leq q \|g_1 - g_2\|.$$

Zatem:

$$\begin{aligned} \|P(g_1) - P(g_2)\| &= \sup_{t_0 - \varepsilon \leq t \leq t_0 + \varepsilon} \|x_0 + \int_{t_0}^t f(s, g_1(s)) ds - (x_0 + \int_{t_0}^t f(s, g_2(s)) ds)\| = . \\ \sup_{t_0 - \varepsilon \leq t \leq t_0 + \varepsilon} \left\| \int_{t_0}^t f(s, g_1(s)) - f(s, g_2(s)) ds \right\| &\leq \sup_{t_0 - \varepsilon \leq t \leq t_0 + \varepsilon} \int_{t_0}^t \|f(s, g_1(s)) - f(s, g_2(s))\| ds \leq . \\ \sup_{t_0 - \varepsilon \leq t \leq t_0 + \varepsilon} \int_{t_0}^t L \|g_1 - g_2\| &= \varepsilon L \|g_1 - g_2\| \quad \begin{matrix} \in E \\ \|g_1 - g_2\| < 2r_2 \end{matrix} . \end{aligned}$$

Zatem, jeżeli P ma być zwężające na E , to $\varepsilon L < 1$, czyli $\varepsilon < \frac{1}{L}$ i $g \in E$

Zatem, aby istniało rozwiązanie jednoznaczne problemu 21

$$\varepsilon < \min \left\{ \frac{r_2}{M}, r_1, \frac{1}{L} \right\} \quad \square.$$

Do pełnego dowodu brakuje nam ciągłości rozwiązania ze względu na zmiany x_0

Lemat:

niech A, X - przestrzenie metryczne, $P_a(x), a \in A, x \in X$ - odwzorowanie zwężające i ciągłe ze

względem na $a \in A$

Niech $\tilde{x}(a)$ taki, że $P(\tilde{x}(a)) = \tilde{x}(a)$. Zwróćmy uwagę, to znaczy, że

$$\forall_{a \in A} \cdot \forall_{x, x'} \cdot \|P_a(x) - P_a(x')\| \leq q \|x - x'\|.$$

Wówczas funkcja $\tilde{x}(a)$ jest ciągła na A .

Uwaga 3 Odwzorowanie $P(g)$ wygląda tak:

$$P(g(t)) = x_0 + \int_{t_0}^t f(s, g(s)) ds.$$

Więc rolę parametru a pełnią x_0, t_0 i $P(g(t))$ jest ciągłe ze względu na x_0 i t_0 .

12 Wykład (05.04.2019)

Ostatnio zastanawialiśmy się nad taką sytuacją, że mieliśmy operator $P_a(x)$ i on miał być zwężający.

$$P_a(x) : X \rightarrow X \text{ - zwężający .}$$

$$c \in X : \{c, P_a(c), P_a(P_a(c)) \rightarrow \tilde{x}(a)\}, \text{ gdzie } P(\tilde{x}(a)) = \tilde{x}(a).$$

Dowód 16 *Chcemy pokazać, że*

$$\forall_{\varepsilon > 0} \cdot \exists_{\delta > 0} \cdot \forall_{a'} \cdot d(a, a') < \delta \implies d(\tilde{x}(a), \tilde{x}(a')) < \varepsilon.$$

Wiemy, że P_a - ciągła ze względu na a :

$$\forall_{\varepsilon_1 > 0} \cdot \exists_{\delta_1 > 0} \cdot \forall_{a'} \cdot d(a, a') < \delta_1 \implies d(P_a, P_{a'}) < \varepsilon \quad (25)$$

Wiemy, że $\forall_{c' \in X}$ ciąg $\{c', P_{a'}(c'), P_{a'}(P_{a'}(c')) \dots\} \rightarrow \tilde{x}(a')$ Ale, jeżeli przyjmiemy za $c = \tilde{x}(a')$, to ciąg:

$$\{\tilde{x}(a'), P_a(\tilde{x}(a')), P_a(P_a(\tilde{x}(a')))\} \rightarrow \tilde{x}(a).$$

Ale z zasady banacha wiemy, że jeżeli P_a - zwężający, to

$$d(\tilde{x}(a), x_0) \leq \frac{1}{1-q} d(x_1, x_0).$$

Wyberzmy $x_0 = \tilde{x}(a')$. Wówczas

$$\begin{aligned} d(\tilde{x}(a), \tilde{x}(a')) &\leq \frac{1}{1-q} d(P_a(\tilde{x}(a')), \tilde{x}(a')) = \\ &= \frac{1}{1-q} d(P_a(\tilde{x}(a')), P_{a'}(\tilde{x}(a'))). \end{aligned}$$

Pytanie 11 *Jak ten obiekt ma się do $d(P_a, P_{a'})$?*

$$d(P_a, P_{a'}) = \sup_{x \in X} d(P_a(x), P_{a'}(x)).$$

Więc, jeżeli $d(P_{a'}, P_a) < \varepsilon_1$, to znaczy, że $d(P_a(\tilde{x}(a')), P_{a'}(\tilde{x}(a'))) < \varepsilon_1$

$$\text{Czyli } d(\tilde{x}(a), \tilde{x}(a')) \leq \frac{1}{1-q} \varepsilon_1.$$

Czyli jeżeli otrzymamy ε_1 , to biorąc ε_1 taki, że $\varepsilon_1 \frac{1}{1-q} < \varepsilon$ i znajdujemy δ_1 z zależności 25 i wiemy, że jeżeli

$$d(a', a) < \delta_1 \implies d(\tilde{x}(a'), \tilde{x}(a)) < \varepsilon \quad \square.$$

Przykład 24 *(odwzorowanie zwężające)*

$$\int \frac{dx(t)}{dt} = f(t, x), x(t_0) = x_0.$$

Wiemy, że $x(t)$ jest punktem stałym odwzorowania

$$P(g) = x_0 + \int_{t_0}^t f(s, g(s)) ds \implies g_0, P(g_0), P(P(g_0)) \dots \rightarrow x(t).$$

$$\frac{dx}{dt} = t + x, x(0) = 0.$$

$$f(t, x) = t + x, t_0 = 0, x_0 = 0.$$

Czy f jest lipszycowalna?

$$\forall_{t \in [a, b]} \|t + x - (t + x')\| = \|x - x'\| = 1 \|x - x'\| \implies L = 1.$$

Czyli jest. Policzmy kilka wyrazów ciągu

$$g_0, P(g_0), P(P(g_0)), \dots$$

$$x^0(t) = x_0(t) = 0$$

$$x^1(t) = P(x^0(t)) = P(0) = 0 + \int_0^t f(s, x^0(s)) ds = \int_0^t s ds = \frac{t^2}{2}$$

$$x^2(t) = P(x^1(t)) = P\left(\frac{t^2}{2}\right) = 0 + \int_0^t f(s, x^1(s)) ds = \int_0^t \left(s + \frac{s^2}{2}\right) ds = \frac{t^2}{2} + \frac{t^3}{2 \times 3}$$

$$x^3(t) = P(x^2(t)) = 0 + \int_0^t \left(s + \frac{s^2}{2} + \frac{s^3}{2 \times 3}\right) ds = \frac{t^2}{2} + \frac{t^3}{2 \times 3} + \frac{t^4}{2 \times 3 \times 4}$$

\vdots

$\vdots \rightarrow \infty$

$$e^t - t - 1.$$

Przykład 25 $\frac{dx}{dt} = 2tx, \quad x(0) = 1, \text{ czyli } f(t, x) = 2tx, \quad t_0 = 0$
 dla $\forall_{t \in [a, b]}$

$$\|2tx - 2tx'\| \leq \sup_{t \in [a, b]} |t| 2 \|x - x'\|.$$

Czyli f - lipszycowalna z $L = \sup_{t \in [a, b]} |t| \times 2$

$$x^0(t) = 1$$

$$x^1(t) = P(x^0(t)) = 1 + \int_0^t f(s, 1) ds = 1 + \int_0^t 2s ds = 1 + t^2$$

$$x^2(t) = P(x^1(t)) = 1 + \int_0^t 2s(1 + s^2) ds = 1 + t^2 + \frac{t^4}{2}$$

$$x^3(t) = P(x^2(t)) = 1 + \int_0^t 2s\left(1 + s^2 + \frac{s^4}{2}\right) ds = 1 + t^2 + \frac{t^4}{2} + \frac{t^6}{3}$$

$\vdots \rightarrow \infty$

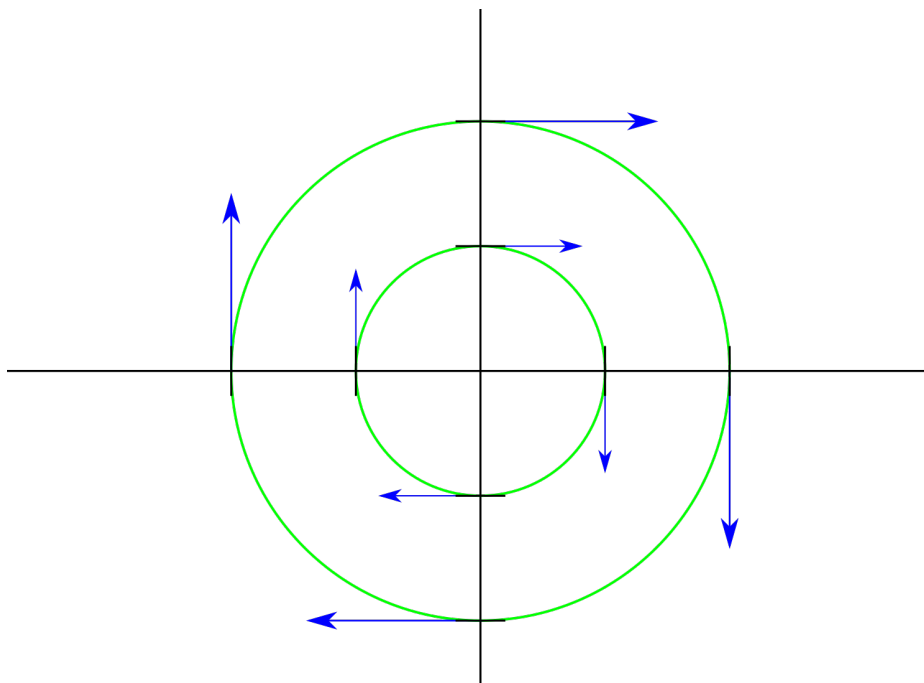
$$e^{t^2}.$$

Przykład 26

$$\frac{d}{dt} \begin{bmatrix} x_1(t) \\ x_2(t) \end{bmatrix} = \begin{bmatrix} x_2(t) \\ -x_1(t) \end{bmatrix}, x_1(0) = 0, x_2(0) = 1.$$

$$f(t, x) = f\left(t, \begin{bmatrix} x_1 \\ x_2 \end{bmatrix}\right) = \begin{bmatrix} 0 & 1 \\ -1 & 0 \end{bmatrix} \begin{bmatrix} x_1 \\ x_2 \end{bmatrix}.$$

$$\begin{aligned}
x^0(t) &= \begin{bmatrix} x_1^0(t) \\ x_2^0(t) \end{bmatrix} = \begin{bmatrix} 0 \\ 1 \end{bmatrix} \\
x^1(t) &= P(x^0(t)) = \begin{bmatrix} 0 \\ 1 \end{bmatrix} + \int_0^t \begin{bmatrix} 1 \\ -0 \end{bmatrix} ds = \begin{bmatrix} 0 \\ 1 \end{bmatrix} + \begin{bmatrix} t \\ 0 \end{bmatrix} = \begin{bmatrix} t \\ 1 \end{bmatrix} \\
x^2(t) &= P\left(\begin{bmatrix} x_1^1 \\ x_2^1 \end{bmatrix}\right) = P\left(\begin{bmatrix} t \\ 1 \end{bmatrix}\right) = \begin{bmatrix} 0 \\ 1 \end{bmatrix} + \int_0^1 \begin{bmatrix} 1 \\ -s \end{bmatrix} ds = \begin{bmatrix} 0 \\ 1 \end{bmatrix} + \begin{bmatrix} t \\ -\frac{t^2}{2} \end{bmatrix} = \begin{bmatrix} t \\ 1 - \frac{t^2}{2} \end{bmatrix} \\
x^3 &= P\left(\begin{bmatrix} x_1^2 \\ x_2^2 \end{bmatrix}\right) = P\left(\begin{bmatrix} t \\ 1 - \frac{t^2}{2} \end{bmatrix}\right) = \begin{bmatrix} 0 \\ 1 \end{bmatrix} + \int_0^t \begin{bmatrix} 1 - \frac{s^2}{2} \\ -s \end{bmatrix} ds = \begin{bmatrix} t - \frac{t^3}{6} \\ 1 - \frac{t^2}{2} \end{bmatrix} \\
&\vdots \rightarrow \infty \\
&\begin{bmatrix} \sin t \\ \cos t \end{bmatrix}.
\end{aligned}$$



Rysunek 27

Twierdzenie 13 *Jeżeli odwzorowania*

$$t \in [a, b] \rightarrow A(t)$$

$$t \in [a, b] \rightarrow b(t).$$

Gdzie $A(t) \in L(x, x), b(t) : \mathbb{R}^1 \rightarrow X$ są ciągłe, to równanie

$$\frac{d}{dt}x(t) = A(t)x(t) + b(t), \quad x(t_0) = x_0.$$

Ma dla dowolnych $t_0 \in [a, b]$, $x_0 \in X$ jednoznacznie określone rozwiązanie na $t \in]a, b[$.
 Czym to się różni od twierdzenia o jednoznaczności warunku Cauchy? Nie ma tutaj mowy o
 żadnej lipszycowalności. Zawężono za to klasę funkcji występującej w równaniu. Zamiast $]t_0 -$
 $\varepsilon, t_0 + \varepsilon[\times \mathcal{O}$, mamy $]a, b[\times X$

Dowód 17 Chcemy sprawdzić, czy $f(t, x) = A(t)x(t) + b(t)$ spełnia warunek Lipschitza. Wiemy, że $A(t)$ i $b(t)$ są ciągle na przedziale domkniętym $[a, b]$. Zatem, istnieje $\sup_{t \in [a, b]} \|b(t)\| = C$, a $A : X \rightarrow X$ i A jest liniowe zatem istnieje norma tego odwzorowania

$$\sup_{t \in [a, b]} \|A(t)\| = L.$$

Zatem

$$\forall_{t \in [a, b]} \|A(t)x + b(t) - (A(t)x' + b(t))\| = \|A(t)(x - x')\| \leq \sup_{t \in [a, b]} \|A(t)\| \|x - x'\| = L\|x - x'\|.$$

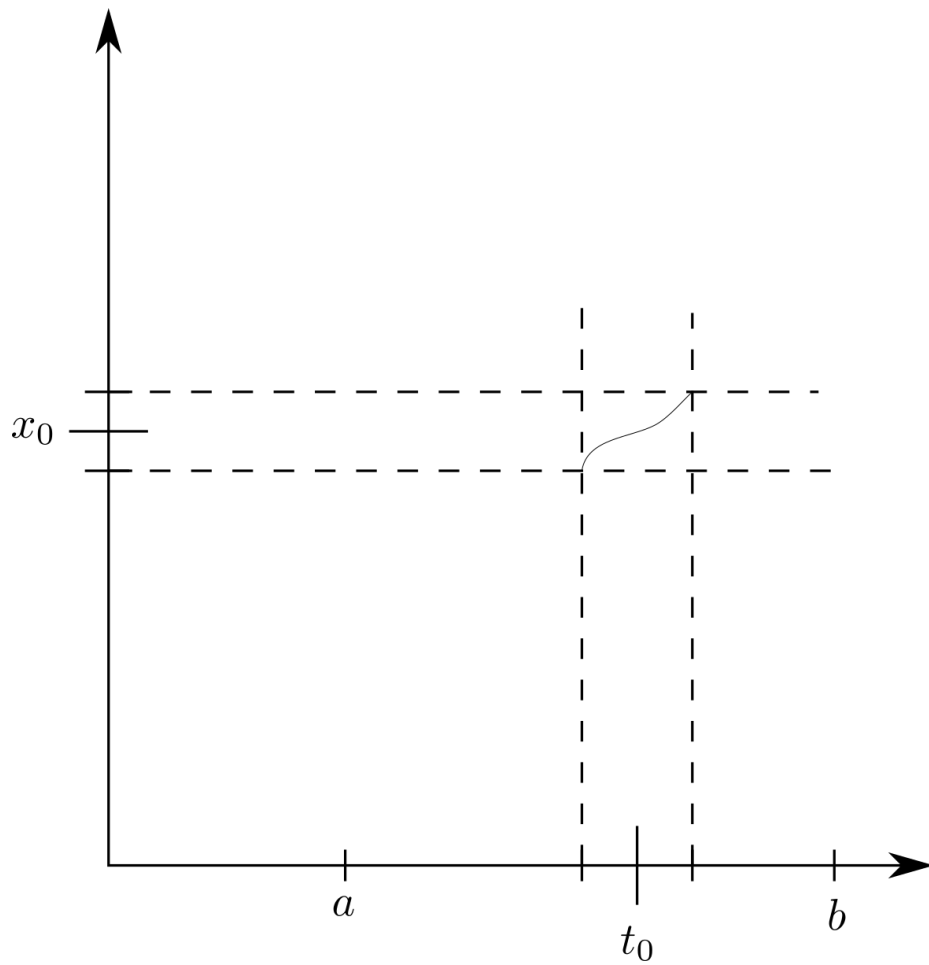
Z twierdzenia o jednoznaczności wiemy, że istnieją przedziały $]t_0 - \varepsilon, t_0 + \varepsilon[$ oraz $\mathcal{O} = K(x_0, r_2)$ takie, że dla

$$\varepsilon = \min \left\{ |a - t_0|, r_1, \frac{r_2}{M}, |b - t_0|, \frac{1}{L} \right\} \quad (26)$$

Gdzie r_1, r_2 były takie, że na zbiorze $K(t_0, r_1) \times K(x_0, r_2)$ funkcja $f(t, x)$ była ograniczona. Zależy nam na tym, aby w warunku 26 wyeliminować r_2

Ale $\|A(t)x + b(t)\| \leq \|A(t)x\| + \|b(t)\|$ dla $x \in K(x_0, r_2)$

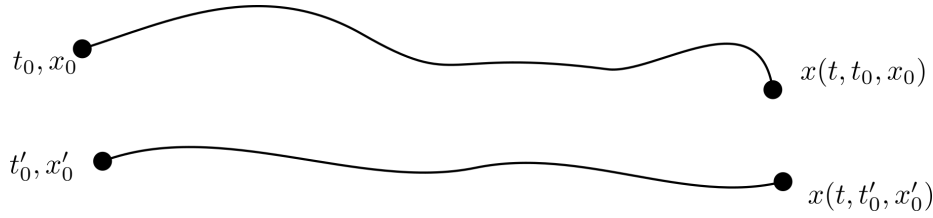
$$\begin{aligned} &= \|A(t)x\| + C \leq L\|x\| + C = \\ &= L\|x - x_0 + x_0\| + C \leq \\ &\leq L\|x - x_0\| + L\|x_0\| + C \leq \\ &\leq Lr_2 + L\|x_0\| + C. \end{aligned}$$



Rysunek 28: Czego byśmy chcieli.

13 Wykład (09.04.2019)

$\varepsilon = \min \left\{ |t_0 - a|, |t_0 - b|, \frac{1}{L}, \frac{r_2}{M} \right\}$
 $]t_0 - \varepsilon, t_0 + \varepsilon[$ Chcielibyśmy, żeby ε nie zależał od punktu w którym zaczniemy. Rys. 28



Rysunek 29: Mała zmiana może dać rozwiązanie w podobnym miejscu ale nie musi

$$\begin{aligned}
\|A(t)x(t) + b(t)\| &\leq L(\|x_0\| + r_2) + c \\
\frac{r_2}{M} &\geq \frac{r_2}{L(\|x_0\| + r_2) + c} = \\
&\text{Położmy } r_2 = \|x_0\| + c \\
&= \frac{\|x_0\| + c}{L(\|x_0\| + \|x_0\| + c) + c} = \\
\frac{\|x_0\| + c}{L(2\|x_0\| + c) + c} &\geq \frac{\|x_0\| + c}{L(2\|x_0\| + c + c) + c + \|x_0\|} = \\
&\frac{1}{2L + 1}, \text{ zatem} \\
\varepsilon &= \min \left\{ |t_0 - a|, |t_0 - b|, \frac{1}{L}, \frac{1}{2L + 1} \right\}.
\end{aligned}$$

(r_1 - pomijamy, bo $A(t)$ - ciągła na $[a, b]$.) Oznacza to, że wartość ε nie zależy od x , zatem rozwiązanie początkowo określone na $|t_0 - \varepsilon, t_0 + \varepsilon| \times K(x_0, r_2)$ możemy przedłużyć do określonego na całym $[a, b] \times X$!

Definicja 13 *Rezolwenta*

Rozwiązaniem problemu

$$\begin{aligned}
\frac{dx}{dt} &= A(t)x(t) + b(t) \\
x(t_0) &= x_0.
\end{aligned}$$

jest funkcja $x(t, t_0, x_0)$

Pytanie 12 *Czy istnieje*

$$R(t, t_0) : \mathbb{R}^n \rightarrow \mathbb{R}^n.$$

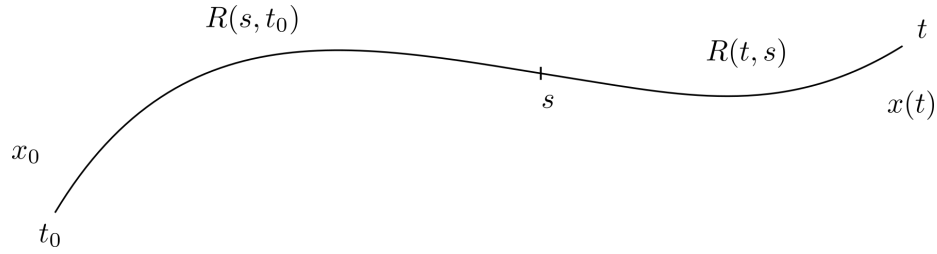
Takie, że

$$x(t) = R(t, t_0)x_0?.$$

(Jeżeli $x_0, x(t) \in \mathbb{R}^n$)

Pytanie 13 *Jakie własności $R(t, t_0)$ powinno posiadać?*

- $R(t, t_0) : \mathbb{R}^n \rightarrow \mathbb{R}^n$, R - liniowy
Bo jeżeli $x_1(t), x_1(t_0) = x_0^1$ i $x_2(t), x_2(t_0) = x_0^2$ są rozwiązaniem, to chcielibyśmy, by $x_1(t) + x_2(t)$ też było rozwiązaniem z wartością początkową $x_0^1 + x_0^2$. Rys 30



Rysunek 30: Jak pośpiemy minutę dłużej to nic się nie stanie (świat jest ciągły)

- funkcja $R(t, t_0)$
- $R(t, t_0) = R(t, s)R(s, t_0)$
 $\forall t, t_0, s \in \mathcal{O} \subset \mathbb{R}$
- $R(t_0, t_0) = \mathbb{I}$, bo $x(t) = R(t, t_0)x_0$
 $\forall t_0 \in \mathcal{O}$
 Ad 3. Wstawiając t_0 do trzeciej kropki otrzymujemy $R(t_0, t_0) = R(t_0, s)R(s, t_0) \rightarrow \forall_{t, s \in \mathcal{O}} R(s, t) = R(t, s)^{-1}$
-

$$\begin{aligned} \frac{dR(t, t_0)}{dt} &= A(t)R(t, t_0), \\ R(t_0, t_0) &= \mathbb{I}. \end{aligned}$$

bo wtedy $x(t) = R(t, t_0)x_0$ jest rozwiązaniem problemu

$$\begin{aligned} \frac{dx}{dt} &= A(t)x(t) \\ x(t_0) &= x_0. \end{aligned}$$

bo $\frac{dx}{dt} = \frac{d}{dt}(R(t, t_0)x_0) = A(t)R(t, t_0)x_0 = A(t)x(t)$ i $x(t_0) = R(t_0, t_0)x_0 = \mathbb{I}x_0 = x_0$

Zatem na mocy twierdzenia o jednoznaczności rozwiązań wiemy, że założenie $x(t) = R(t, t_0)x_0$ da nam jednoznaczne rozwiązanie.

Pytanie 14 *A co z $b(t)$? (ten wektorek co by to był, ale go nie ma)*

Chcemy rozwiązać problem

$$\begin{aligned} \frac{dx}{dt} &= A(t)x(t) + b(t) \\ x(t_0) &= x_0. \end{aligned}$$

Założmy, że rozwiązanie tego problemu możemy przedstawić jako

$$x(t) = R(t, t_0)C(t), C(t) : \mathbb{R} \rightarrow \mathbb{R}^n.$$

Ale

$$\frac{d}{dt}x(t) = \frac{d}{dt}(R(t, t_0)c(t)) = \frac{dR(t, t_0)}{dt}c(t) + R(t, t_0)\frac{dc}{dt} = A(t)R(t, t_0)c(t) + R(t, t_0)\frac{dc}{dt}.$$

Zatem mogę napisać, że

$$A(t)R(t, t_0)c(t) + R(t, t_0)\frac{dc}{dt} = A(t)R(t, t_0)c(t) + b(t).$$

(cudowne skrócenie)

$$R(t, t_0)\frac{dc}{dt} = b(t) \quad / R(t, t_0)^{-1}.$$

$$\frac{dc}{dt} = R(t, t_0)^{-1}b(t).$$

$$\frac{dc}{dt} = R(t, t_0)b(t).$$

$$c(t) - \alpha = \int_{t_0}^t R(t_0, s)b(s)ds, \alpha \in \mathbb{R}.$$

Ale $c(t_0) = x_0$, więc $\alpha = x_0$.

$$c(t) = x_0 + \int_{t_0}^t R(t_0, s)b(s)ds.$$

Zatem

$$x(t) = R(t, t_0)c(t) = R(t, t_0) \left(x_0 + \int_{t_0}^t R(t_0, s)b(s)ds \right) = .$$

$$R(t, t_0)x_0 + R(t, t_0) \int_{t_0}^t R(t_0, s)b(s)ds = .$$

$$R(t, t_0)x_0 + \int_{t_0}^t \underset{R(t, s)}{R(t, t_0)R(t_0, s)}b(s)ds.$$

Zatem rozwiązanie problemu wygląda tak:

$$x(t) = R(t, t_0)x_0 + \int_{t_0}^t R(t, s)b(s)ds.$$

dygresja:

dają nam rozkład gęstości masy $\rho(x')$. Jak wygląda potencjał?

$$\varphi(x) = \int \frac{\rho(x')dv'}{\|x - x'\|}.$$

W tym przypadku rezolwenta to $\frac{1}{\|x - x'\|}$

Pytanie 15 Czy rezolwenta istnieje?

Funkcja $R(t, t_0) = e^{\int_{t_0}^t A(s)ds}$ spełnia warunki 1 – 5 dla rezolwenty

- $R(t, t_0) : \mathbb{R}^n \rightarrow \mathbb{R}^n$
- $R(t, t_0)$ - jest ciągła względem t i t_0
- $R(t, \alpha)R(\alpha, t_0) = R(t, t_0)$, bo $e^{\int_{t_0}^t A(s)ds} = e^{\int_{t_0}^{\alpha} A(s)ds + \int_{\alpha}^t A(s)ds}$
 $R(t, t_0) = R(t, \alpha)R(\alpha, t_0)$

- $R(t_0, t_0) = e^{\int_{t_0}^{t_0} A(s)ds} = \mathbb{I}$

- $\frac{dR}{dt} = A(t)R(t, t_0)$

Dowód:

$$\frac{R(t+h, t_0) - R(t, t_0)}{h} = \frac{1}{h} \left(e^{\int_{t_0}^{t+h} A(s)ds} - e^{\int_{t_0}^t A(s)ds} \right) = .$$

$$= \frac{1}{h} \left[e^{\int_{t_0}^{t+h} A(s)ds} e^{\int_{t_0}^t A(s)ds} - e^{\int_{t_0}^t A(s)ds} \right] = .$$

$$\frac{1}{h} \left[e^{\int_t^{t+h} A(s)ds} - \mathbb{I} \right] e^{\int_{t_0}^t A(s)ds} - \frac{1}{h} \left[e^{hA(\beta) - \mathbb{I}} \right] R(t, t_0) = .$$

$$\frac{1}{h} \left[\mathbb{I} + \frac{hA(\beta)}{1} + \frac{(hA(\beta))^2}{2!} + \dots = \mathbb{I} \right] R(t, t_0) = .$$

$$A(\beta)R(t, t_0) + h[\dots] \rightarrow A(t)R(t, t_0).$$

$t < \beta < t+h$

$$((((\int_t^{t+h} A(s)ds = (t+h-t)A(\beta))))))$$

Przykład 27

$$\frac{d}{dt} \begin{bmatrix} x(t) \\ p(t) \end{bmatrix} = \begin{bmatrix} 1 & 0 \\ 0 & -1 \end{bmatrix} \begin{bmatrix} x(t) \\ p(t) \end{bmatrix}, \begin{bmatrix} x(0) \\ p(0) \end{bmatrix} = \begin{bmatrix} x_0 \\ p_0 \end{bmatrix}.$$

$$\begin{bmatrix} x(t) \\ p(t) \end{bmatrix} e^{\int_0^t \begin{bmatrix} 1 & 0 \\ 0 & -1 \end{bmatrix} ds} \begin{bmatrix} x_0 \\ p_0 \end{bmatrix} = e^{\int_0^t \begin{bmatrix} 1 & 0 \\ 0 & -1 \end{bmatrix} ds} \begin{bmatrix} x_0 \\ p_0 \end{bmatrix}.$$

14 Wykład (07.05.2019)

Przykład 28

$$\frac{d}{dt} \begin{bmatrix} x(t) \\ p(t) \end{bmatrix} = \begin{bmatrix} 1 & 0 \\ 0 & -1 \end{bmatrix} \begin{bmatrix} x(t) \\ p(t) \end{bmatrix}, \quad \begin{bmatrix} x(t=0) \\ p(t=0) \end{bmatrix} = \begin{bmatrix} x_0 \\ p_0 \end{bmatrix}.$$

$$\begin{bmatrix} x(t) \\ p(t) \end{bmatrix} = e^{(t-0)} \begin{bmatrix} 1 & 0 \\ 0 & -1 \end{bmatrix} \begin{bmatrix} x_0 \\ p_0 \end{bmatrix}.$$

$$A = \begin{bmatrix} 1 & 0 \\ 0 & -1 \end{bmatrix}.$$

$$w(\lambda) = \det \begin{bmatrix} 1-\lambda & 0 \\ 0 & -1-\lambda \end{bmatrix} = -(1-\lambda)(1+\lambda) = -(1-\lambda^2) = 0 \iff \lambda_1 = 1, \lambda_2 = -1.$$

$$f(\lambda) = e^{\lambda t}, f(\lambda) = q(\lambda)w(\lambda) + a\lambda + b.$$

$$f(-1) = -a + b, f(1) = a + b.$$

$$b = \frac{f(-1) + f(1)}{2} = \frac{e^{-t} + e^t}{2}, a = \frac{f(1) - f(-1)}{2} = \frac{e^t - e^{-t}}{2}.$$

$$\begin{bmatrix} x(t) \\ p(t) \end{bmatrix} = \underbrace{\left(\frac{e^t - e^{-t}}{2} \begin{bmatrix} 1 & 0 \\ 0 & -1 \end{bmatrix} + \frac{e^t + e^{-t}}{2} \begin{bmatrix} 1 & 0 \\ 0 & 1 \end{bmatrix} \right)}_{R(t, t_0)} \begin{bmatrix} x_0 \\ p_0 \end{bmatrix}.$$

Pytanie 16 Czy można znaleźć rozwiązanie bez liczenia $R(t, t_0)$?

Obserwacja 5 Załóżmy, że macierz $A : \mathbb{R}^n \rightarrow \mathbb{R}^n$ ma n różnych wartości własnych.

$$\begin{array}{ll} \lambda_1, & \lambda_2, \lambda_3, \dots \\ v_1, & v_2, v_3, \dots \end{array}$$

Obserwacja 6 Jeśli $v \in \ker(A - \lambda \mathbb{I})$, to znaczy, że

$$\begin{aligned} Av &= \lambda v \\ A^2 v &= \lambda^2 v \\ A^n v &= \lambda^n v \\ e^A v &= e^{\lambda t} v. \end{aligned}$$

Jeżeli zatem przedstawimy warunek początkowy jako sumę:

$$\begin{aligned} \overline{x_0} &= x'_0 + x_0^2 + \dots + x_0^n \\ e^{A(t-t_0)} \overline{x_0} &= \sum_{i=1}^n e^{A(t-t_0)} x_0^i = \sum_{i=1}^n e^{\lambda_i(t-t_0)} x_0^i \end{aligned}$$

Obserwacja 7 najogólniejsza postać λ_j (pierwiastki równania $w(\lambda) = 0$) to

$$\lambda_j = a_j + ib_j.$$

Zatem dowolne rozwiązanie problemu jednorodnego przy n różnych wartościach własnych może być jedynie kombinacją funkcji typu

$$\cos(bt), \quad \sin(bt), \quad e^{at}, \quad ch(at), \quad sh(at), \quad e^{at} \sin(bt), \quad e^{at} \cos(bt).$$

I niewiele więcej.

$$\begin{aligned} \ddot{x} + a\dot{x} + \omega^2 x &= 0 \\ \dot{x} &= p \\ \dot{p} = \ddot{x} &= -a\dot{x} - \omega^2 x \\ \frac{d}{dt} \begin{bmatrix} x \\ p \end{bmatrix} &= \begin{bmatrix} 0 & 1 \\ -\omega^2 & -a \end{bmatrix} \begin{bmatrix} x \\ p \end{bmatrix}. \end{aligned}$$

Założmy, że macierz $A \in M_n^n$ ma k różnych wartości własnych i A nie zależy od czasu

$$\begin{aligned} \lambda_1 &\rightarrow n_1 \\ \lambda_2 &\rightarrow n_2 \\ &\vdots \\ \lambda_k &\rightarrow n_k - V_k = \ker(A - \lambda_k \mathbb{I})^{n_k}. \end{aligned}$$

(gdzie $n_1 + n_2 + \dots + n_k = n$)

$$\mathbb{R}^n = V_{\lambda_1} \oplus V_{\lambda_2} \oplus \dots \oplus V_{\lambda_k}.$$

i teraz rozkładamy warunek początkowy:

$$x_0 = \underset{V_{\lambda_1}}{x_0^1} + \underset{V_{\lambda_2}}{x_0^2} + \dots + x_0^k.$$

Wówczas

$$\begin{aligned} x(t) &= e^{A(t-t_0)} x_0 = \sum_{i=1}^k e^{A(t-t_0)} x_0^i = \sum_{i=1}^k e^{\lambda_i(t-t_0)\mathbb{I} + A(t-t_0) - \lambda_i\mathbb{I}(t-t_0)} x_0^i = \\ &= \sum_{i=1}^k e^{\lambda_i(t-t_0)\mathbb{I}} e^{(A - \lambda_i\mathbb{I})(t-t_0)} x_0^i = \\ &= \sum_{i=1}^k e^{\lambda_i(t-t_0)\mathbb{I}} \left(\sum_{j=0}^{\infty} \frac{(t-t_0)^j (A - \lambda_i\mathbb{I})^j}{j!} x_0^i \right) \\ \text{ale } x_0^i &\in \ker(A - \lambda_i\mathbb{I}^{n_i}) = \lambda_i = \\ &= \sum_{i=1}^k e^{\lambda_i(t-t_0)\mathbb{I}} \left(\sum_{j=0}^{n-1} \frac{(t-t_0)^j}{j!} (A - \lambda_i\mathbb{I})^j \right) x_0^i. \end{aligned}$$

Przykład 29 *Rozwiązać równanie:*

$$\frac{dx_1}{dt} = x_1 + x_2 + 2x_3$$

$$\frac{dx_2}{dt} = x_2 + x_3$$

$$\frac{dx_3}{dt} = 2x_3$$

$$\begin{bmatrix} x_1 \\ x_2 \\ x_3 \end{bmatrix} = \begin{bmatrix} 1 \\ 2 \\ 1 \end{bmatrix}.$$

$$A = \begin{bmatrix} 1 & 1 & 2 \\ 0 & 1 & 1 \\ 0 & 0 & 2 \end{bmatrix}, w(\lambda) = \det \left(\begin{bmatrix} 1-\lambda & 1 & 2 \\ 0 & 1-\lambda & 1 \\ 0 & 0 & 2-\lambda \end{bmatrix} \right).$$

$$w(\lambda) = (2-\lambda)(1-\lambda)^2.$$

$$\lambda_1 = 1, n_1 = 2$$

$$\lambda_2 = 2, n_2 = 1.$$

$$\ker(A - \lambda_2 \mathbb{I}).$$

$$\begin{bmatrix} 1-2 & 1 & 2 \\ 0 & 1-2 & 1 \\ 0 & 0 & 2-2 \end{bmatrix} \begin{bmatrix} a \\ b \\ c \end{bmatrix} = \begin{bmatrix} 0 \\ 0 \\ 0 \end{bmatrix}$$

$$\begin{bmatrix} -1 & 1 & 2 \\ 0 & -1 & 1 \\ 0 & 0 & 0 \end{bmatrix} \begin{bmatrix} a \\ b \\ c \end{bmatrix} = 0$$

$$-a + b + 2c = 0$$

$$-b + c = 0$$

$$c = b$$

$$-a - b + 2b = 0$$

$$a = 3b$$

$$v \in V_{\lambda_2} \iff v = \begin{bmatrix} 3b \\ b \\ b \end{bmatrix} = b \begin{bmatrix} 3 \\ 1 \\ 1 \end{bmatrix}, V_{\lambda_2} = \left\langle \begin{bmatrix} 3 \\ 1 \\ 1 \end{bmatrix} \right\rangle$$

$$V_{\lambda_1} = \ker(A - \lambda_1 \mathbb{I})^2$$

$$\begin{bmatrix} 1-1 & 1 & 2 \\ 0 & 1-1 & 1 \\ 0 & 0 & 2-1 \end{bmatrix}^2 = \begin{bmatrix} 0 & 1 & 2 \\ 0 & 0 & 1 \\ 0 & 0 & 1 \end{bmatrix} \begin{bmatrix} 0 & 1 & 2 \\ 0 & 0 & 1 \\ 0 & 0 & 1 \end{bmatrix} =$$

$$= \begin{bmatrix} 0 & 0 & 3 \\ 0 & 0 & 1 \\ 0 & 0 & 1 \end{bmatrix}$$

$$\begin{bmatrix} 0 & 0 & 3 \\ 0 & 0 & 1 \\ 0 & 0 & 1 \end{bmatrix} \begin{bmatrix} a \\ b \\ c \end{bmatrix} = \begin{bmatrix} 0 \\ 0 \\ 0 \end{bmatrix}$$

$$c = 0, v \in V_{\lambda_1} \iff v = \begin{bmatrix} a \\ b \\ c \end{bmatrix} = a \begin{bmatrix} 1 \\ 0 \\ 0 \end{bmatrix} + b \begin{bmatrix} 0 \\ 1 \\ 0 \end{bmatrix}$$

$$V_{\lambda_1} = \left\langle \begin{bmatrix} 1 \\ 0 \\ 0 \end{bmatrix}, \begin{bmatrix} 0 \\ 1 \\ 0 \end{bmatrix} \right\rangle$$

$$\begin{bmatrix} 1 \\ 2 \\ 1 \end{bmatrix} = x_0^1 \in V_{\lambda_1} + x_0^2 \in V_{\lambda_2}$$

$$\begin{bmatrix} 1 \\ 2 \\ 1 \end{bmatrix} = (-2) \begin{bmatrix} 1 \\ 0 \\ 0 \end{bmatrix} + 1 \begin{bmatrix} 0 \\ 1 \\ 0 \end{bmatrix} +$$

$$\begin{bmatrix} 1 \\ 2 \\ 1 \end{bmatrix} = \begin{bmatrix} -2 \\ 0 \\ 0 \end{bmatrix} + \begin{bmatrix} 0 \\ 1 \\ 0 \end{bmatrix} + \begin{bmatrix} 3 \\ 1 \\ 1 \end{bmatrix}$$

$$\sum_{i=1}^k e^{\lambda_i(t-t_0)\mathbb{I}} \left(\sum_{j=0}^{n-1} \frac{(t-t_0)^j}{j!} (A - \lambda_i \mathbb{I})^j \right) x_0^i =$$

$$= e^{\lambda_1(t)\mathbb{I}} \left(\sum_{j=0}^{2-1} \frac{t^j}{j!} (A - \lambda_1)^j \right) x_0^1 + e^{\lambda_2 t \mathbb{I}} (\mathbb{I}) x_0^2 =$$

$$= \begin{bmatrix} x_1(t) \\ x_2(t) \\ x_3(t) \end{bmatrix} = e^t \begin{bmatrix} 1 & 0 & 0 \\ 0 & 1 & 0 \\ 0 & 0 & 1 \end{bmatrix} \left(\begin{bmatrix} 1 & 0 & 0 \\ 0 & 1 & 0 \\ 0 & 0 & 1 \end{bmatrix} + \frac{t^1}{1!} \begin{bmatrix} 1-1 & 1 & 2 \\ 0 & 1-1 & 1 \\ 0 & 0 & 2-1 \end{bmatrix} \right) \begin{bmatrix} -2 \\ 1 \\ 0 \end{bmatrix} + e^{2t\mathbb{I}} \begin{bmatrix} 3 \\ 1 \\ 1 \end{bmatrix} =$$

$$= e^t(a + bt) + e^{2t} + C.$$

14.1 Baza rozwiązań

Obserwacja 8 Jeżeli $x(t) = R(t, t_0)x_0$ i $R(t, t_0) \in M_n^n$, to znaczy, że

$$x(t) = \begin{bmatrix} | & | & | & | & | \\ | & | & | & | & | \\ | & | & | & | & | \end{bmatrix} \begin{bmatrix} x_0^1 \\ \vdots \\ x_0^n \end{bmatrix} = x_0^1 \begin{bmatrix} | \\ | \\ | \end{bmatrix} + x_0^2 \begin{bmatrix} | \\ | \\ | \end{bmatrix} + \dots + x_0^n \begin{bmatrix} | \\ | \\ | \end{bmatrix}.$$

Pytanie 17 Czy $\det(R(t, t_0)) \neq 0$?

Jeżeli tak, to kolumny $R(t, t_0)$ możemy potraktować jako wektory rozpinające przestrzeń rozwiązań i $\det R(t, t_0) \neq 0 \quad \forall_{t \in [a, b]}$.

W bazie wektorów własnych macierz e^{At} wygląda tak (zakładamy n wartości własnych):

$$\det \begin{bmatrix} e^{\lambda_1 t} & \dots & 0 \\ \vdots & \ddots & \vdots \\ 0 & \dots & e^{\lambda_n t} \end{bmatrix} = e^{t(\lambda_1 + \dots + \lambda_n)} = e^{t \operatorname{Tr} A} \neq 0.$$

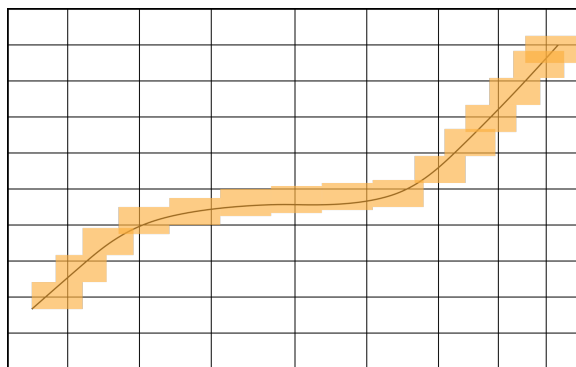
15 Wykład (10.05.2019)

Chcemy dojść do tw Lebesque.

Twierdzenie 14 (Lebesque) Niech P - zbiór nieciągłości funkcji $f : D \rightarrow \mathbb{R}$, f - ograniczona na D , D - ... jest zbiorem miary Lebesque'a zera $\iff f$ - całkowalna na D .

Wiemy, że f - całkowalna \iff

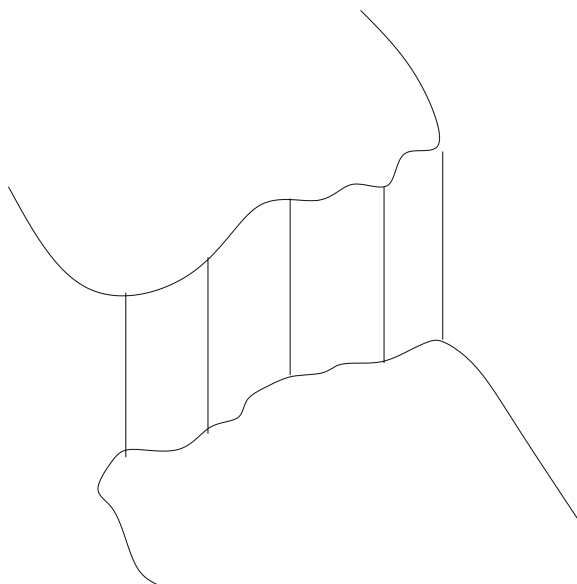
$$\forall_{\varepsilon > 0} \exists \Pi \cdot |\bar{S}(f, \Pi) - \underline{S}(f, \Pi)| < \varepsilon.$$



Ostatnio pokazaliśmy, że

$$A_\varepsilon = \{x \in A, O(f, x) \geq \varepsilon\}, \text{ to } A_\varepsilon \text{ jest zbiorem domkniętym.}$$

(PS funkcja f na zbiorze A powinna być ograniczona!!!)



Obserwacja 9 Jeżeli weźmiemy stół o jakiejś długości to mogą wziąć ileś kartek (albo naleśników. Nie wiadomo czy działa dla czego innego) i go nimi przykryć. Co więcej, jeżeli będzie promocja,

to mogą nawet rzucić ich przeliczalnie dużo. Pytanie: czy dla każdego zbioru mogą (niezależnie od kształtu kartek) przykryć go skończoną liczbą kartek?

Weźmy długi stół:

$$R = \bigcup_{n=0}^{\infty}]n-2, n+2[\cup]-n-2, -n+2[\\]0, 1[\subset]-2, 2[\\]0, 1[\subset [-2019, 2018] \cup [-2, 2] \\]0, 1[= \bigcup_{n=2}^{\infty}]\frac{1}{n}, 1 - \frac{1}{n}[.$$

Ostatnie jest słabe, bo nie mogą wybrać pokrycia ze skończonej ilości elementów.

Definicja 14 Niech X - zbiór a $F = \{A_\alpha, \alpha \in \mathbb{R}, A_i, i \in \mathbb{N}\}$ - rodzina zbiorów. Mówimy, że F jest pokryciem zbioru X , jeżeli $X \subset \bigcup_{i,\alpha} A_\alpha$. Jeżeli zbiory A_α są otwarte, to mówimy, że F jest pokryciem otwartym, jeżeli ilość zbiorów A_α jest skończona, to mówimy, że pokrycie jest skończone. Dowolny podzbiór F taki, że jest też pokryciem zbioru X nazywamy podpokryciem.

Definicja 15 Zbiór X nazywamy zwartym, jeżeli z **każdego** pokrycia otwartego możemy wybrać skończone podpokrycie.

Jak sprawdzamy, czy zbiór jest zwarty, to nie szukamy skończonych pokryć, tylko takie które nie są skończone.

Stwierdzenie 3 (X - domknięty, ograniczony) \iff (X -zbiór zwarty)

Dowód 18 niech $X \in \mathbb{X}$, \mathbb{X} - przestrzeń metryczna

\Leftarrow ₁ Pokażemy, że jeżeli X - zwarty, to X - ograniczony. (przypomnienie: zbiór $A \subset \mathbb{X}$ jest ograniczony jeżeli $\exists_r \exists_{x_0 \in A}$, że $A \subset K(x_0, r)$) Skoro X - zwarty, to niech F będzie pokryciem złożonym

z $K(x, 1)$, $x \in X$. $F = \left\{ K(x, 1), \forall_{x \in X} \right\}$. F jest pokryciem zbioru X , ale ponieważ X - zwarty, to znaczy, że z pokrycia F możemy wybrać **skończone** podpokrycie, co oznacza, że zbiór X możemy ułożyć w kulę o skończonym promieniu. Zatem X - ograniczony.

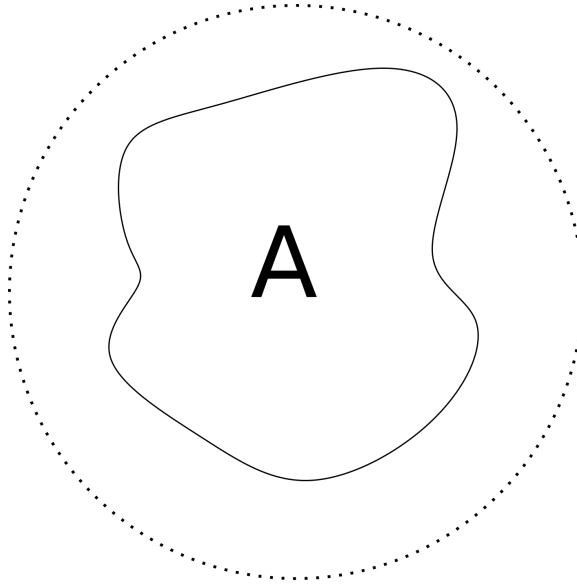
\Leftarrow ₂ Pokażemy, że X - zwarty, to X - domknięty. Pokażemy, że X' - zbiór otwarty. Czyli, że dla dowolnego $p \in X'$ $\exists_{K(p, \tilde{r})}$, że $K(p, \tilde{r}) \cap X = \emptyset$ co będzie oznaczało, że X' składa się wyłącznie z punktów wewnętrznych. Weźmy $q \in X$, utwórzmy dwa otoczenia:

$$K(q, r), K(p, r); r = \frac{1}{2}d(p, q).$$

Widać, że $K(q, r) \cap K(p, r) = \emptyset$. Powtarzamy taką procedurę dla każdego $q \in X$, oznacza to, że dostaniemy pokrycie zbioru X kulami $K(q, r_q), q \in X$, ale X jest zbiorem zwartym więc mogą wybrać **skończoną** ilość kul

$K(q_1, r_1), K(q_2, r_2), \dots, K(q_k, r_k)$ będącą pokryciem zbioru X . A to znaczy, że

$$\underbrace{(K(p, r_1) \cap K(p, r_2) \cap \dots \cap K(p, r_k))}_{\text{jest do zbioru niepusty i otwarty}} \cap \underbrace{(K(q_1, r_1) \cup K(q_2, r_2) \cup \dots \cup K(q_k, r_k))}_{\text{Pokrywa cały } X} = \emptyset.$$



Rysunek 31: Nieważne, co A myśli o sobie, jeżeli otoczmy ją kulą, to jest ograniczone i koniec

czyli np.

$$\bigcap_{n=1}^{\infty} \left] -\frac{1}{n}, \frac{1}{n} \right[= [0].$$

Znaleźliśmy otoczenie otwarte punktu $P : K(p, r_k) \cap \dots K(p, r_k)$, takie, że nie ma punktów wspólnych z X , więc p jest punktem wewnętrznym, czyli X' - otwarty, czyli X - domknięty.

$\implies X$ - domknięty i ograniczony $\implies X$ - zwarty. Niech P - kostka z \mathbb{R}^n , metryka d_2 . Pokażemy, że P jest zwarta.

$$P = [a_1, b_1] \times \dots \times [a_n, b_n].$$

$$\neg(p \implies q) \iff p \wedge \neg q.$$

Dowód przez szeregowość:

Załóżmy, że P - domknięty i ograniczony i P nie jest zwarty. Co to znaczy, że P nie jest zwarty? Oznacza to, że istnieje pokrycie zbioru P takie, że nie da się wyciągnąć z niego skończonego podpokrycia.

Jeżeli P nie da się pokryć skończoną ilością zbiorów, to znaczy, że jeżeli weźmiemy kostkę $[a_1, c_1] \times [a_2, c_2] \times \dots \times [a_n, c_n]$ gdzie $c_1 = \frac{a_1+b_1}{2}$, $c_2 = \frac{a_2+b_2}{2}$, \dots , $c_n = \frac{a_n+b_n}{2}$, to jej też nie możemy podzielić na skończoną ilość elementów. Czyli $P_1 \subset P$, kulę P_1 też możemy podzielić na cztery części itd... W efekcie dostaniemy ciąg kostek $PP_1P_2P_3 \dots P_n \dots$. Weźmy ciąg elementów

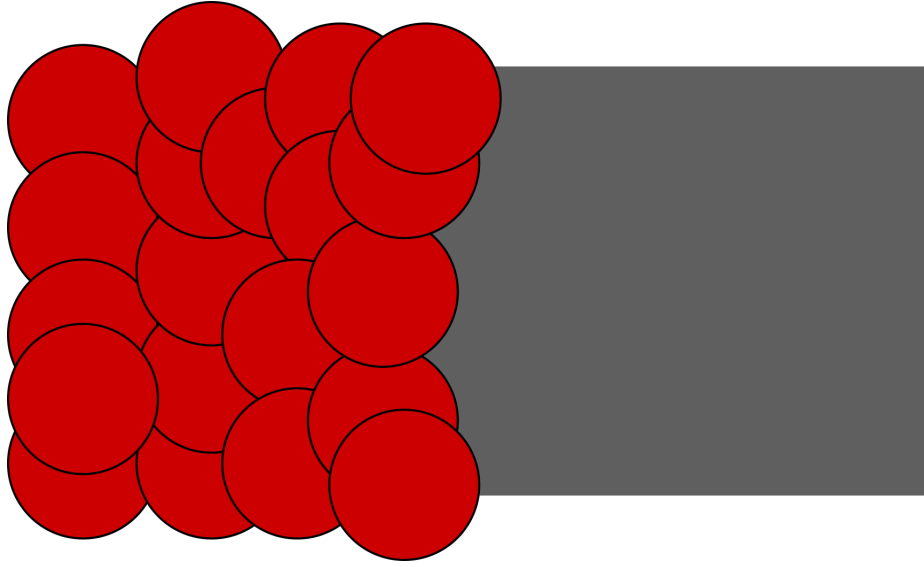
$$x_0 \in P$$

$$x_1 \in P_1$$

$$\vdots$$

$$x_n \in P_n$$

$$\vdots$$



Rysunek 32: Przykrywanie zbioru kulami

Znaczy, że ciąg $\{x_n\}$ jest ciągiem Cauchy (bo każdy element ciągu *asdasd*). Ciąg $\{x_n\} \in \mathbb{R}^n$ czyli X_n jest zbieżny. (bo \mathbb{R}^n - zupełna). Niech \tilde{x} będzie granicą $\{x_n\}$ a zbiór $\{P, P_1, P_2, \dots, P_n, \dots\}$ jest pokryciem P takim, z którego nie możemy wyciągnąć skończonego podpokrycia. Ale skoro $\lim_{n \rightarrow \infty} x_n = \tilde{x}$, to znaczy, że

$$\forall \varepsilon > 0 \exists n \forall n > N. x_n \in K(\tilde{x}, \varepsilon).$$

Oznacza to, że mogą tak dobrać ε , że w $K(\tilde{x}, \varepsilon)$ będą się zawierać wszystkie $P_i, i > n$. Mogą wtedy wybrać **skończone** podpokrycia kostki P .

$$\{P_1, P_2, P_3, \dots, P_{n_i}, K(\tilde{x}, \varepsilon)\}.$$

i sprzeczność

Wracamy do tw. Lebesgue'a. Obserwacja: Niech D - zwarty, $D \subset \mathbb{R}^n$, $f : D \rightarrow \mathbb{R}$ - ograniczona i niech $A = \{x \in D, o(f, x) < \varepsilon\}$. Wówczas:

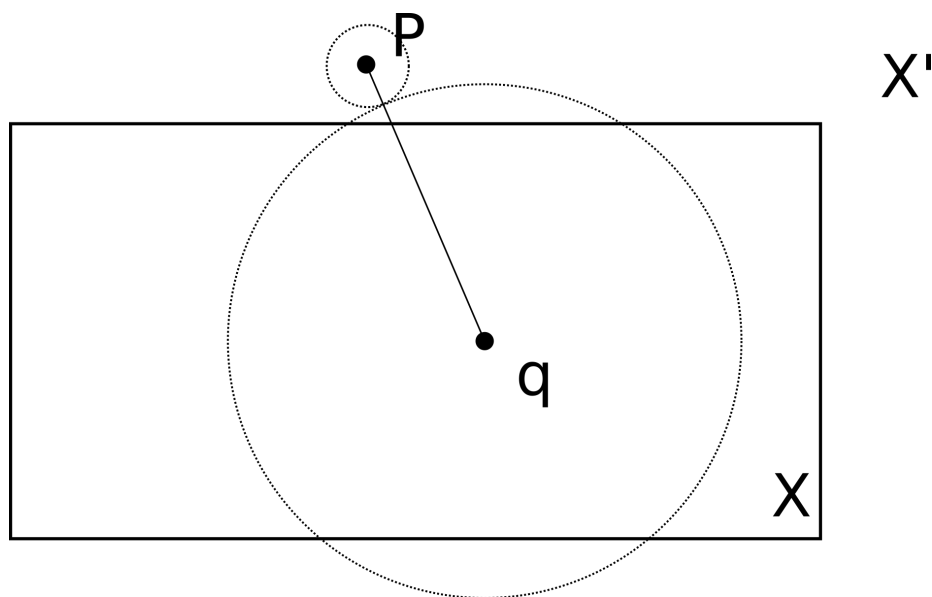
$$\exists \Pi. |\overline{S}(f, \Pi) - \underline{S}(f, \Pi)| < \varepsilon |D|.$$

Dowód 19 Skoro $\forall x \in A \lim_{r \rightarrow 0} |\sup_{K(x', r)} f(x') - \inf_{x' \in K(x', r)} f(x')| < \varepsilon$ To znaczy, że \exists takie, że $|\sup_{r_\varepsilon} f(x') - \inf f(x')| < \varepsilon$. Jeżeli zbadamy wszystkie kule $K(x, r_\varepsilon) \forall_{x \in D}$ to otrzymamy pokrycie A . Ale A jest zbiorem zwartym, więc możemy wybrać skończone podpokrycie, czyli skończoną ilość kul takich, że

$$(*) A \subset K(x_1, r_\varepsilon^1) \cup K(x_2, r_\varepsilon^2) \cup \dots \cup K(x_n, r_\varepsilon^n).$$

Możemy zatem wybrać podział Π zbioru D zgodny z podziałem $(*)$, w wyniku czego,

$$|\overline{S}(f, \Pi) - \underline{S}(f, \Pi)| < \varepsilon |D|.$$



16 Wykład (14.05.2019)

Ostatnio było:

$$A \subset D : \forall_{x \in A} \mathcal{O}(f, x) < \varepsilon; A - \text{kostka, to}$$

$$\exists_{\Pi} |\overline{S}(f, \Pi) - \underline{S}(f, \Pi)| < \varepsilon |A|.$$

Twierdzenie 15 (Lebesgue'a) niech D - kostka, $D \subset \mathbb{R}^n$, $f : D \rightarrow \mathbb{R}$, f - ograniczona.
Wówczas f - (całkowalna na D) \iff (zbiór nieciągłości funkcji f jest miary Lebesgue'a zero)

Dowód 20 \Leftarrow

Chcemy pokazać, że

$$\exists_{\Pi} |\overline{S}(f, \Pi) - \underline{S}(f, \Pi)| < \varepsilon,$$

przy założeniu, że zbiór nieciągłości jest miary L . zero.

Wprowadźmy zbiór $A_n = \{x \in D, \mathcal{O}(f, x) \geq \frac{1}{n}\}$

$$\text{np. } A_2 = \left\{x \in D, \mathcal{O}(f, x) \geq \frac{1}{2}\right\}.$$

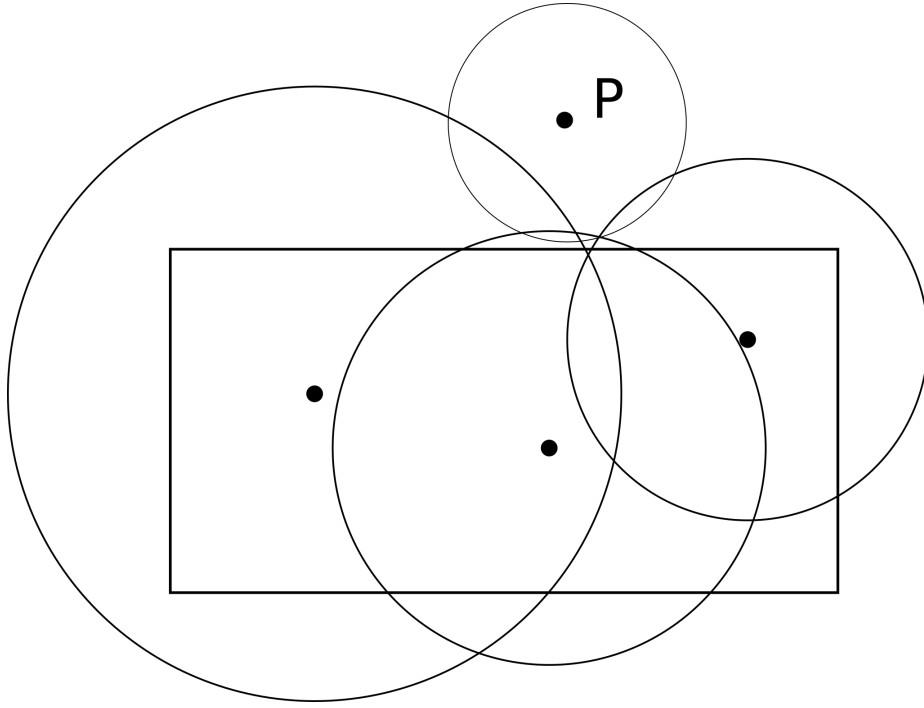
Obserwacja 10 $A_1 \subset A_2 \subset A_3 \subset \dots$

a zbiór $A = \bigcup_{n=1}^{\infty} A_n$ będzie zbiorem wszystkich punktów nieciągłości funkcji f na D .

Tw. Lebesgue'a udowodnimy dla wybranego A_n , bo przeliczalna suma zbiorów miary L . zero też jest zbiorem miary L . zero.

Uwaga 4 Zbiór A_n jest zbiorem domkniętym (bo lemat).

Wiemy, że A_n jest zbiorem miary L . zero gdy istnieje $P_i \subset D$, (P_i - kostki), że $A_n \subset \bigcup P_i$, $\sum |P_i|$ - dowolnie mała (skończona lub nieskończona suma).



Niech $\varepsilon > 0$. Wiemy, że

$$\forall_{\varepsilon > 0} \exists N \forall_{n > N} \frac{1}{n} < \varepsilon.$$

Wyberzmy zatem taki indeks n dla zbioru A_n , że $\frac{1}{n} < \varepsilon$. Wiemy, że A_n - domknięty i ograniczony (bo $A_n \subset D$, a D - kostka w \mathbb{R}^n), to znaczy, że A_n jest zbiorem zwartym, a $\{P_i\}$ jest jego pokryciem. Możemy więc wybrać z niej skończone podpokrycie $\{P_1, P_2, \dots, P_k\}$ takie, że

$$A_n \subset \bigcup_{j=1}^k P_j$$

$$\sum_{j=1}^k |P_j| < \frac{1}{n}.$$

(możemy tak zrobić, bo zawsze możemy wybrać taką rodzinę $\{P_i\}$, że $\sum |P_i|$ - dowolnie mała. Wybierzmy podział Π zbioru D taki, że Π jest na tyle drobny, że odtwarza pokrycie A_n zbioru $\bigcup P_j$. Oznacza to, że podział Π możemy podzielić na dwa podziały

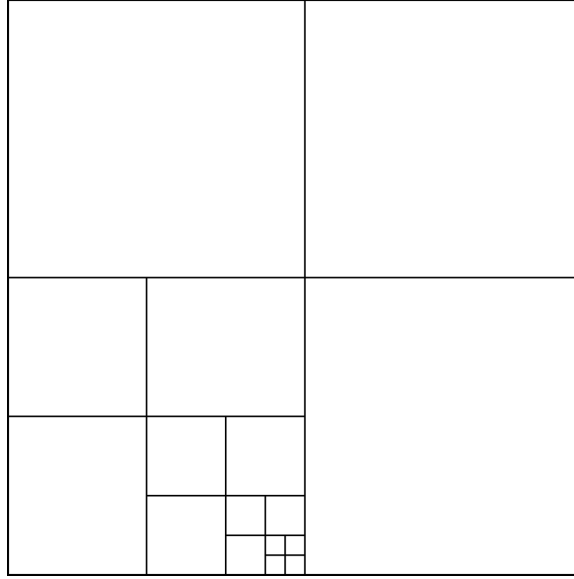
$$\Pi = \Pi_1 \cup \Pi_2, \text{ takie że}$$

Δ

$$\Pi_1 \cap \left\{ \bigcup_j P_j \right\} \neq \phi$$

$$\text{oraz } \Pi_2 \cap \left\{ \bigcup_j P_j \right\} = \phi.$$

Δ : każda kostka z $\{P_j\}$ składa się z kostek należących do Π_1



Rysunek 33: mogę wybrać sobie takie kółko, że wszystkie następne kwadraty będą już leżały w tym kółku!

$$|\bar{S}(f, \Pi) - \underline{S}(f, \Pi)| = |\bar{S}(f, \Pi_1) - \underline{S}(f, \Pi_1) + \bar{S}(f, \Pi_2) - \underline{S}(f, \Pi_2)|, \text{ ale}$$

$$\bar{S}(f, \Pi_1) - \underline{S}(f, \Pi_1) = \sum_{Q_i \in \Pi_1} (\sup_{x \in Q_i} f - \inf_{x \in Q_i} f) |Q_i| \quad (27)$$

Gdzie wiemy, że $\sum |Q_i| < \frac{1}{n}$, a f - ograniczona na D czyli

$$\exists_M \forall_{x \in D} |f(x)| < \frac{M}{4}.$$

Czyli

$$|\sup_{x \in D} f - \inf_{x \in D} f| < M.$$

Zatem

$$(27) \leq M \cdot \sum |Q_i| \leq M \cdot \frac{1}{n}.$$

Ale

$$\begin{aligned} \bar{S}(f, \Pi_2) - \underline{S}(f, \Pi_2) &= \sum_{R_j \in \Pi_2} (\sup_{x \in R_j} f - \inf_{x \in R_j} f) |R_j| \\ &\leq \frac{1}{n} \sum |R_j| \leq \frac{1}{n} |D|. \end{aligned}$$

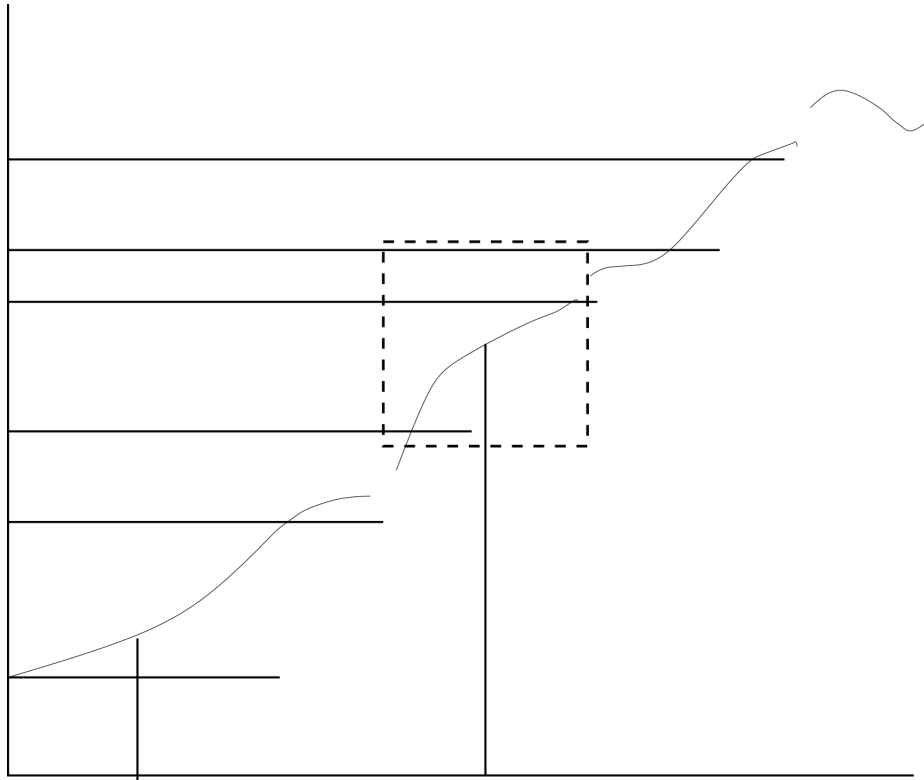
Zatem

$$|\bar{S}(f, \Pi) - \underline{S}(f, \Pi)| \leq M \cdot \frac{1}{n} + \frac{1}{n} |D| = \frac{1}{n} \cdot \text{const.}$$

czyli możemy tak zwiększyć n , że $\forall_{\varepsilon > 0} \frac{1}{n} \cdot \text{const} < \varepsilon \quad \square$

Dlaczego wynika z tego prawdziwość dowodu dla całego A ?

np. dla A_{2019} działa, ale co dalej. Bo A_k dla $k > n$ też spełniają warunek, że $\frac{1}{k} \cdot \text{const} < \varepsilon$, a A_j dla $j < n$ jest takie, że $A_j \subset A_n$



\Rightarrow

Wiemy, że f - całkowalne, czyli

$$\forall_{\varepsilon > 0} \exists \Pi^S |(f, \Pi) - \int_S f| < \varepsilon/n.$$

(chcemy pokazać, że A_n jest zbiorem miary L . zero)

$$\begin{aligned} \Pi &= \{T_i\} \\ \frac{\varepsilon}{n} &> |\bar{S}(f, \Pi) - \underline{S}(f, \Pi)| = \\ &= \sum_{x \in T_i} |\sup_{x \in T_i} f - \inf_{x \in T_i} f| |T_i| (*). \end{aligned}$$

z podziału T_i wybieram takie kostki P_i , że $|\sup_{x \in P_i} f - \inf_{x \in P_i} f| \geq \frac{1}{n}$.

Wówczas

$$(*) \geq \sum_{P_i} \frac{1}{n} |P_i| = \frac{1}{n} \sum |P_i|$$

$$\text{czyli } \forall_{\varepsilon > 0} \frac{\varepsilon}{n} > \frac{1}{n} \sum |P_i|, \text{ gdzie } P_i \text{ jest pokryciem } A_n.$$

Czyli A_n jest zbiorem miary L . zero \square

Przykład 30 $f(x, y) = x \sin(xy)$, $A = [0, 1] \times [0, 1]$

$$\int_A f \stackrel{?}{=} \int_0^1 \varphi_1(x) dx \stackrel{?}{=} \int_0^1 \varphi_2(y) dy,$$



gdzie $\varphi_1(x) = \int_0^1 x \sin(xy) dy$, $\varphi_2(y) = \int_0^1 x \sin(xy) dx$

$$\int_A f = \int_0^1 dx \int_0^1 dy f(x, y) \stackrel{?}{=} \int_0^1 dy \int_0^1 dx f(x, y).$$

Twierdzenie 16 (Fubiniego)

Niech $f : A \times B \rightarrow \mathbb{R}$. $A \subset \mathbb{R}^l, B \subset \mathbb{R}^k, A \times B \subset \mathbb{R}^n$, f - ograniczona i całkowna na $A \times B$. Oznaczmy $x^l \in A, y^k \in B$, A, B - kostki.

Niech

$$\varphi(x) = \overline{\int_B f(x^l, y^k) dy^k}, \psi(x) = \underline{\int_B f(x^l, y^k) dy^k}.$$

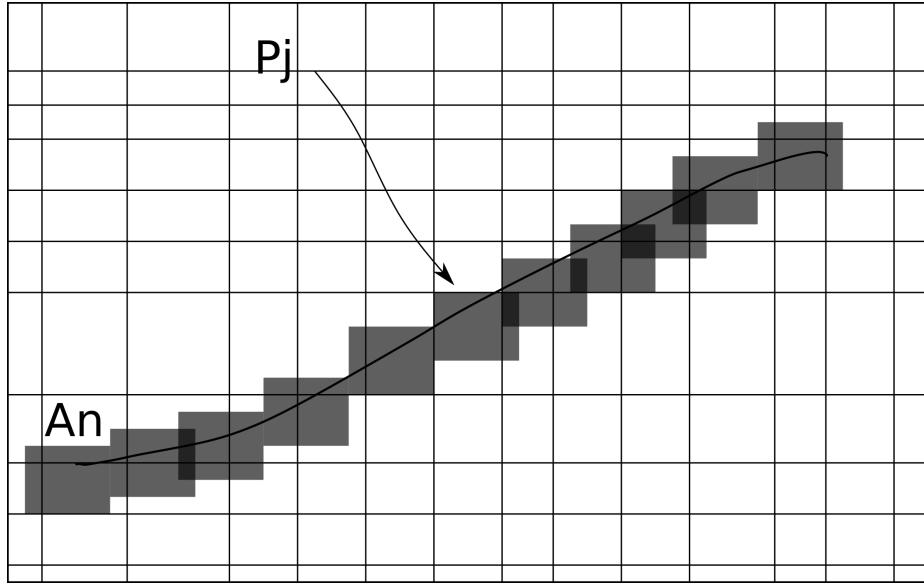
Wówczas

$$\int_{A \times B} f = \int_A \varphi = \int_A \psi.$$

Uwaga 5 całkowność na $A \times B$ nie oznacza całkowności na np. B .

Dowód 21 Niech $\{Q_i\} = \Pi_1$ - podział zbioru A , $\{R_j\} = \Pi_2$ - podział zbioru B . Wówczas $\Pi_1 \times \Pi_2$ - podział $A \times B$.

$$\begin{aligned} \underline{S}(f, \Pi_1 \times \Pi_2) &= \\ &= \sum_{\substack{Q_i \\ R_j}} \inf_{x \in Q_i} \inf_{y \in R_j} f(x, y) |Q_i| |R_j| \leq \\ &= \sum_{Q_i} \sum_{R_j} \inf_{x \in Q_i} \inf_{y \in R_j} f(x, y) |Q_i| |R_j| \leq \\ &\leq \sum_{Q_i} \inf_{x \in Q_i} \sum_{R_j} \inf_{y \in R_j} f(x, y) |R_j| |Q_i| \leq \\ &\quad \text{suma dolna dla } \psi(x) \\ &\leq \sum_{Q_i} \inf_{x \in Q_i} \psi(x) |Q_i| \quad \text{bo suma dolna } \leq \text{całki dolnej} = \int_A \psi = S(\psi, \Pi_1). \end{aligned}$$



Ale $\int_A \psi(x) = \sup_{\Pi} \left| \sum_{Q_i} \inf_{x \in Q_i} \psi(x) |Q_i| \right|$.

Czyli $\underline{S}(f, \Pi_1 \times \Pi_2) \leq \underline{S}(\psi, \Pi_1)$. Analogicznie możemy pokazać, że

$$\underline{S}(\psi, \Pi_1) \leq \underline{S}(\varphi, \Pi_1) \leq \overline{S}(\varphi, \Pi_1) \leq \overline{S}(f, \Pi_1 \times \Pi_2).$$

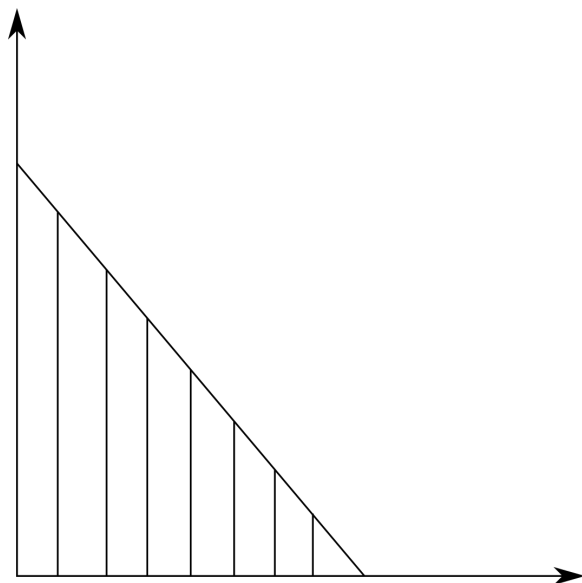
Zatem

$$\underline{S}(f, \Pi_1 \times \Pi_2) \leq \underline{S}(\psi, \Pi_1) \leq \overline{S}(\psi, \Pi_1) \leq \overline{S}(\varphi, \Pi_1) \leq \overline{S}(f, \Pi_1 \times \Pi_2).$$

Skoro f - całkowalna na $A \times B$, to

$$\forall_{\varepsilon > 0} \exists \Pi \left| \overline{S}(f, \Pi) - \underline{S}(f, \Pi) \right| < \varepsilon.$$

Co oznacza, że $\int_A \psi$ i $\int_B \varphi$ - istnieją i wynoszą $\int_{A \times B} f$ \square



Rysunek 34: życie było by proste gdybyśmy mogli tak robić

17 Wykład (17.05.2019)

Chcemy wygenerować wzór na zamianę zmiennych. Dawno dawno temu mogliśmy zrobić tak:

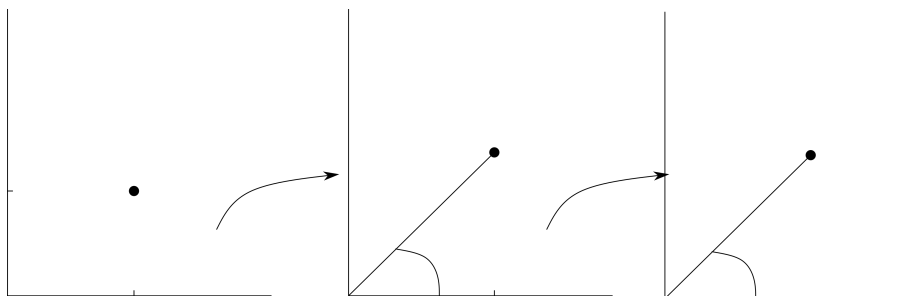
$$\int_2^4 2xe^{x^2} dx = \int_{x^2=2}^{x^2=4} e^t dt = \int_4^{16} e^t dt.$$

Czyli w ogólności

$$\int_{\varphi(a)}^{\varphi(b)} f(x) dx = \int_a^b f(\varphi(t)) \varphi'(t) dt.$$

Jak weźmiemy całkę

$$\int f(x, y) dx dy = \int dx \int f(x, y) dy = \int r = \sqrt{x^2 + y^2}, \varphi = \arctg\left(\frac{y}{x}\right) \mid = \int dr \int d\varphi f(r, \varphi)??.$$



Rysunek 35: zmieniamy zmienne pojedynczo a nie jednocześnie $(x, y) \rightarrow (x, \varphi) \rightarrow (r, \varphi)$

$$\begin{aligned}
\int dx \int dy f(x, y) &= \|y = x \operatorname{tg} \varphi, dy = \frac{x}{\cos^2 \varphi} d\varphi\| = \int dx \int \frac{x}{\cos^2 \varphi} \varphi f(x, y(x, \varphi)) = \\
&= \|x = r \cos \varphi, dx = dr \cos \varphi\| = \int d\varphi \int \frac{dr \cos \varphi r \cos \varphi}{\cos^2 \varphi} f(x(r, \varphi), y(x(r, \varphi))) = \\
&= \int d\varphi \int dr f(r, \varphi) r, \text{ czyli } "???" = r.
\end{aligned}$$

To teraz w drugą stronę. ($y \rightarrow r$), ($x \rightarrow \varphi$)

$$\begin{aligned}
\int \int f(x, y) dx dy &= \|y = \sqrt{r^2 - x^2}, dy = \frac{2r dr}{2\sqrt{r^2 - x^2}}\| = \\
&= \int dx \int \frac{r dr}{\sqrt{r^2 - x^2}} f(x, y(x, r)) = \|x = r \cos \varphi, dx = -r \sin \varphi d\varphi\| = \\
&= - \int dr \int \frac{r \sin \varphi d\varphi r}{\sqrt{r^2 - x^2}} f(x(r, \varphi), y(x(r, \varphi), r)) = \\
&= - \int dr r^2 \int d\varphi \frac{\sin \varphi f(r, \varphi)}{\sqrt{r^2 - r^2 \cos^2 \varphi}} = - \int dr \int d\varphi f(r, \varphi) r.
\end{aligned}$$

Dostaliśmy prawie to co trzeba (r). Tylko wpadł jakiś dziwny minus. Podobno minus zniknie gdy doprowadzimy do porządku granice zmiennej φ , bo $x = r \cos \varphi$ a \cos jest malejący w tym przedziale. (tablica dalej nie działa - minęły 3 miesiące - z marsa by już doszła więc wysyłają pewnie z Saturna - MKTM)

Niech $\psi \begin{bmatrix} r \\ \varphi \end{bmatrix} \rightarrow \begin{bmatrix} r \cos \varphi \\ r \sin \varphi \end{bmatrix}$.

$$\begin{aligned}
\psi' &= \begin{bmatrix} \cos \varphi & -r \sin \varphi \\ \sin \varphi & r \cos \varphi \end{bmatrix} \\
\|\psi'\| &= r \cos^2 \varphi - (-r \sin^2 \varphi) = r.
\end{aligned}$$

Chcemy pokazać, że jeżeli $\varphi : A \rightarrow A$, $A \subset \mathbb{R}^n$, φ - klasy \mathcal{C}^1 , φ^{-1} - klasy \mathcal{C}^1 , to możemy przedstawić φ jako złożenie dwóch transformacji, z których pierwsza nie zmienia $n - 1$ zmiennych a druga nie zmienia 1 zmiennej (transformacje pierwotne/prymitywne albo inne ubogające nazwy).

Dowód 22 (coś w rodzaju dowodu)

φ możemy przedstawić jako

$$\varphi \begin{bmatrix} t_1 \\ \vdots \\ t_n \end{bmatrix} \rightarrow \begin{bmatrix} \varphi_1(t_1, \dots, t_n) \\ \vdots \\ \varphi_n(t_1, \dots, t_n) \end{bmatrix} = \begin{bmatrix} x_1 \\ \vdots \\ x_n \end{bmatrix}.$$

Pytanie 18 Czy istnieje odwzorowanie $\Theta^{-1} : A \rightarrow A$ takie, że

$$\Theta = \begin{bmatrix} t_1 \\ \vdots \\ t_n \end{bmatrix} = \begin{bmatrix} t_1 \\ \vdots \\ t_{j-1} \\ \varphi_j(t_1, \dots, t_n) \\ t_{j+1} \\ \vdots \\ t_n \end{bmatrix} = \begin{bmatrix} x_1 \\ \vdots \\ x_{j-1} \\ x_j \\ x_{j+1} \\ \vdots \\ x_n \end{bmatrix}.$$

($t_{i \neq j}$) mogą zostać zamiast zamieniać je na x_i . Dlaczego interesuje nas czy istnieje funkcja odwrotna? Bo jeżeli istnieje, to możemy zapisać

$$\varphi = \varphi \circ \Theta^{-1} \circ \Theta = (\varphi \circ \Theta^{-1}) \circ \Theta.$$

Wiemy, że φ - klasy \mathcal{C}^1 i φ^{-1} - klasy \mathcal{C}^1 i $\varphi : A \rightarrow A$. Mamy twierdzenie o lokalnej odwracalności! $\det \varphi' \neq 0$, czyli w macierzy φ' istnieje przynajmniej 1 element niezerowy. (w rzeczywistości to zawsze będzie trochę więcej - nieśmiały warunek)

np. $\frac{\partial \varphi^i}{\partial t^i} \neq 0$. Oznacza to, że odwzorowanie

$$\eta : \begin{bmatrix} t_1 \\ t_2 \\ \vdots \\ t_{i-1} \\ t_i \\ t_{i+1} \\ \vdots \\ t_n \end{bmatrix} \rightarrow \begin{bmatrix} x_1 \\ x_2 \\ \vdots \\ x_{j-1} \\ x_j = \varphi^i(t_1, \dots, t_n) \\ \vdots \\ x_n \end{bmatrix}.$$

Wtedy

$$\eta' = \begin{bmatrix} 1 & & & & \\ & 1 & & & \\ \dots & \dots & \frac{\partial \varphi^i}{\partial x^i} & \dots & \dots \\ & & & 1 & \\ & & & & 1 \end{bmatrix}.$$

i $\det \eta' \neq 0$, więc istnieje η^{-1} .

Czyli $\varphi = \varphi \circ \eta \circ \eta^{-1} = (\varphi \circ \eta) \circ \eta^{-1}$ \square

$$\int_{-1}^1 dx \int_{-\sqrt{1-x^2}}^{\sqrt{1-x^2}} dy f(x, y) = \int_0^1 r dr \int_0^{2\pi} d\varphi f(r, \varphi) \quad (28)$$

Twierdzenie 17 (O zamianie zmiennych)

Niech Θ, Ω - zbiory otwarte w \mathbb{R}^n i $\xi : \Omega \rightarrow \Theta$, $f : \Theta \rightarrow \mathbb{R}$, f - ograniczona i całkowalna. ξ - klasy \mathcal{C}^1 na Ω , ξ^{-1} klasy \mathcal{C}^1 na Θ . Wtedy

$$\int_{\Theta} f(x) dx = \int_{\Omega} f(\xi(t)) |\det \xi'(t)| dt. \quad (29)$$

$$x = (x^1, \dots, x^n) \in \Theta, t = (t^1, \dots, t^n) \in \Omega$$

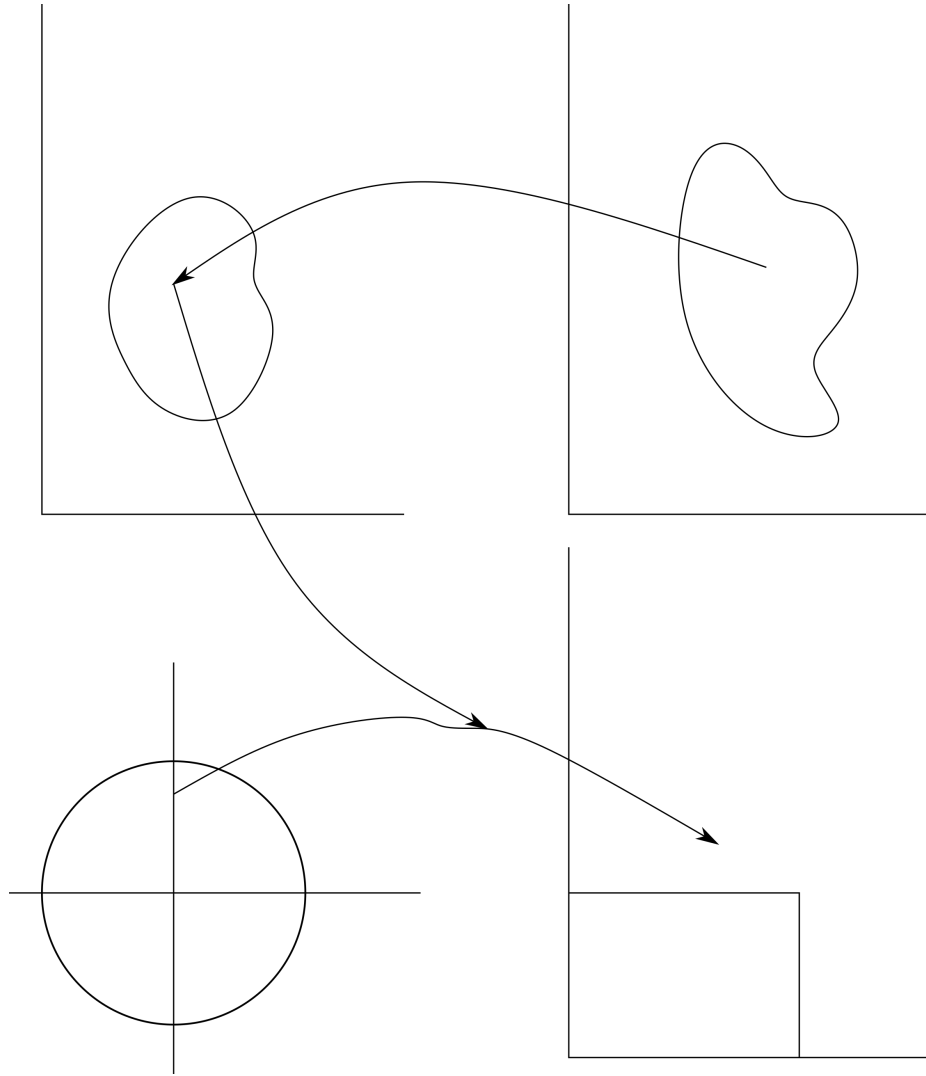
Dowód 23 (przez indukcję względem wymiaru przestrzeni)

- dla $n = 1$ - zrobione w I semestrze.
- zakładamy, że prawdziwy jest napis

$$\int_{A' \subset \mathbb{R}^{n-1}} f(x) dx = \int_{\Omega' \subset \mathbb{R}^{n-1}} f(\xi(t)) |\det(\xi'(t))|, (\xi : \mathbb{R}^{n-1} \rightarrow \mathbb{R}^{n-1}).$$

Chcemy pokazać, że prawdziwy jest napis

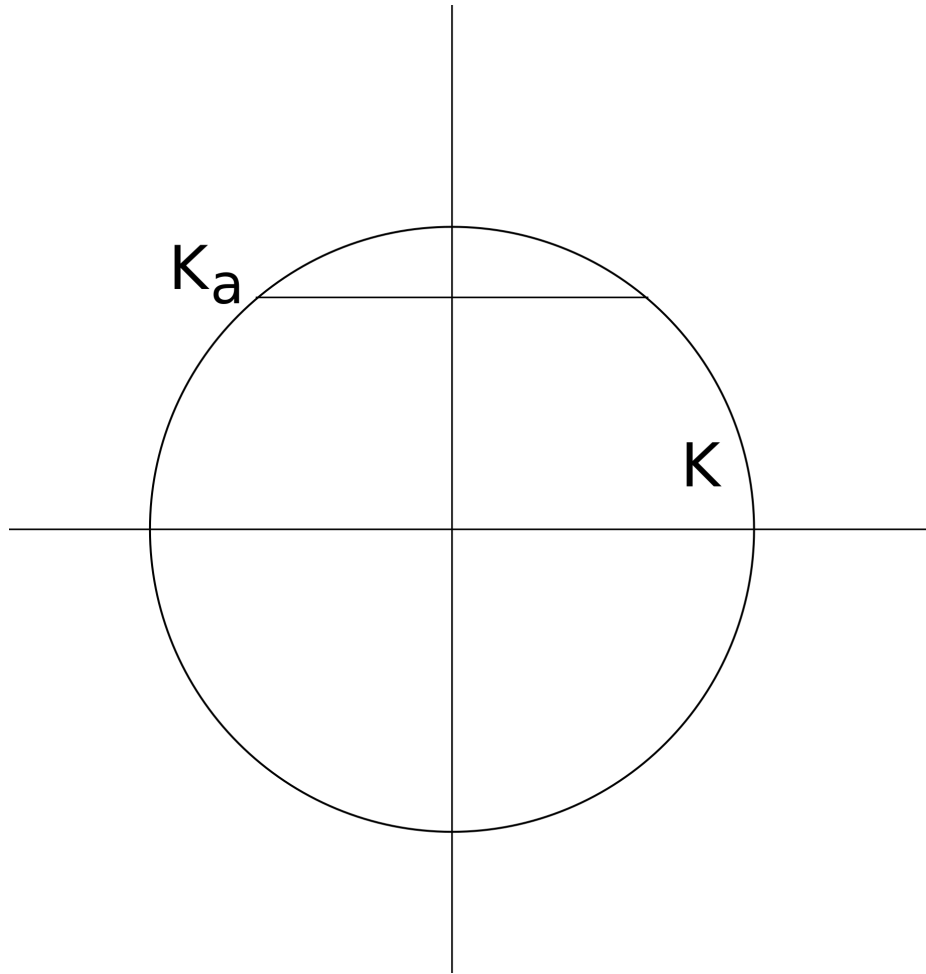
$$\int_{A \subset \mathbb{R}^n} f(x) dx = \int_{\Omega \subset \mathbb{R}^n} f(\xi(t)) |\det(\xi'(t))|.$$



Rysunek 36: $\Omega \rightarrow \Theta - f - \mathbb{R}$

Uwaga: wartość bezwzględna oznacza, że musimy uważać przy rozstawianiu granic: $\left(\int_a^b f\right)$ oznacza, że zakładamy, że $a \leq b$. Dowód przeprowadzamy dla $\xi : \Theta \subset \mathbb{R}^n \rightarrow \Omega \subset \mathbb{R}^n$ takiego, że ξ nie zamienia jednej zmiennej.

Obserwacja 11 Niech $K = \{(x, y), x^2 + y^2 \leq 1\}$, niech $K_a = \{(x, a), x^2 + a^2 \leq 1\}$. Wówczas $K = \bigcup_{a \in [-1, 1]} K_a$, zatem $\int_K f = \int_{-1}^1 da \int_{K_a} f$



18 Wykład (21.05.2019)

Ostatnio skończyliśmy na kroku $n - 1 \rightarrow n$ i wiemy, że dla $n - 1$ wymiarów możemy napisać $\int_{A \in \mathbb{R}^{n-1}} f(x) dx = \int_{B \in \mathbb{R}^{n-1}} f(\xi(t)) |\det \xi'| dt$

$$\int_{\Theta} f dx = \int_{\Omega} f(\xi(t)) |\det \xi'| dt.$$

Mając zbiór Θ , zdefiniujemy zbiór Θ_a , który jest zbiorem takich $x \in \Theta$, że na miejsca x_i wstawimy wielkość a .

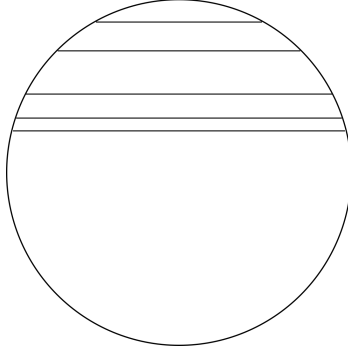
$$\Theta_a = \{x \in \mathbb{Q}, x = (x^1, x^2, \dots, x^{i-1}, a, x^{i+1}, \dots, x^n)\}.$$

$$K = \{(x, y), x^2 + y^2 = 1\}.$$

$$K_a = \{(x, y) \in K, (x, y) = (x, a)\}, \{(x, a), x^2 + a^2 = 1\}.$$

Oznacza to, że

$$\int_{\Theta} f dx = \int da \int_{\Theta_a} f(x^1, x^2, \dots, x^{i-1}, a, x^{i+1}, \dots, x^n) dx^1 dx^2 \dots dx^{i-1} dx^{i+1} \dots dx^n.$$



Rysunek 37: Kółko K składamy z kresek K_a i mamy $\int_K f = \int da \int_{K_a} f$

Rozważmy $\xi : \Theta \rightarrow \Omega$ taką, że

$$\begin{bmatrix} t_1 \\ \vdots \\ t_n \end{bmatrix} \rightarrow \begin{bmatrix} \xi_1(t_1, \dots, t_n) \\ \xi_2(t_1, \dots, t_n) \\ \vdots \\ \xi_{i-1} \\ t_1 \\ \xi_{i+1} \\ \vdots \\ \xi_n(t_1, \dots, t_n) \end{bmatrix} \begin{bmatrix} x^1 \\ x^1 \\ \vdots \\ x^i \\ \vdots \\ x^n \end{bmatrix}.$$

(Czyli ξ nie zmienia jednej współrzędnej np. $\begin{bmatrix} x \\ y \end{bmatrix} \rightarrow \begin{bmatrix} r \\ x \end{bmatrix}$).

Możemy więc zapisać transformację $\xi_a : \Theta_a \rightarrow \Omega_a$

$$\begin{bmatrix} t_1 \\ \vdots \\ t_{i-1} \\ t_{i+1} \\ \vdots \\ t_n \end{bmatrix} \rightarrow \begin{bmatrix} \xi_1(t_1, \dots, t_n) \\ \xi_2(t_1, \dots, t_n) \\ \vdots \\ \xi_{i-1}(\dots) \\ \xi_{i+1}(\dots) \\ \vdots \\ \xi_n(t_1, \dots, t_n) \end{bmatrix}.$$

Wówczas na mocy założenia indukcyjnego wiemy, że

$$\begin{aligned} \int_{\Theta_a} f(x^1, \dots, x^{i-1}, a, x^{i+1}, \dots, x^n) dx^1 \dots dx^{i-1} dx^{i+1} \dots dx^n = \\ \int_{\Omega_a} f(t_1, t_2, \dots, t_{i-1}, a, t_{i+1}, \dots, t_n) |\det \xi'_a| dt^1 dt^2 \dots dt^{i-1} dt^{i+1} \dots dt^n. \end{aligned}$$

Wówczas

$$\begin{aligned} \int_{\Theta} f(x^1, \dots, x^n) dx^n &= \int_a da \int_{\Omega_a} f(t_1, \dots, t_{i-1}, a, t_{i+1}, \dots, t_n) |\det \xi'_a| \cdot (\pm 1) dt^1 \dots dt^{i-1} dt^{i+1} \dots dt^n \\ &= [a = t_i] = \\ &= \int_{\Omega} f(t^1, t^2, \dots, t^n) |\det \xi'| dt^1 \dots dt^n \quad \square. \end{aligned}$$

$$\xi' = \begin{bmatrix} \frac{\partial \xi_1}{\partial t_1} & \frac{\partial \xi_2}{\partial t_2} & \cdots & \frac{\partial \xi_n}{\partial t_n} \\ 0 & \cdots & 1 & \cdots & 0 \\ \frac{\partial \xi_n}{\partial t_1} & \cdots & \cdots & \frac{\partial \xi_n}{\partial t_n} \end{bmatrix}.$$

Przykład 31 Policzmy całkę $I = \int_0^\infty e^{-x^2} dx$. Nie umiemy. Ale skoro nie umiemy policzyć I , to tym bardziej I^2 ?

$$I^2 = \int_0^\infty e^{-x^2} dx \int_0^\infty e^{-y^2} dy = \int_{\square} e^{-(x^2+y^2)}.$$

Zamieńmy sobie zmienne: $x = r \cos \varphi$, $y = r \sin \varphi$. $\psi : \begin{bmatrix} r \\ \varphi \end{bmatrix} \rightarrow \begin{bmatrix} x \\ y \end{bmatrix}$, $|\psi'| = r$ Mamy

$$I^2 = \int_0^\infty dr \int_0^{\frac{\pi}{2}} d\varphi e^{-r^2} r = \frac{\pi}{2} \lim_{p \rightarrow +\infty} \int_0^p dr \cdot e^{-r^2} \cdot r = \frac{\pi}{2} \lim_{p \rightarrow \infty} \left[-\frac{1}{2} e^{-r^2} \right]_0^p$$

$$\frac{\pi}{2} \left[\lim_{p \rightarrow \infty} \left[-\frac{1}{2} e^{-p^2} \right] - \left[-\frac{1}{2} e^{-(0)^2} \right] \right] = \frac{\pi}{2} \frac{1}{2} = \frac{\pi}{4}$$

czyli $I^2 = \frac{\pi}{4} \implies I = \frac{\sqrt{\pi}}{2}$

18.1 Formy różniczkowe

(czyli o uprawianiu analizy na powierzchni balonika albo kartki)

Niech $M \subset \mathbb{R}^n$ - taki, że dla każdego punktu $p \in M$ istnieje otoczenie otwarte $U \subset M$

Przykład 32 (sfera, obwarzanek, itd., okrąg), (stożek - nie ok!), (taka ósemka co się przecina - też nie) TODO: obrazki

Definicja 16 Niech U - zbiór otwarty $\subset M$ i niech odwzorowanie $\varphi : U \rightarrow \mathbb{R}^n$ takie, że φ - klasy \mathcal{C}^1 , (czasami \mathcal{C}^∞), φ^{-1} - klasy \mathcal{C}^1 , (czasami \mathcal{C}^∞) nazywamy mapą.
Uwaga: mapa nie musi pokrywać całego zbioru M .

Wyobraźmy sobie, że mamy jakiś zbiór M . Połowa tego zbioru to niech będzie U_1 , i ono się przecina z U_2 . U_1 i U_2 możemy rozłożyć na prostokąty w \mathbb{R}^2 . Co się stanie z punktami mapowanymi do obu U ?

Definicja 17 $(U^1, \varphi^1), (U^2, \varphi^2)$ - mapy na M .
 U_1 i U_2 nazywamy zgodnymi jeżeli
a) $U_1 \cap U_2 = \emptyset$
albo odwzorowanie $\varphi_2 \circ \varphi_1^{-1} : \varphi_1(U_1 \cap U_2) \rightarrow \varphi_2(U_2 \cap U_1)$ jest bijekcją (klasy powiedzmy sobie $\mathcal{C}^1, \mathcal{C}^\infty$)

Przykład 33

$$U_1 = \{(x, y) \in M, y > 0\}, \quad \varphi_1 : (x, y) \in U_1 \rightarrow x$$

$$U_2 = \{(x, y) \in M, x > 0\}, \quad \varphi_2 : (x, y) \in U_2 \rightarrow y$$

$$U_3 = \{(x, y) \in M, y < 0\}, \quad \varphi_3 : (x, y) \in U_3 \rightarrow x$$

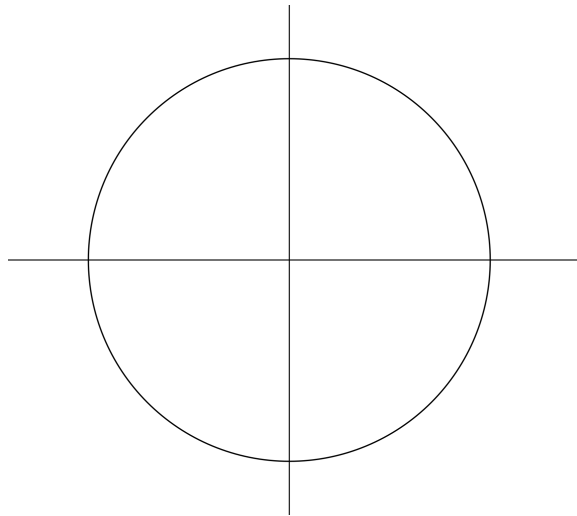
$$U_4 = \{(x, y) \in M, x < 0\}, \quad \varphi_4 : (x, y) \in U_4 \rightarrow y.$$

U_1 i U_3 oraz U_2 i U_4 są zgodne. Czy zgodne są U_1 i U_2 ? Czyli chcemy zbadać odwzorowanie $\varphi_1(U_1 \cap U_2) \rightarrow \varphi_2(U_1 \cap U_2)$, ale $\varphi_1(x, y) \in U_1 \rightarrow x$.

Czyli $\varphi_1^{-1}(x) \rightarrow (x, \sqrt{1-x^2})$,

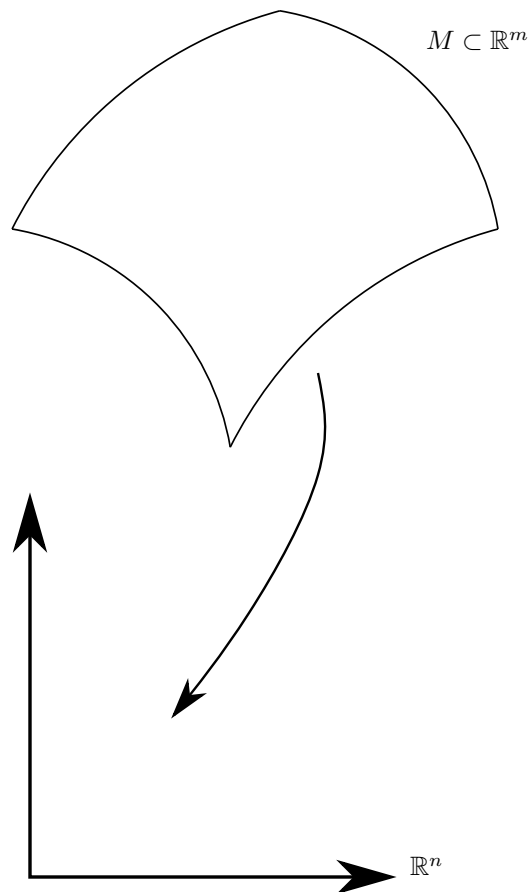
czyli $\varphi_2(\varphi_1^{-1}(x)) = \varphi_2((x, \sqrt{1-x^2})) = \sqrt{1-x^2}$.

Zatem czy $\varphi_2 \circ \varphi_1^{-1}(x) = \sqrt{1-x^2}$ przetrzuca $]0, 1[\rightarrow]0, 1[$ jest różniczkowalne? Odpowiedź: na zbiorze $]0, 1[$ jest.



Rysunek 38: $M = \{(x, y) : x^2 + y^2 = 1^2\}$

Definicja 18 *Kolekcję zgodnych map nazywamy atlasem. Zbiór M wraz z atlasem, który pokrywa cały M nazywamy **rozmaiutością** (ang. manifold).*



Rysunek 39: Wymiar pączka może być większy! $m > n$

19 Wykład (24.05.2019)

Chcemy powiedzieć co to są wektory w takim świecie? Zaczniemy rysować krzywą po powierzchni.

Niech M - rozmaitość. Odwzorowanie $\sigma :]-\varepsilon, \varepsilon[\subset \mathbb{R} \rightarrow \sigma(t) \in M$ nazywamy krzywą na M . σ jest klasy C^∞

Przykład 34 (*spirala na walcu*)

$$\sigma :]-\varepsilon, \varepsilon[\rightarrow \begin{bmatrix} \cos(t) \\ \sin(t) \\ t \end{bmatrix}.$$

Definicja 19 Niech $p \in M$, σ_1, σ_2 - krzywe na M takie, że $\sigma_1(0) = \sigma_2(0) = P$. Mówimy, że σ_1

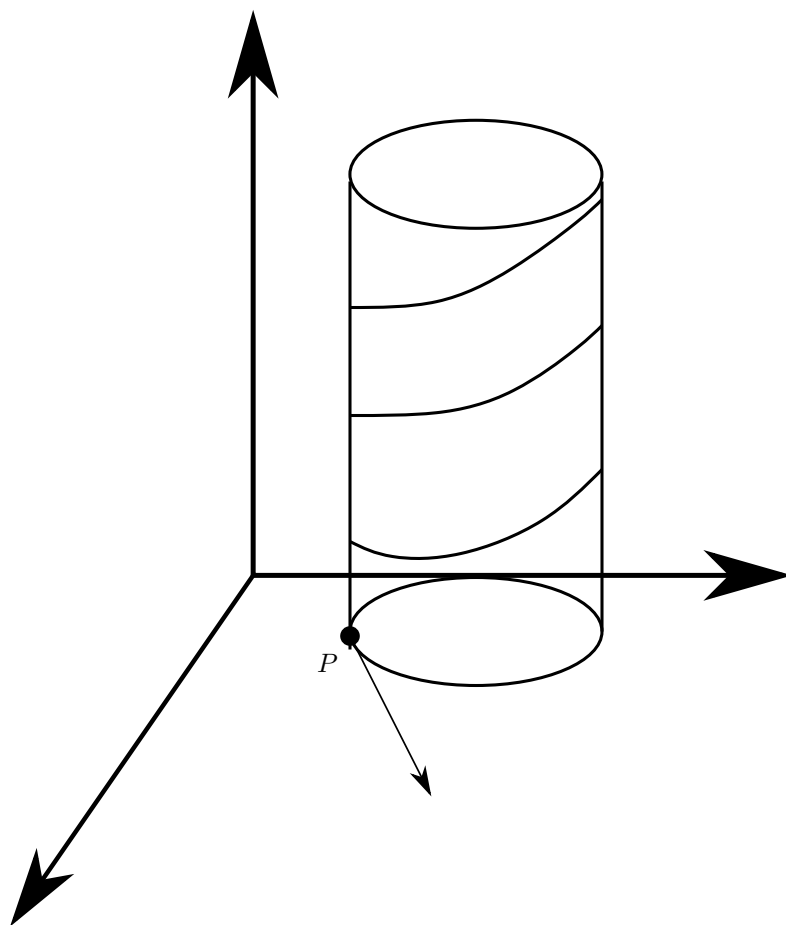
σ_1 i σ_2 są styczne w punkcie P , jeżeli

$$\left. \frac{d(\varphi_0 \cdot \sigma_1(t))}{dt} \right|_{t=0} = \left. \frac{d(\varphi_0 \cdot \sigma_2(t))}{dt} \right|_{t=0}.$$

Rozważmy wszystkie krzywe przechodzące przez punkt $P \in M$. Na tym zbiorze wprowadzamy relację: $\sigma_1 \sim \sigma_2$ jeżeli σ_1 i σ_2 są styczne. Jeżeli σ krzywa przechodząca przez punkt P , to wektorem stycznym zaczepionym w punkcie P nazwiemy $v = \underset{\substack{\text{klasa} \\ \text{równoważności}}}{[\sigma]}$

Przykład 35 Weźmy krzywą $\sigma(t) = \begin{bmatrix} \cos(t) \\ \sin(t) \\ t \end{bmatrix}$, $p = \begin{bmatrix} 1 \\ 0 \\ 0 \end{bmatrix}$.

$$\sigma'(t) = \begin{bmatrix} -\sin(t) \\ \cos(t) \\ 1 \end{bmatrix}, \sigma'(0) = \begin{bmatrix} 0 \\ 1 \\ 1 \end{bmatrix}.$$



Przykład 36 Niech $f(p) = C \quad \forall_{p \in M}$. Ile wynosi $v(f)$?

$$\begin{aligned} v(f) &= v(c) = v(c \cdot 1) = c \cdot v(1) = \\ &= c \cdot v(1 \cdot 1) = c \cdot (1 \cdot v(1) + 1v(1)) = \\ &= c \cdot 2v(1) = 2v(c) = 2v(f). \end{aligned}$$

Czyli $v(f) = 2v(f)$, czyli $v(f) = 0$ (pochodna stałej = 0)

Każdy operator, który to umie to różniczkowanie.

Pytanie 19 Jak można w praktyce zrealizować taki operator?

Niech $v \in T_p M, v = [\sigma]$

$$v(f) = \frac{d}{dt} f(\sigma(t))|_{t=0}.$$

Definicja 20 Zbiór wszystkich różniczkowań w punkcie P oznaczamy przez $D_p M$

Chcemy nadać $D_p M$ strukturę przestrzeni wektorowej.

$$\begin{aligned} v_1, v_2 \in D_p M, f \in C^\infty(M) &\implies (v_1 \diamond v_2)f \stackrel{\text{def}}{=} v_1(f) + v_2(f) \\ \forall_{\alpha \in \mathbb{R}} (\alpha \bowtie v_1)f &= \alpha \cdot v_1(f) \end{aligned}$$

Pytanie 20 Co to znaczy, że f - klasy $C^\infty(M)$?

Jeżeli $\psi \circ f \circ \varphi^{-1}$ - jest klasy C^∞ .

Związek między $T_p M$, a $D_p M$:

Niech $v = 5e_x + 6e_y \in T_p M$. Czy znajdziemy odwzorowanie z $T_p M$ do $D_p M$, (które dokładnie jednemu v przyporządkowałoby jeden element). \rightarrow izomorfizm między $T_p M$ i $D_p M$.

19.1 asdasd

Zbiór wszystkich wektorów stycznych zaczepionych w punkcie $p \in M$ oznaczamy przez $T_p M$ i nazywamy przestrzenią styczną. (Uwaga: warunek (*) nie zależy od wyboru mapy).

Chcemy wyposażać $T_p M$ w strukturę przestrzeni wektorowej. Potrzebujemy działań.

Niech $v_1, v_2 \in T_p M$ i $v_1 = [\sigma_1], v_2 = [\sigma_2]$. Wówczas

$$\begin{aligned} v_1 \diamond v_2 &\stackrel{\text{def}}{=} [\varphi^{-1}(\varphi(\sigma_1)) + \varphi(\sigma_2)] \\ \forall_{\alpha \in \mathbb{R}} \alpha \cdot v_1 &\stackrel{\text{def}}{=} [\varphi^{-1}(\alpha \cdot \varphi(\sigma_1))] . \end{aligned}$$

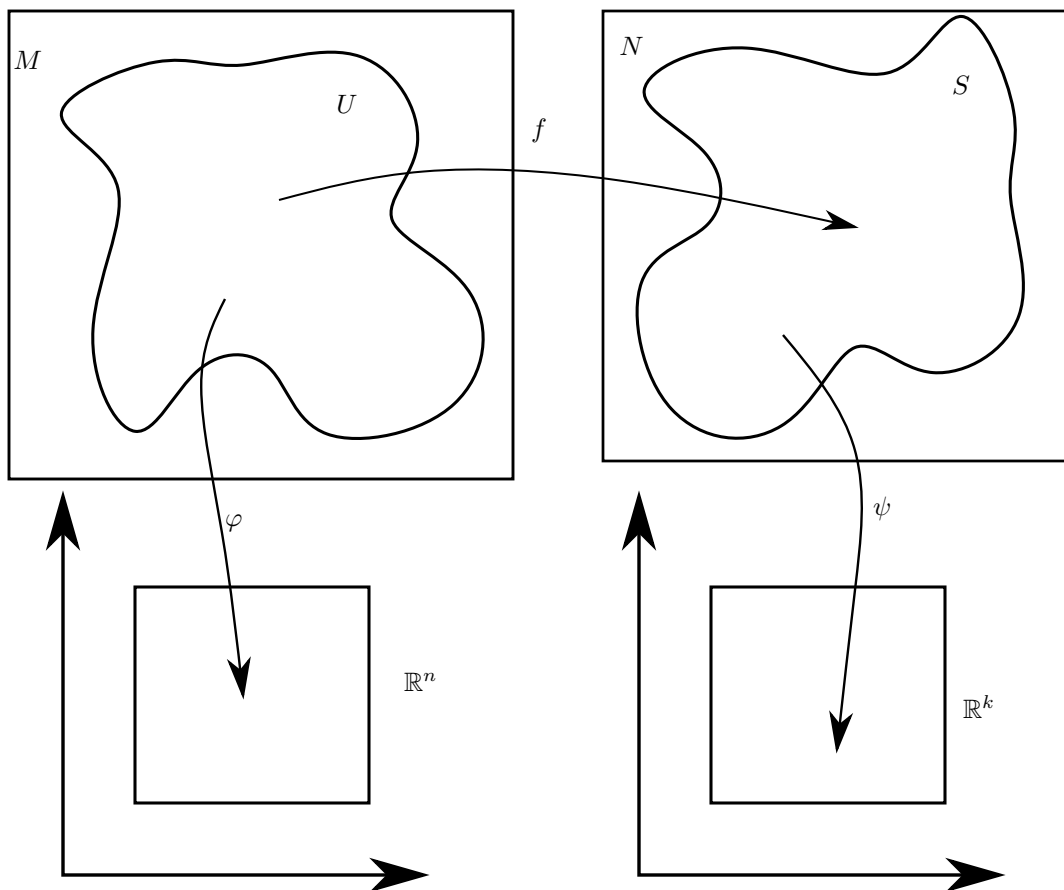
$T_p M$ wraz z działaniami (\diamond, \cdot) ma strukturę przestrzeni wektorowej. Zbiór

$$TM \stackrel{\text{def}}{=} \{p \in M, T_p M\}$$

nazywamy wiązką styczną.

Pytanie 21 Czy w TM możemy zadać strukturę przestrzeni wektorowej?

Odpowiedź: NIE DA SIĘ



Rysunek 40: f nie musi być bijekcją jakby co

19.2 Przestrzeń różniczkowa

Niech $f : M \rightarrow \mathbb{R}$, f - klasy $\mathcal{C}^\infty(M)$

niech $v(\cdot) : \mathcal{C}^\infty(M) \rightarrow \mathbb{R}$, takie, że

$$\forall_{f,g \in \mathcal{C}^\infty(M)} v(f \cdot g) = v(f) + v(g)$$

$$\forall_{\alpha \in \mathbb{R}} \forall_{f \in \mathcal{C}^\infty(M)} v(\alpha f) = \alpha v(f)$$

$$\forall_{f,g \in \mathcal{C}^\infty(M)} v(f \cdot g) = f(p) \cdot v(g) + g(p)v(f).$$

$v(\cdot)$ spełniający te warunki nazywamy różniczkowaniem w punkcie p .

20 Wykład (28.05.2019)

Widzimy, że ten obrazek, który nam się jawi jest w miarę rozbudowany. Ostatnio wprowadziliśmy na baloniku układ współrzędnych.

$$\begin{aligned}
 v &= [\sigma], v \in T_p M, v() \in D_p M \\
 v(f) &= \frac{d}{dt} f(\sigma(t))|_{t=0} \\
 v() &= ? \cdot ? + ? \cdot ? + ? \cdot ? = \frac{d}{dt} (f \circ \varphi^{-1} \circ \varphi \circ \sigma(t))|_{t=0} = \\
 &= \frac{d}{dt} (\tilde{f} \circ \varphi(\sigma(t)))|_{t=0} = \frac{d}{dt} (\tilde{f}(\varphi^1(\sigma(t)), \varphi^2(\sigma(t)), \dots, \varphi^n(\sigma(t))))|_{t=0} = \\
 &= \frac{\partial \tilde{f}}{\partial x^1} \frac{\partial \varphi^1(\sigma(t))}{\partial t} + \dots + \frac{\partial \tilde{f}}{\partial x^n} \frac{\partial \varphi^n(\sigma(t))}{\partial t}.
 \end{aligned}$$

Czyli jeżeli $v \in T_p M$ i $v \in [\sigma]$, to wiemy, że

$$\begin{aligned}
 v &= \frac{\partial \varphi^1(\sigma(t))}{\partial t}|_{t=0} e_1 + \frac{\partial \varphi^2(\sigma(t))}{\partial t}|_{t=0} e_2 + \dots + \frac{\partial \varphi^n(\sigma(t))}{\partial t}|_{t=0} e_n = \\
 &= \xi^1 e_1 + \xi^2 e_2 + \dots + \xi^n e_n = \\
 &= \xi_1 \frac{\partial \tilde{f}}{\partial x^1} + \xi_2 \frac{\partial \tilde{f}}{\partial x^2} + \dots + \xi_n \frac{\partial \tilde{f}}{\partial x^n} = v(f).
 \end{aligned}$$

Zatem

$$v() = \xi_1 \frac{\partial}{\partial x^1} + \xi_2 \frac{\partial}{\partial x^2} + \dots + \xi_n \frac{\partial}{\partial x^n}.$$

Przykład 37 Więć niech $v = 2e_x + 3e_y \rightarrow v() = 2 \cdot \frac{\partial}{\partial x} + 3 \cdot \frac{\partial}{\partial y}$.

Wniosek: mając izomorfizm między $T_p M$ i $D_p M$ możemy zapisać bazy:

$$T_p M = \langle e_1, e_2, \dots, e_n \rangle.$$

To wtedy

$$D_p M = \left\langle \frac{\partial}{\partial x^1}, \frac{\partial}{\partial x^2}, \dots, \frac{\partial}{\partial x^n} \right\rangle.$$

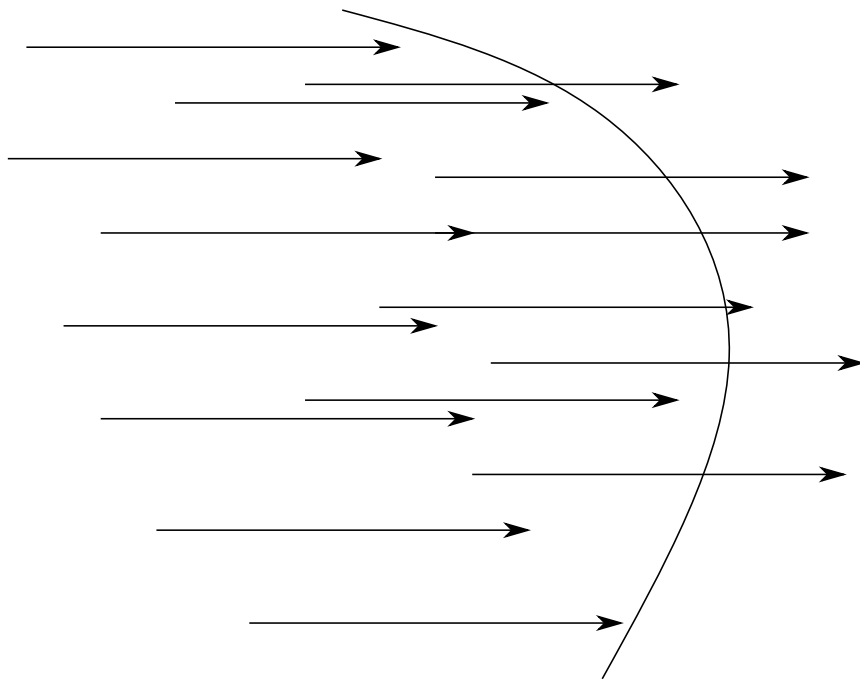
np. $v = 7e_r + 8e_\varphi \rightarrow v() = 7 \frac{\partial}{\partial r} + 8 \frac{\partial}{\partial \varphi}$ (często użyjemy bazy z $D_p M$ jako bazy $T_p M$).

Definicja 21 Wektorem kostycznym (albo jednoformą) nazywamy odwzorowanie liniowe $\omega : T_p M \rightarrow \mathbb{R}$. Zbiór jednoform ($p \in M$) oznaczamy przez $T_p^* M$ (lub $\Lambda^1(M)$, $\Lambda^1(\theta)$, $\theta \in M$)

Skoro $T_p^* M$ jest dualna do $T_p M$, to ma ten sam wymiar i możemy wprowadzić bazę dualną. $T_p^* M = \langle dx^1, dx^2, \dots, dx^n \rangle$, gdzie $\langle dx^i, \frac{\partial}{\partial x^i} \rangle = \delta_j^i$

Przykład 38 Niech $\Lambda^1(M) \rightarrow \omega = 7dx + 3dy$, $v \in T_p M = 2 \frac{\partial}{\partial x} + 4 \frac{\partial}{\partial y}$, wówczas

$$\begin{aligned}
 \langle \omega, v \rangle &= \left\langle 7dx + 3dy, 2 \frac{\partial}{\partial x} + 4 \frac{\partial}{\partial y} \right\rangle = \\
 &= \left\langle 7dx, 2 \frac{\partial}{\partial x} + 4 \frac{\partial}{\partial y} \right\rangle + 3 \left\langle dy, 2 \frac{\partial}{\partial x} + 4 \frac{\partial}{\partial y} \right\rangle = \\
 &= 7 \cdot 2 \left\langle dx, \frac{\partial}{\partial x} \right\rangle + 7 \cdot 4 \left\langle dx, \frac{\partial}{\partial y} \right\rangle + 3 \cdot 2 \left\langle dy, \frac{\partial}{\partial x} \right\rangle + 3 \cdot 4 \left\langle dy, \frac{\partial}{\partial y} \right\rangle \\
 &= 7 \cdot 2 + 3 \cdot 4.
 \end{aligned}$$



Rysunek 41: Strumień przez balonik

Przykład 39

$$v = A^x \frac{\partial}{\partial x} + A^y \frac{\partial}{\partial y} + A^z \frac{\partial}{\partial z}, \omega = B_x dx + B_y dy + B_z dz =$$

$$= \langle \omega, v \rangle = A^x B_x + A^y B_y + A^z B_z.$$

Definicja 22 Zbiór wszystkich odwzorowań $T_p M \times \dots \times T_p M \rightarrow \mathbb{R}$ k - liniowych w każdej zmiennej i antysymetrycznych oznaczamy przez $\Lambda^k(M)$ i nazywamy k -formami.

Wersja 1:

Niech $\alpha \in T_p^* M, \beta \in T_p^* M (\alpha \in \Lambda_p^1 M, \beta \in \Lambda_p^1 M)$.

Odwzorowanie $\wedge : T_p^* M \times T_p^* M \rightarrow \Lambda^2(\theta), \theta \in M$ nazywamy iloczynem zewnętrznym i definiujemy tak:

$$\langle \alpha \wedge \beta; v, w \rangle \stackrel{\text{def}}{=} \begin{vmatrix} \alpha(v) & \beta(v) \\ \alpha(w) & \beta(w) \end{vmatrix}.$$

Przykład 40 Niech $\alpha = 7dx + 4dy, \beta = 2dx + 3dy, v = 1 \frac{\partial}{\partial x} + 4 \frac{\partial}{\partial y}, w = 2 \frac{\partial}{\partial x} + \frac{\partial}{\partial y}$
Wtedy

$$\langle \alpha \wedge \beta; v, w \rangle = \begin{vmatrix} \alpha(v) & \beta(v) \\ \alpha(w) & \beta(w) \end{vmatrix} = \begin{vmatrix} 7 \cdot 1 + 4 \cdot 4 & 2 \cdot 1 + 3 \cdot 4 \\ 7 \cdot 2 + 4 & 2 \cdot 2 + 3 \end{vmatrix}.$$

Obserwacja: $\alpha \wedge \beta = -\beta \wedge \alpha$. Tzn. $\alpha \wedge \alpha = 0$. Ważny przykład:

Przykład 41

$$\begin{aligned}
\alpha &= A_x dx + A_y dy + A_z dz, \beta = B_x dx + B_y dy + B_z dz \\
\alpha \wedge \beta &= (A_x dx + A_y dy + A_z dz) \wedge (B_x dx + B_y dy + B_z dz) = \\
&= (A_x dx + A_y dy + A_z dz) \wedge B_x dx + (A_x dx + A_y dy + A_z dz) \wedge B_y dy + \\
&+ (A_x dx + A_y dy + A_z dz) \wedge B_z dz = A_y B_x dy \wedge dx + A_z B_x dz \wedge dx + \\
&+ A_x B_y dx \wedge dy + A_z B_y dz \wedge dy + A_x B_z dx \wedge dz + A_y B_z dy \wedge dz = \\
&= (A_x B_y - A_y B_x) dx \wedge dy + (A_y B_z - A_z B_y) dy \wedge dz + (A_z B_x - A_x B_z) dz \wedge dx
\end{aligned}$$

Potrzebujemy jeszcze jednego klocka, żeby zobaczyć gdzie tu siedzi fizyka.

Definicja 23 Odwzorowanie $d : \Lambda^k(M) \rightarrow \Lambda^{k+1}(M)$ nazywamy różniczką zewnętrzną (ewentualnie pochodną zewnętrzną) i definiujemy następująco:

$$\begin{aligned}
df &= \frac{\partial f}{\partial x^1} dx^1 + \frac{\partial f}{\partial x^2} dx^2 + \dots + \frac{\partial f}{\partial x^n} dx^n, f : \theta \rightarrow \mathbb{R} \\
&(\text{funkcje nazywamy zero-formami } f \in \Lambda^0(\theta)) \\
\omega \in \Lambda^p(\theta), \eta \in \Lambda^L(\theta) &\implies d(\omega \wedge \eta) = d\omega \wedge \eta + (-1)^p \omega \wedge d\eta \\
dd\omega &= 0, \omega \in \Lambda^k(\theta).
\end{aligned}$$

Przykład 42 $f(r, \theta, \varphi)$ - funkcja z \mathbb{R}^3 w \mathbb{R}^1 .

$$\begin{aligned}
df &= \frac{\partial f}{\partial r} dr + \frac{\partial f}{\partial \theta} d\theta + \frac{\partial f}{\partial \varphi} d\varphi \\
\alpha &= 7x^2 y dx \\
d\alpha &= d(7x^2 y) \wedge dx = \left(\frac{\partial}{\partial x} (7x^2 y) dx + \frac{\partial}{\partial y} (7x^2 y) dy \right) \wedge dx = 7x^2 dy \wedge dx.
\end{aligned}$$

Przykład 43 Niech $F = -E_x dt \wedge dx - E_y dt \wedge dy - E_z dt \wedge dz + B_x dy \wedge dz + B_y dz \wedge dx + B_z dx \wedge dy$

$$\begin{aligned}
dF &= \left(-\frac{\partial E_x}{\partial y} dy - \frac{\partial E_x}{\partial z} dz \right) \wedge dt \wedge dx + \\
&+ \left(-\frac{\partial E_y}{\partial x} dx - \frac{\partial E_y}{\partial z} dz \right) \wedge dt \wedge dy + \\
&+ \left(-\frac{\partial E_z}{\partial x} dx - \frac{\partial E_z}{\partial y} dy \right) \wedge dt \wedge dz + \\
&+ \left(\frac{\partial B_x}{\partial t} dt + \frac{\partial B_x}{\partial x} dx \right) \wedge dy \wedge dz + \\
&+ \left(\frac{\partial B_y}{\partial t} dt + \frac{\partial B_y}{\partial y} dy \right) \wedge dz \wedge dx + \\
&+ \left(\frac{\partial B_z}{\partial t} dt + \frac{\partial B_z}{\partial z} dz \right) \wedge dx \wedge dy = \\
&= \underbrace{\left(-\frac{\partial E_x}{\partial y} + \frac{\partial E_y}{\partial x} + \frac{\partial B_z}{\partial t} \right)}_{\text{rot} E - \frac{\partial B}{\partial t}} dt \wedge dx \wedge dy + \\
&+ \underbrace{\left(-\frac{\partial E_y}{\partial z} + \frac{\partial E_z}{\partial y} + \frac{\partial B_x}{\partial t} \right)}_{\text{rot} E - \frac{\partial B}{\partial t}} dt \wedge dy \wedge dz + \\
&+ \underbrace{\left(-\frac{\partial E_x}{\partial z} + \frac{\partial E_z}{\partial x} - \frac{\partial B_y}{\partial t} \right)}_{\text{rot} E - \frac{\partial B}{\partial t}} dt \wedge dx \wedge dz + \\
&+ \underbrace{\left(\frac{\partial B_x}{\partial x} + \frac{\partial B_y}{\partial y} + \frac{\partial B_z}{\partial z} \right)}_{\nabla B} dx \wedge dy \wedge dz.
\end{aligned}$$

I to są równania Maxwella (przynajmniej pierwsza ich część) $dF = 0$

21 Wykład (31.05.2019)

Definicja 24 Niech $\alpha_1, \alpha_2, \dots, \alpha_k \in T_p^*M \in \Lambda'(M)$, wówczas $\alpha_1 \wedge \alpha_2 \wedge \dots \wedge \alpha_k \in \Lambda^k(M)$ i dla $v_1, v_2, \dots, v_k \in T_p^*M$,

$$\langle \alpha_1 \wedge \alpha_2 \wedge \dots \wedge \alpha_k; v_1, v_2, \dots, v_k \rangle \stackrel{def}{=} \begin{bmatrix} \alpha_1(v_1)\alpha_2(v_1) \dots \alpha_k(v_1) \\ \vdots \\ \alpha_1(v_k)\alpha_2(v_k) \dots \alpha_k(v_k) \end{bmatrix}.$$

Uwagi do operatora d ($dd = 0$):

Niech $M = \mathbb{R}^3, f: \mathbb{R}^3 \rightarrow \mathbb{R}^1 \in \Lambda^0(M)$

$$\begin{aligned} df &= \frac{\partial f}{\partial x} dx + \frac{\partial f}{\partial y} dy + \frac{\partial f}{\partial z} dz \\ ddf &= d\left(\frac{\partial f}{\partial x}\right) \wedge dx + d\left(\frac{\partial f}{\partial y}\right) \wedge dy + d\left(\frac{\partial f}{\partial z}\right) \wedge dz = \\ &= \left(\frac{\partial^2 f}{\partial x^2} dx + \frac{\partial^2 f}{\partial y \partial x} dy + \frac{\partial^2 f}{\partial z \partial x} dz\right) \wedge dx + \left(\frac{\partial^2 f}{\partial x \partial z} dx + \frac{\partial^2 f}{\partial y \partial z} dy\right) \wedge dy \\ &\quad + \left(\frac{\partial^2 f}{\partial x \partial z} dx + \frac{\partial^2 f}{\partial y \partial z} dz\right) \wedge dz \\ &= \left(\frac{\partial^2 f}{\partial y \partial x} - \frac{\partial^2 f}{\partial x \partial y}\right) dy \wedge dx + \left(\frac{\partial^2 f}{\partial z \partial y} - \frac{\partial^2 f}{\partial y \partial z}\right) dz \wedge dy + \\ &= \left(\frac{\partial^2 f}{\partial z \partial x} - \frac{\partial^2 f}{\partial x \partial z}\right) dz \wedge dx = 0. \end{aligned}$$

Niech $\alpha = A_x dx + A_y dy + A_z dz$

$$\begin{aligned} d\alpha &= \left(\frac{\partial A_x}{\partial y} - \frac{\partial A_y}{\partial x}\right) dy \wedge dx + \left(\frac{\partial A_z}{\partial y} - \frac{\partial A_y}{\partial z}\right) dz \wedge dy + \\ &\quad + \left(\frac{\partial A_z}{\partial x} - \frac{\partial A_x}{\partial z}\right) dz \wedge dx \\ d d\alpha &= \left(\pm \left(\frac{\partial^2 A_x}{\partial z \partial y} - \frac{\partial^2 A_x}{\partial z \partial x}\right) \pm \left(\frac{\partial^2 A_z}{\partial x \partial y} - \frac{\partial^2 A_y}{\partial x \partial z}\right) \pm \left(\frac{\partial^2 A_z}{\partial y \partial x} - \frac{\partial^2 A_x}{\partial y \partial z}\right)\right) dx \wedge dy \wedge dz \\ &= 0. \end{aligned}$$

$$\begin{aligned} \beta &= A_x dy \wedge dz + A_y dx \wedge dz + A_z dy \wedge dx \\ d\beta &= 0 \\ dd\beta &= 0. \end{aligned}$$

Niech $M = \mathbb{R}^4$, $A = \phi dt + A_x dx + A_y dy + A_z dz$.

$$dA = \underbrace{\left(\frac{\partial \phi}{\partial x} - \frac{\partial A_x}{\partial t} \right)}_{E_x} dx \wedge dt + \underbrace{\left(\frac{\partial \phi}{\partial y} - \frac{\partial A_y}{\partial t} \right)}_{E_y} dy \wedge dt + \underbrace{\left(\frac{\partial \phi}{\partial z} - \frac{\partial A_z}{\partial t} \right)}_{E_z} dz \wedge dt +$$

$$\underbrace{\left(\frac{\partial A_y}{\partial x} - \frac{\partial A_x}{\partial y} \right)}_{B_z} dx \wedge dy + \underbrace{\left(\frac{\partial A_z}{\partial y} - \frac{\partial A_y}{\partial z} \right)}_{B_x} dy \wedge dz + \underbrace{\left(\frac{\partial A_x}{\partial z} - \frac{\partial A_z}{\partial x} \right)}_{B_y} dz \wedge dx$$

$$ddA = 0.$$

niech $dA = F$

$$dF = 0.$$

Pytanie: niech M - rozmaitość wymiaru 3 (bo mamy bijekcję między $\theta \in M$ i \mathbb{R}^3). Czy istnieje $\Lambda^4(M)$?

niech $M = \mathbb{R}^3$

$\Lambda^0(M)$	$f : \mathbb{R}^3 \rightarrow M$	$\dim \Lambda^1(M) = 3$
$\Lambda^1(M)$	$\alpha = A_x dx + A_y dy + A_z dz$	$\Lambda^1(\eta) = \langle dx, dy, dz \rangle$
$\Lambda^2(M)$	$\beta = A_z dx \wedge dy + A_y dz \wedge dx + A_x dy \wedge dz$	$\Lambda^2(M) = \langle dx \wedge dy, dz \wedge dx, dy \wedge dz \rangle$
$\dim(\Lambda^2(M)) = 3$		
$\Lambda^3(\eta)$	$\gamma = f dx \wedge dy \wedge dz$	$\Lambda^3(M) = \langle dx \wedge dy \wedge dz \rangle$
$\dim(\Lambda^3(M)) = 1.$		

Niech $M = \mathbb{R}^4$.

$\Lambda^0(M)$	$f(t, x, y, z) \rightarrow \mathbb{R}$	$\dim \Lambda^0(M) = 1$
$\Lambda^1(M)$	$\alpha = A_t dt + A_x dx + A_y dy + A_z dz$	$\dim \Lambda^1(M) = 4$
$\Lambda^2(M)$	$\beta = A_1 dt \wedge dx + A_2 dt \wedge dy + A_3 dt \wedge dz + B_1 dy \wedge dx + B_2 dz \wedge dx + C_1 dz \wedge dy$	$\dim \Lambda^2(M) = 6$
$\Lambda^3(M) :$	$\gamma = C_1 dy \wedge dt \wedge dx + C_2 dz \wedge dt \wedge dx + D_1 dz \wedge dt \wedge dy + E_1 dx \wedge dy \wedge dz$	$\dim \Lambda^3(M) = 4$
$\Lambda^4(M)$	$\delta = g dt \wedge dx \wedge dy \wedge dz$	$\dim \Lambda^4(M) = 1.$

21.1 Pchnięcia i cofnięcia

Niech M, N - rozmaitości $\dim M = n, \dim N = k$ i niech $h : M \rightarrow N$. (h nie musi być bijekcją !!!)

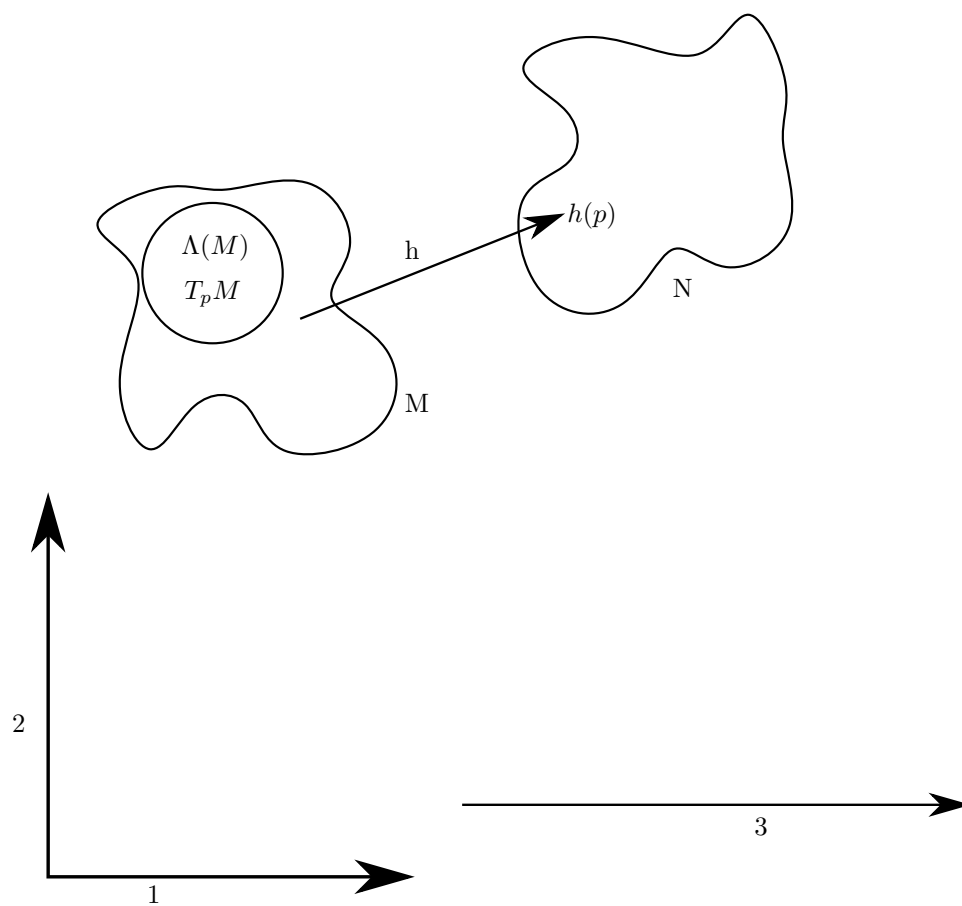
Niech $p \in M$. Pchnięciem punktu p w odwzorowaniu h nazywamy punkt $h_*(p) \stackrel{\text{def}}{=} h(p)$

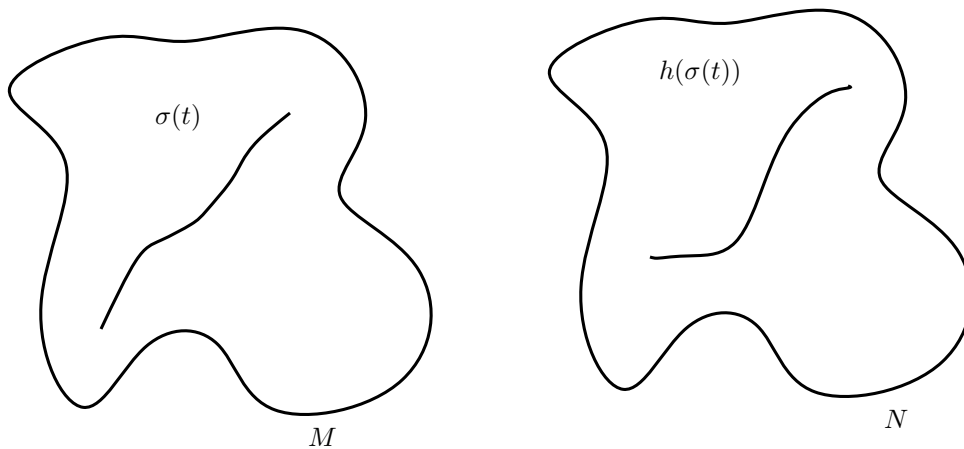
Przykład 44 Niech $M = \mathbb{R}^2$, $N = \mathbb{R}$, $h(x, y) = x + y, h : \mathbb{R}^2 \rightarrow \mathbb{R}$.

$$p = \begin{bmatrix} 1 \\ 2 \end{bmatrix}, h_*(p) = 3$$

$$M = \mathbb{R}^1, N = \mathbb{R}^3, h(t) = \begin{bmatrix} \cos t \\ \sin t \\ t \end{bmatrix}, p = \frac{\pi}{2}.$$

$$h_x(\frac{\pi}{2}) = \begin{bmatrix} \cos \frac{\pi}{2} \\ \sin \frac{\pi}{2} \\ \frac{\pi}{2} \end{bmatrix}$$





Niech $\sigma(t)$ - krzywa na M . Pchnięciem krzywej σ w odwzorowaniu h nazywamy krzywą $h_*(\sigma(t)) \stackrel{\text{def}}{=} h(\sigma(t))$

Niech $f : N \rightarrow \mathbb{R}^2$. Cofnięciem funkcji f w odwzorowaniu h nazywamy funkcję

$$h^* f(p) = f(h(p)).$$

Przykład 45 $M = \mathbb{R}^2, N = \mathbb{R}, f : N \rightarrow \mathbb{R}^2, f(t) = \begin{bmatrix} 2t \\ t \end{bmatrix}, h(x, y) = x + y$.

$$h^* f(x, y) = f(h(x, y)) = \begin{bmatrix} 2(x + y) \\ x + y \end{bmatrix}.$$

Pchnięciem wektora V w odwzorowaniu h nazywamy wektor

$$h_* V = [h(\sigma)], h_* v \in T_{h(p)} N.$$

Przykład 46 Niech $M = \mathbb{R}^2, N = \mathbb{R}, h(x, y) = x + 2y, v = 2\frac{\partial}{\partial x} + 3\frac{\partial}{\partial y}$. Co to jest $h_* v$?
 $p = (1, 2) = (\varphi^1(p), \varphi^2(p))$

$$\begin{aligned}
\sigma(t) &: \frac{d}{dt}(\varphi(\sigma(t)))|_{t=0} \\
\varphi(\sigma(t)) &= \begin{bmatrix} 2t+1 \\ 3t+2 \end{bmatrix} \\
h[\sigma(t)] &= 2t+1+2(3t+2) \\
h[\sigma(t)] &= 8t+5 \\
[h[\sigma(t)]] &= 8\frac{\partial}{\partial t} \in t_s N.
\end{aligned}$$

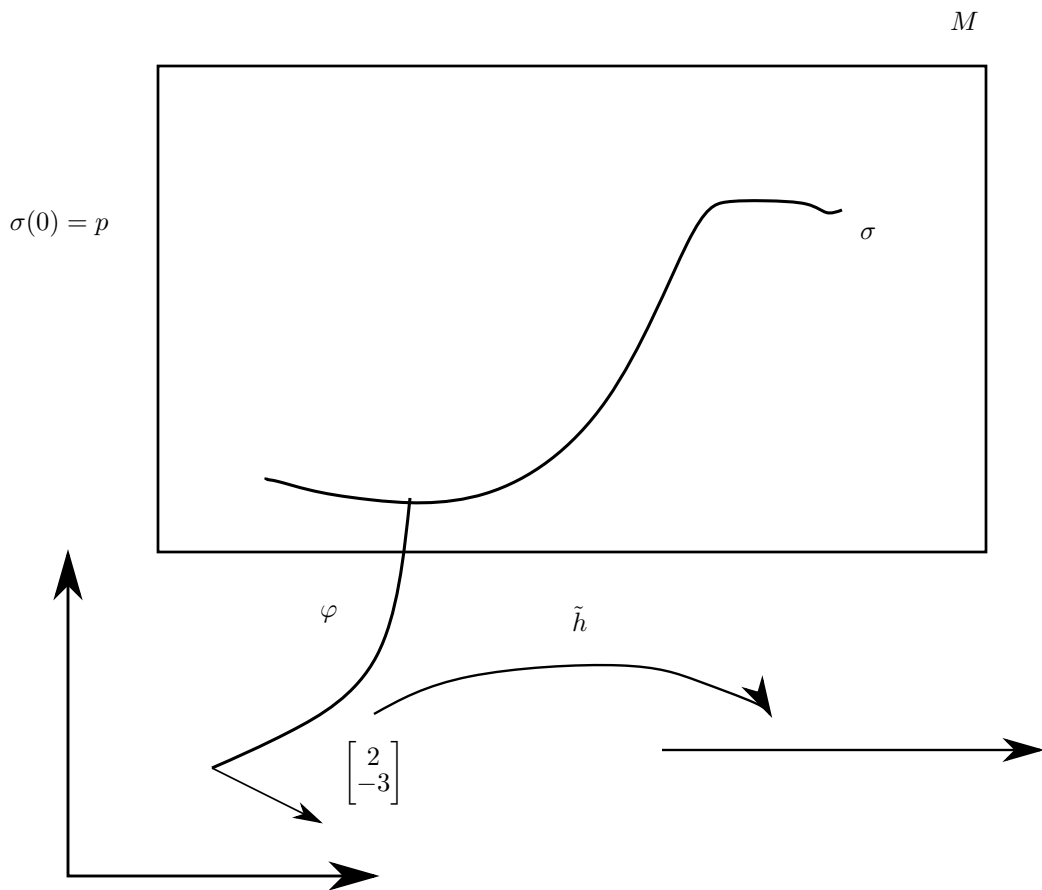
$$\dim M = n, \varphi(\sigma(t)) = (\varphi^1(\sigma(t)), \varphi^2(\sigma(t)), \dots, \varphi^n(\sigma(t))), v \in T_p M.$$

$$\begin{aligned}
v &= \frac{\partial \varphi^1(\sigma(t))}{\partial t} \Big|_{t=0} \frac{\partial}{\partial x^1} + \frac{\partial \varphi^2(\sigma(t))}{\partial t} \Big|_{t=0} \frac{\partial}{\partial x^2} \dots \frac{\partial \varphi^n(\sigma(t))}{\partial t} \Big|_{t=0} \frac{\partial}{\partial x^n}. \\
\frac{d(\varphi \circ h(\sigma(t)))}{dt} \Big|_{t=0} &= \frac{d}{dt} (\psi \circ h \circ \varphi^{-1} \sigma)_{t=0} = \frac{d}{dt} (\tilde{h} \circ \tilde{\sigma}(t)) \Big|_{t=0} \\
&= \frac{d}{dt} \tilde{h} (\tilde{\sigma}_1(t), \tilde{\sigma}_2(t), \dots, \tilde{\sigma}^n(t))_{t=0} = \tilde{h}'_{\tilde{\sigma}(0)} \frac{d\tilde{\sigma}}{dt} \Big|_{t=0} = \tilde{h}' \cdot v.
\end{aligned}$$

$$\text{Czyli ostatecznie } v = \begin{bmatrix} 2 \\ 3 \end{bmatrix}_{\frac{\partial}{\partial x}, \frac{\partial}{\partial y}}, \tilde{h}(x, y) = x + 2y \rightarrow \tilde{h}(x, y) = [1, 2].$$

$$h_* v = [1, 2] \begin{bmatrix} 2 \\ 3 \end{bmatrix} = 2 \cdot 1 + 6 = 8 \frac{\partial}{\partial t}.$$

Niech $\alpha \in \Lambda^1(?)$ - pytanie: czy formy się pcha, czy cofa?



Rysunek 42: $\tilde{h} = \psi h \varphi^{-1}$

22 Wykład (04.06.2019)

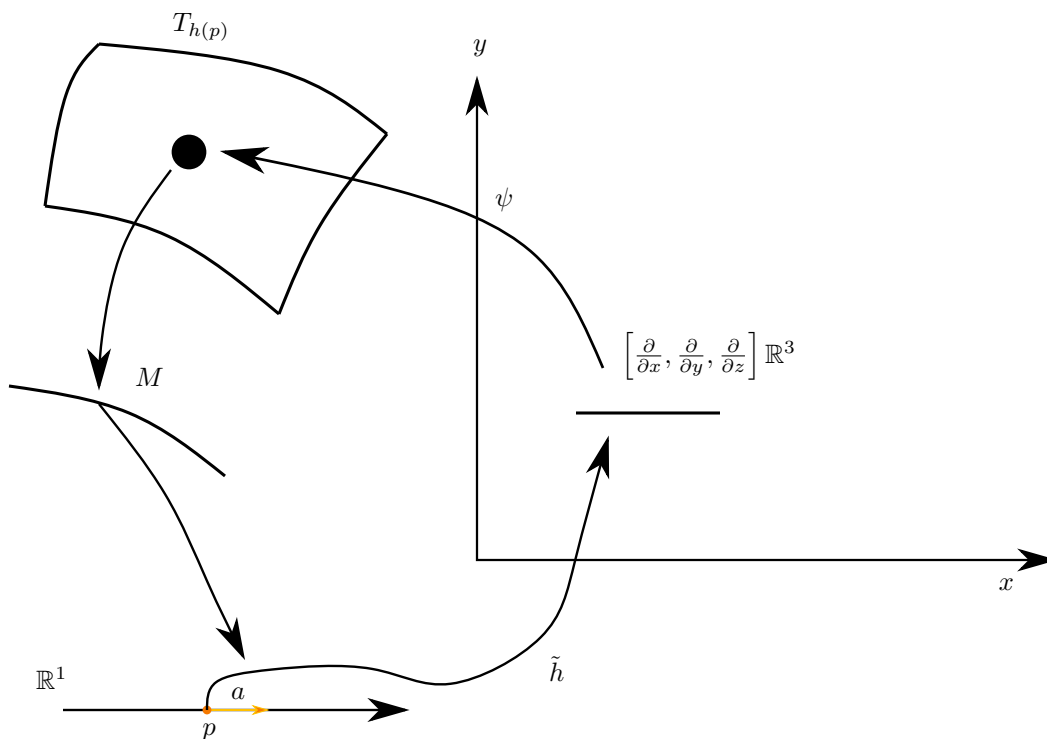
Przykład 47 (na pchnięcie wektora)

Niech $M = \mathbb{R}^1, N = \mathbb{R}^3, h(t) = \begin{bmatrix} f(t) \\ g(t) \\ r(t) \end{bmatrix}$

Niech $p \in \mathbb{R}^1$, niech $v \in T_p M, v = a \frac{\partial}{\partial t}$. $v = [\sigma], \tilde{\sigma}(t) = at + p, \sigma(c) = p, \frac{d\tilde{\sigma}(t)}{dt}|_{t=0} = a$.

$$h_x \sigma = \begin{bmatrix} f(at + p) \\ g(at + p) \\ r(at + p) \end{bmatrix}, h_x v = [h_x \sigma], \frac{d}{dt}(\tilde{h}_x \sigma)|_{t=0}.$$

$$h_x v = \begin{bmatrix} a f'(p) \\ a g'(p) \\ a r'(p) \end{bmatrix} = a f'(p) \frac{\partial}{\partial x} + a g'(p) \frac{\partial}{\partial y} + a r'(p) \frac{\partial}{\partial z}.$$



Definicja 25 Niech M, N - rozmaitości, $h : M \rightarrow N$ i niech $p \in M, \alpha \in T_{h(p)}^*N$. Cofnięciem formy α w odwzorowaniu h nazywamy formę $h^*\alpha \in T_p^*M$, taką, że $\langle h^*\alpha, v \rangle = \langle \alpha, hv \rangle \quad \forall v \in T_p M$ i caaa. Jeżeli $\alpha_1, \alpha_2, \dots, \alpha_k \in \Lambda^1(N)$ i $v_1, \dots, v_k \in T_p(M)$, to

$$h^*(\alpha_1 \wedge \dots \wedge \alpha_k), v_1, \dots, v_k \stackrel{\text{def}}{=} \begin{bmatrix} \langle h^*\alpha_1, v_1 \rangle & \langle h^*\alpha_2, v_1 \rangle & \dots & \langle h^*\alpha_k, v_1 \rangle \\ \vdots & & & \\ \langle h^*\alpha_k, v_k \rangle & \langle h^*\alpha_k, v_k \rangle & \dots & \langle h^*\alpha_k, v_k \rangle \end{bmatrix}.$$

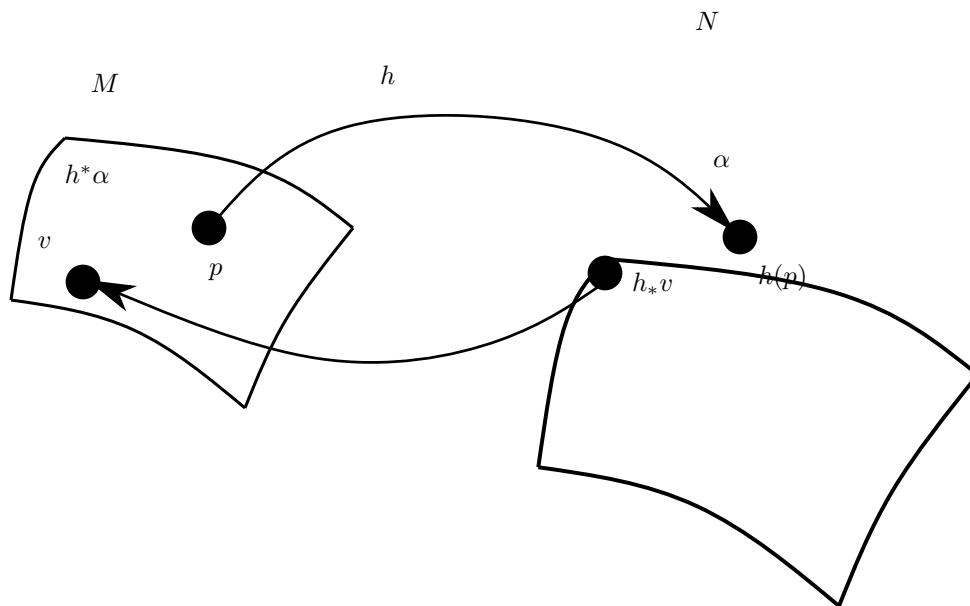
Czyli

$$h^*(\alpha_1 \wedge \dots \wedge \alpha_k) = (h^*\alpha_1) \wedge (h^*\alpha_2) \wedge \dots \wedge h^*(\alpha_k).$$

Przykład 48 (wstępny)

Niech $\alpha = 3(x^2 + y^2)dx - 2xdy + 2z^2dz, \alpha \in \Lambda^1(N)$ (jednoformy nad N , $\dim N = 3$, chociaż można dać więcej jak się chce).

$$h(t) = \begin{bmatrix} \sin(t) \\ \cos(t) \\ t \end{bmatrix}. \text{ Czym jest } h^*\alpha?$$



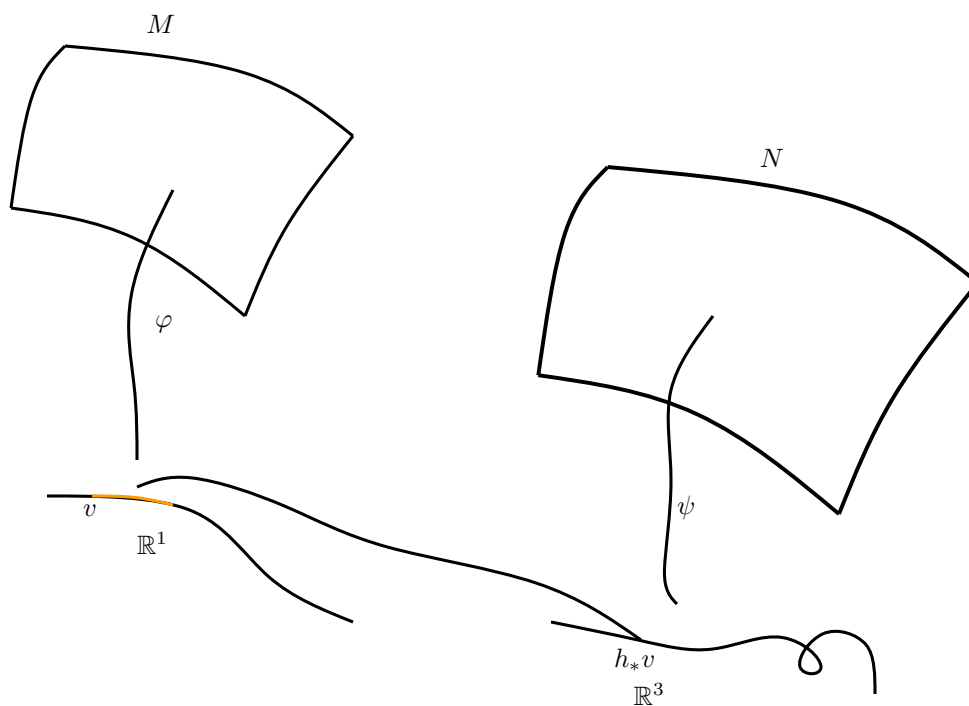
Rysunek 43: $\langle h^* \alpha, v \rangle \stackrel{\text{def}}{=} \langle \alpha, h_* v \rangle$

$$\langle h^* \alpha, v \rangle = \langle \alpha, h_* v \rangle .$$

Niech $v \in T_p M$ i $v = a \frac{\partial}{\partial t}$. Zatem $h_* v = a \cos(p) \frac{\partial}{\partial x} - a \sin(p) \frac{\partial}{\partial y} + a \cdot 1 \frac{\partial}{\partial t}$.

$$\begin{aligned} \langle \alpha, h_* v \rangle &= \langle 3 (\sin^2(t) + \cos^2(t)) dx - 2 (\sin(t)) dy + 2 (t^2) dz, h_* v \rangle = \\ &= \left\langle 3 dx - 2 \sin(t) dy + 2 t' dz, a \cos(t) \frac{\partial}{\partial x} - a \sin(t) \frac{\partial}{\partial y} + a \cdot 1 \frac{\partial}{\partial z} \right\rangle_{t=p} \\ &= 3a \cos(t) + 2a \sin^2(t) + at^2|_{t=p} = \\ &= \left\langle (3 \cos(t) dt + 2a \sin^2(t) + at^2) |_{t=p}, a \frac{\partial}{\partial t} \right\rangle = \\ &\text{czyli } h^* \alpha = (3 \cos(t) + 2 \sin^2(t) + t^2) dt \end{aligned}$$

Na skróty!



$$\begin{aligned}x &= \sin(t) \\y &= \cos(t) \\z &= t\end{aligned}$$

$$\begin{aligned}dx &= \cos(t)dt \\dy &= -\sin(t)dt \\dz &= dt.\end{aligned}$$

Zatem

$$\begin{aligned}h^*\alpha &= 3(\sin^2(t) + \cos^2(t))\cos(t)dt - 2\sin(t)(-\sin tdt) + 2t^2dt \\&= (3\cos(t) + 2\sin^2(t) + 2t^2)dt.\end{aligned}$$

Przykład 49 Niech $M = \mathbb{R}^4, N = \mathbb{R}^4$.

$$\begin{aligned}
\gamma &= \frac{1}{\sqrt{1-v^2}}, \\
c &= 1 \\
h: \quad t &= \gamma(t' - vx') \\
x &= \gamma(x' - vt') \\
y &= y' \\
z &= z'.
\end{aligned}$$

Czyli

$$\begin{aligned}
dt &= \gamma(dt' - vdx') \\
dx &= \gamma(dx' - vdt') \\
dy &= dy' \\
dz &= dz'.
\end{aligned}$$

Chcemy cofnąć naszą formę. Na fizyce nie używamy słowa cofnięte.

$$\begin{aligned}
F' &= -E_x (\gamma(dt' - vdx')) \wedge \gamma(dx' - vdt') - E_y \gamma(dt' - vdx') \wedge dy' = \\
&= -E_x \gamma^2 (1 - v^2) dt' \wedge dx' - E_y \gamma dt' \wedge dy' + E_y \gamma v dx' \wedge dy' = \\
&= -E_x \frac{1}{1 - v^2} (1 - v^2) dt' \wedge dx' - E_y \gamma dt' \wedge dy' + \gamma v E_x dx' \wedge dy' \\
F' &= -E'_x dt' \wedge dx' - E'_y dt' \wedge dy' + B'_z dx' \wedge dy'
\end{aligned}$$

Czyli

$$\begin{aligned}
E'_x &= E_x \\
E'_y &= \gamma E_y \\
B'_z &= \gamma v E_y.
\end{aligned}$$

Obserwacja: Niech $\alpha \in \Lambda^1(N)$, $\dim N = k$, niech M - rozmaitość, $\dim M = n$ i $h : M \rightarrow N$. Wówczas

$$h^* f \in \Lambda^0(M).$$

Oraz

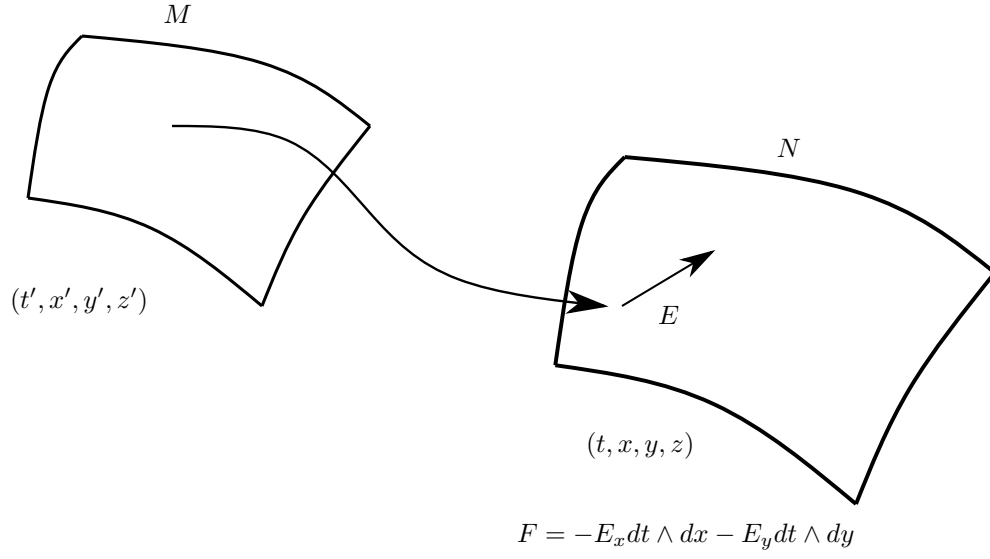
$$d(h^* f) = h^*(df).$$

Dowód 24 Skoro $f \in \Lambda^0(N)$, to $f(x^1, x^2, \dots, x^k)$,
 $df = \frac{\partial f}{\partial x^1} dx^1 + \frac{\partial f}{\partial x^2} dx^2 + \dots + \frac{\partial f}{\partial x^k} dx^k$.

$$\langle h^*(df), v \rangle = \langle df, h_x v \rangle, v \in T^p M.$$

Niech $V \in T_p M$.

$$\tilde{h}(t_1, \dots, t_n) = \begin{bmatrix} h_1(t_1, \dots, t_n) \\ \vdots \\ h_k(t_1, \dots, t_n) \end{bmatrix}.$$



Jeżeli $v = a_1 \frac{\partial}{\partial t^1} + a_2 \frac{\partial}{\partial t^2} + \dots + a_n \frac{\partial}{\partial t^n}$, *to* $h_* v = \left([h'] \begin{bmatrix} a_1 \\ \vdots \\ a_n \end{bmatrix} \right)_{\frac{\partial}{\partial x^1}, \dots, \frac{\partial}{\partial x^k}}.$

$$h_x v = \left(\begin{bmatrix} \frac{\partial h_1}{\partial t^1} & \dots & \frac{\partial h_k}{\partial t^k} \\ \vdots & & \vdots \\ \frac{\partial h_k}{\partial t^1} & \dots & \frac{\partial h_k}{\partial t^k} \end{bmatrix} \begin{bmatrix} a_1 \\ \vdots \\ a_n \end{bmatrix} \right)_{\frac{\partial}{\partial x^1}, \dots, \frac{\partial}{\partial x^k}} = \left(\frac{\partial h_1}{\partial t^1} a_1 + \dots + \frac{\partial h_1}{\partial t^n} a_n \right) \frac{\partial}{\partial x^1} +$$

$$+ \dots + \left(\frac{\partial h_k}{\partial t^1} a_1 + \dots + \frac{\partial h_k}{\partial t^n} a_n \right) \frac{\partial}{\partial x^k}.$$

Dalej

$$\begin{aligned}\langle df, h_* v \rangle &= \frac{\partial f_1}{\partial x^1} \left(\frac{\partial h_1}{\partial t^1} a_1 + \dots + \frac{\partial h_1}{\partial t^n} a_n \right) + \dots + \frac{\partial f}{\partial x^k} \left(\frac{\partial h_k}{\partial t^1} a_n + \dots + \frac{\partial h_k}{\partial t^n} a_n \right) = \\ &= \left\langle df(h_1(t_1, \dots, t_n), h_2(t_1, \dots, t_n), \dots, h_k(t_1, \dots, t_n)), a_1 \frac{\partial}{\partial t^1} + \dots + a_n \frac{\partial}{\partial t^n} \right\rangle\end{aligned}$$

.

23 Wykład (07.06.2019)

W ostatnim odcinku:

M, N - rozmaitości, $\dim M = n, \dim N = k, h : M \rightarrow N$, $\langle h^* \alpha, v \rangle = \langle \alpha, h_* v \rangle$ i ogólnie, jeżeli $\alpha_1, \dots, \alpha_k \in \Lambda^1(N)$ to $\langle h^*(\alpha_1 \wedge \alpha_2 \wedge \dots \wedge \alpha_k), v_1, \dots, v_n \rangle = \langle \alpha_1 \wedge \dots \wedge \alpha_k, h_* v_1, \dots, h_* v_n \rangle$.

Przykład 50 Niech $N = \mathbb{R}^2$ i $M = \mathbb{R}^1$, $\alpha = 7dx \wedge dy \in \Lambda^2(N)$,

$$h(t) = \begin{bmatrix} 2t \\ 3t \end{bmatrix} \rightarrow (x = 2t, y = 3t \implies dx = 2dt, dy = 3dt).$$

$$h^* \alpha = 7 \cdot 2dt \wedge 3dt = h^* \alpha = 0.$$

Ostatnio chcieliśmy pokazać, że $d(h^* f) = h^*(df)$. To jest istotne w kontekście tej dwuformy przekształcenia transformacji Lorentza co była ostatnio. ($d(h^* F) = 0 \implies dF = 0, h^* F \xrightarrow{h} F$).

Wzięliśmy sobie $f : N \rightarrow \mathbb{R} : f(x_1, \dots, x_k)$. Potem mieliśmy $h : M \rightarrow N : h(t_1, \dots, t_n) =$

$$\begin{bmatrix} h^1(t_1, \dots, t_n) \\ \vdots \\ h^k(t_1, \dots, t_n) \end{bmatrix} \text{ i chcieliśmy pokazać, że } h^*(df) = d(h^* f).$$

Wiemy, że $\langle h^*(df), v \rangle = \langle df, h_* v \rangle$ ($v \in T_p M : v = a_1 \frac{\partial}{\partial t^1} + \dots + a_n \frac{\partial}{\partial t^n}$). Przepchnięcie wektor-

$$\text{ka } h_* v = \left([h'] \begin{bmatrix} a_1 \\ \vdots \\ a_n \end{bmatrix} \right) \frac{\partial}{\partial x^1}, \dots, \frac{\partial}{\partial x^k} = \begin{bmatrix} \frac{\partial h^1}{\partial t^1} & \dots & \frac{\partial h^1}{\partial t^n} \\ \vdots & \ddots & \vdots \\ \frac{\partial h^k}{\partial t^1} & \dots & \frac{\partial h^k}{\partial t^n} \end{bmatrix} \begin{bmatrix} a_1 \\ \vdots \\ a_n \end{bmatrix} = \left(a_1 \frac{\partial h^1}{\partial t^1} + \dots + a_n \frac{\partial h^1}{\partial t^n} \right) \frac{\partial}{\partial x^1} + \dots + \left(a_1 \frac{\partial h^k}{\partial t^1} + \dots + a_n \frac{\partial h^k}{\partial t^n} \right) \frac{\partial}{\partial x^k}.$$

$$df = \frac{\partial f}{\partial x^1} dx^1 + \dots + \frac{\partial f}{\partial x^k} dx^k.$$

$$\begin{aligned} \langle df, h_* v \rangle &= \frac{\partial f}{\partial x^1} \frac{\partial h^1}{\partial t^1} a_1 + \frac{\partial f}{\partial x^1} \frac{\partial h^1}{\partial t^2} a_2 + \dots + \frac{\partial f}{\partial x^1} \frac{\partial h^1}{\partial t^n} a_n + \dots + \frac{\partial f}{\partial x^1} \frac{\partial h^k}{\partial t^1} a_1 + \dots + \frac{\partial f}{\partial x^k} \frac{\partial h^k}{\partial t^n} a_n = \\ &= a_1 \left(\frac{\partial f}{\partial x^1} \frac{\partial h^1}{\partial t^1} + \frac{\partial f}{\partial x^2} \frac{\partial h^1}{\partial t^1} + \dots + \frac{\partial f}{\partial x^k} \frac{\partial h^1}{\partial t^1} \right) + \dots + a_n \left(\frac{\partial f}{\partial x^1} \frac{\partial h^1}{\partial t^n} + \frac{\partial f}{\partial x^2} \frac{\partial h^1}{\partial t^n} + \dots + \frac{\partial f}{\partial x^k} \frac{\partial h^1}{\partial t^n} \right) = \\ &= \left\langle \left(\frac{\partial f}{\partial x^1} \frac{\partial h^1}{\partial t^1} + \frac{\partial f}{\partial x^2} \frac{\partial h^1}{\partial t^1} + \dots + \frac{\partial f}{\partial x^k} \frac{\partial h^1}{\partial t^1} \right) dt^1 + \dots + \left(\frac{\partial f}{\partial x^1} \frac{\partial h^1}{\partial t^n} + \frac{\partial f}{\partial x^2} \frac{\partial h^1}{\partial t^n} + \dots + \frac{\partial f}{\partial x^k} \frac{\partial h^1}{\partial t^n} \right) dt^n, a_1 \frac{\partial}{\partial t^1}, \dots, a_n \frac{\partial}{\partial t^n} \right\rangle = \\ &= \left\langle \underbrace{f(h^1(t^1, \dots, t^n), h^2(t^1, \dots, t^n), \dots, h^k(t^1, \dots, t^n))}_{h^* f}, \frac{\partial}{\partial t^1}, \dots, a_n \frac{\partial}{\partial t^n} \right\rangle = \langle d(h^* f), v \rangle \end{aligned}$$

co daje

$$d(h^*(\alpha_1 \wedge \dots \wedge \alpha_k)) = h^*(d(\alpha_1 \wedge \dots \wedge \alpha_k)) \quad \square.$$

23.1 Bazy w $T_p M$

Obserwacja: Niech M - rozmaitość i $\langle \cdot | \cdot \rangle$ - iloczyn skalarny. Niech e_1, \dots, e_n - baza $T_p M$. Wówczas, jeżeli $v = a_1 e_1 + \dots + a_n e_n$ i $w = b_1 e_1 + \dots + b_n e_n$ ($a_i, b_i \in \mathbb{R}, i = 1, \dots, n$).

$$\begin{aligned} \langle v | w \rangle &= \langle a_1 e_1 + \dots + a_n e_n, b_1 e_1 + \dots + b_n e_n \rangle = \\ &= a_1 b_1 \langle e_1 | e_1 \rangle + a_1 b_2 \langle e_1 | e_2 \rangle + \dots + a_1 b_n \langle e_1 | e_n \rangle + \dots + a_n b_n \langle e_n | e_n \rangle = \\ &= \begin{bmatrix} a_1 \\ \vdots \\ a_n \end{bmatrix}^T \begin{bmatrix} \langle e_1 | e_1 \rangle & \langle e_1 | e_2 \rangle & \dots & \langle e_1 | e_n \rangle \\ \vdots & \ddots & & \\ \langle e_n | e_1 \rangle & \dots & \dots & \langle e_n | e_n \rangle \end{bmatrix} \begin{bmatrix} b_1 \\ \vdots \\ b_n \end{bmatrix}. \end{aligned}$$

Macierz $[g_{ij}]$ nazywamy tensorem metrycznym $\det [g_{ij}] \stackrel{\text{ozn}}{=} g \cdot [g_{ij}]^{-1} \stackrel{\text{ozn}}{=} [g^{ij}]$ - macierz odwrotna.

W zwykłym \mathbb{R}^4 : $[g_{ij}] = \begin{bmatrix} 1 & & & \\ & 1 & & \\ & & 1 & \\ & & & 1 \end{bmatrix}$, p. Minkowskiego: $g_{\mu\nu} = \begin{bmatrix} -1 & & & \\ & 1 & & \\ & & 1 & \\ & & & 1 \end{bmatrix}, \mu, \nu = 0, \dots, 3$

Bazy w \mathbb{R}

$$\begin{array}{ccc} M = \mathbb{R}^2, & & N = \mathbb{R}^2 \\ \begin{bmatrix} x, y \\ e_x, e_y \\ \frac{\partial}{\partial x}, \frac{\partial}{\partial y} \end{bmatrix} & \xrightarrow{x=r \cos \varphi, y=r \sin \varphi} & \begin{bmatrix} r, \varphi \\ e_r, e_\varphi \\ \frac{\partial}{\partial r}, \frac{\partial}{\partial \varphi} \end{bmatrix} \\ g_{ij} = \begin{bmatrix} 1 & 0 \\ 0 & 1 \end{bmatrix} & & [?] \end{array}$$

$$h^*(e_r) = \left([h'] \begin{bmatrix} 1 \\ 0 \end{bmatrix} \right)_{\frac{\partial}{\partial x}, \frac{\partial}{\partial y}}, h^*(e_\varphi)$$

$$h(r, \varphi) = \begin{bmatrix} r \cos \varphi \\ r \sin \varphi \end{bmatrix}, h' = \begin{bmatrix} \cos \varphi & -r \sin \varphi \\ \sin \varphi & r \cos \varphi \end{bmatrix}$$

$$h^*(e_r) = \begin{bmatrix} \cos \varphi \\ \sin \varphi \end{bmatrix}_{e_x, e_y}, e_r = \cos \varphi e_x + \sin \varphi e_y$$

$$z = \cos \varphi e_x + \sin \varphi e_y$$

$$h^*(e_\varphi) = [h'] \begin{bmatrix} 0 \\ 1 \end{bmatrix} = \begin{bmatrix} -r \sin \varphi \\ r \cos \varphi \end{bmatrix}, e_\varphi = -r \sin \varphi e_x + r \cos \varphi e_y$$

$$\frac{\partial}{\partial \varphi} = -r \sin \varphi \frac{\partial}{\partial x} + r \cos \varphi \frac{\partial}{\partial y}$$

$$g_{ij} = \begin{bmatrix} \langle e_1 | e_1 \rangle & \langle e_1 | e_2 \rangle \\ \langle e_2 | e_1 \rangle & \langle e_2 | e_2 \rangle \end{bmatrix}, [g_{ij}]_{x,y} = \begin{bmatrix} 1 & 0 \\ 0 & 1 \end{bmatrix}, \langle e_x | e_x \rangle = 1, \langle e_x | e_y \rangle = 0$$

$$\langle e_r | e_r \rangle = \langle \cos \varphi e_x + \sin \varphi e_y | \cos \varphi e_x + \sin \varphi e_y \rangle = \cos^2 \varphi \langle e_x | e_x \rangle + \sin^2 \varphi \langle e_y | e_y \rangle$$

$$\langle e_r | e_\varphi \rangle = \langle \cos \varphi e_x + \sin \varphi e_y | -r \sin \varphi e_x + r \cos \varphi e_y \rangle = 0$$

$$\left\| \frac{\partial}{\partial \varphi} \right\|^2 = \langle e_\varphi | e_\varphi \rangle = \langle -r \sin \varphi e_x + r \cos \varphi e_y | -r \sin \varphi e_x + r \cos \varphi e_y \rangle = r^2.$$

$$\left\| \frac{\partial}{\partial \varphi} \right\| = r, [g_{ij}]_{r,\varphi} = \begin{bmatrix} 1 & 0 \\ 0 & r^2 \end{bmatrix}.$$

baza $\left\langle \frac{\partial}{\partial r}, \frac{\partial}{\partial \varphi} \right\rangle$ nie jest bazą ortonormalną!!!

$$e_x, e_y, e_z \rightarrow g_{ij} = \begin{bmatrix} 1 & & \\ & 1 & \\ & & 1 \end{bmatrix} \text{ - jest fajnie.}$$

$$e_r, e_\theta, e_\varphi \rightarrow \begin{bmatrix} 1 & & \\ r^2 & & \\ r^2 & \sin^2 \theta & \end{bmatrix}, \|e_\theta\| = r, \|e_\varphi\| = r \sin \theta$$

Przykład 51 Dostałem wektorek $\begin{bmatrix} 2 \\ 3 \\ 4 \end{bmatrix}$ w sferycznych. Ale w jakiej konkretnie bazie?

W fizyce mierzone wielkości np. wektorowe podajemy zawsze we współrzędnych ortonormalnych.

We współrzędnych sferycznych mamy dwie bazy: - ortogonalną: $e_r, e_\theta, e_\varphi : \left(\frac{\partial}{\partial r}, \frac{\partial}{\partial \theta}, \frac{\partial}{\partial \varphi} \right)$

- ortonormalną: $i_r, i_\theta, i_\varphi : \left(\frac{\partial}{\partial r}, \frac{1}{r} \frac{\partial}{\partial \theta}, \frac{1}{r \sin \theta} \frac{\partial}{\partial \varphi} \right)$. Więc jeżeli ktoś powiedział, że dostał $\begin{bmatrix} 2 \\ 3 \\ 4 \end{bmatrix}$ to znaczy,

że ma $2 \frac{\partial}{\partial r} + 3 \frac{1}{r} \frac{\partial}{\partial \theta} + 4 \frac{1}{r \sin \theta} \frac{\partial}{\partial \varphi}$.

Obserwacja: niech $v = a_1 e_1 + a_2 e_2 + a_3 e_3$ i niech $w = b_1 e_1 + b_2 e_2 + b_3 e_3$ i niech $g_{ij} = \begin{bmatrix} g_{11} & g_{12} & g_{13} \\ g_{21} & g_{22} & g_{23} \\ g_{31} & g_{32} & g_{33} \end{bmatrix}$ - tensor metryczny. Wówczas wiemy, że $\langle v|w \rangle = [v]^T [g_{ij}] [w] = \underbrace{\left[a_1 g_{11} + a_2 g_{21} + a_3 g_{31}, \sum_{i=1}^3 a_i g_{i2}, \sum_{i=1}^3 a_i g_{i3} \right]}_{\langle v|}$

Ale w sumie to mogą wziąć coś takiego $\langle v|$.

$$\left(\sum_{i=1}^3 a^i g_{i1} \right) dx^1 + \left(\sum_{i=1}^3 a^i g_{i2} \right) dx^2 + \left(\sum_{i=1}^3 a^i g_{i3} \right) dx^3 = .$$

$$= \sum_{i=1}^3 \sum_{j=1}^3 a^i g_{ij} dx^j = a^i g_{ij} dx^j.$$

Zapomniałem o sumach, bo $a^i b_i \stackrel{\text{ozn}}{=} a^1 b_1 + a^2 b_2 + a^3 b_3$, w odróżnieniu od $a^\mu b_\mu = a^0 b_0 + a^1 b_1 + \dots$ (Konwencja sumacyjna Einsteina).

Ozn. $\sum_{i=1}^3 a^i g_{ik} \stackrel{\text{ozn}}{=} a^i g_{ik} = a_k$

Definicja 26 niech M - rozmaitość wymiaru n , g_{ij} - tensor metryczny na M , operacją $\# : T_p M \rightarrow T_p^* M$ taką, że dla $v = a^1 \frac{\partial}{\partial x^1} + \dots + a^n \frac{\partial}{\partial x^n}$,

$$v^\# = a^i g_{i1} dx^1 + a^i g_{i2} dx^2 + \dots + a^i g_{in} dx^n, i = 1, \dots, n.$$

zadaje izomorfizm między $T_p M$ a $T_p^* M$.

Przykład 52 $v = 7 \frac{\partial}{\partial r} + 8 \frac{\partial}{\partial \theta} + 9 \frac{\partial}{\partial \varphi}$.

$$\alpha \in T_p^* M = v^\# = 7q_{11} dr + 8q_{22} d\theta + 9q_{33} d\varphi = 7dr + 8r^2 d\theta + 9r^2 \sin^2 \theta d\varphi.$$